

Protozoan

2010 02 10

Dr. Berek Zsuzsa

Parasitologia

Protozoonok és Helminthek, azaz Férgek

Felosztás:

Vér és Szövetek közt élő Protozoonok
Vér és Szövetek közt élő Férgek

Bélben és testüregekben élő Protozoonok
Bélben és testüregekben élő Férgek

Protozoonok

Általános jellemzés

Egysejtű, eukaryota véglények (heterotroph, anaerob, aerob)

Méret: 2–80 µm, átlag 50 µm, „pici” 10↓; „nagy” 100↑ µm

Komplex életciklus, különböző stádiumok, fejlődési szakaszok

Aszexualis: haránthasadás;

Apicomplexa szexualis és aszexualis reproductio

Fertőzések:

Asymptomatikus → életveszélyes

Protozoonok

Általános jellemzés

Regnum: Protista (215 000 ismert faj)

Alkirályság: Protozoa („állatszerű”)

Phylum: 6

100 human adaptált faj

20 human pathogen

Kb. 12 ismert genom!

Forma:

Trophozoit (vegetatív – aktív, táplálkozik, szaporodik)

Cysta (túlélő – protectiv membran/vastag fal)

Protozoonok

Általános jellemzés

Szakkifejezések, elnevezések

Trophozoit formák:

Haemoflagellaták

Amastigot

Promastigot

Epimastigot

Trypomastigot

??? Flagellum +/-

??? Kinetoplast helye

Apicomplexa

Tachyzoit; Bradyzoit (*Toxoplasma gondii*)

Merozoit (*Plasmodia*)

Gametocyt/gameta – szexualis forma

Protozoa

General characterisation

Szakkifejezések, elnevezések
aszexualis reproductio:

Apicomplexa

Endodyogenia (Toxoplasma)
Schizogonia (Plasmodia)

Szexualis reproductio:

Apicomplexa

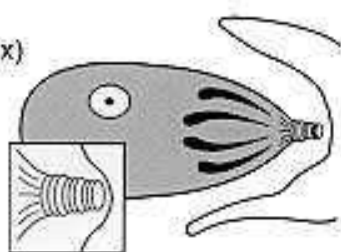
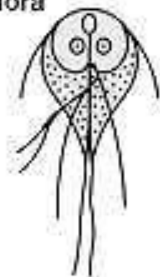
Gameta (gamogonia)

Megtermékenyülés → Zygota → Encystatio → Oocysta
Oocystában: infectiv sporozoiták (sporogonia)

Table 77-1. Classification of Parasitic Protozoa and Associated Diseases

Phylum	Subphylum	Representative Genera	Major Diseases Produced in Human Beings	Chapter
Sarcomastigophora (with flagella, pseudopodia, or both)	Mastigophora (flagella)	<i>Leishmania</i>	Visceral, cutaneous and mucocutaneous infection	82
		<i>Trypanosoma</i>	Sleeping sickness Chagas' disease	
	Sarcodina (pseudopodia)	<i>Giardia</i>	Diarrhea	80
		<i>Trichomonas</i>	Vaginitis	
		<i>Entamoeba</i>	Dysentery, liver abscess	79
		<i>Dientamoeba</i>	Colitis	
		<i>Naegleria</i> and <i>Acanthamoeba</i>	Central nervous system and corneal ulcers	81
		<i>Babesia</i>	Babesiosis	
Apicomplexa (apical complex)		<i>Plasmodium</i>	Malaria	83
		<i>Isospora</i>	Diarrhea	80
		<i>Sarcocystis</i>	Diarrhea	
		<i>Cryptosporidium</i>	Diarrhea	
		<i>Toxoplasma</i>	Toxoplasmosis	84
Microspora		<i>Enterocytozoon</i>	Diarrhea	—
Ciliophora (with cilia)		<i>Balantidium</i>	Dysentery	80
Unclassified	—	<i>Pneumocystis</i>	Pneumonia	85

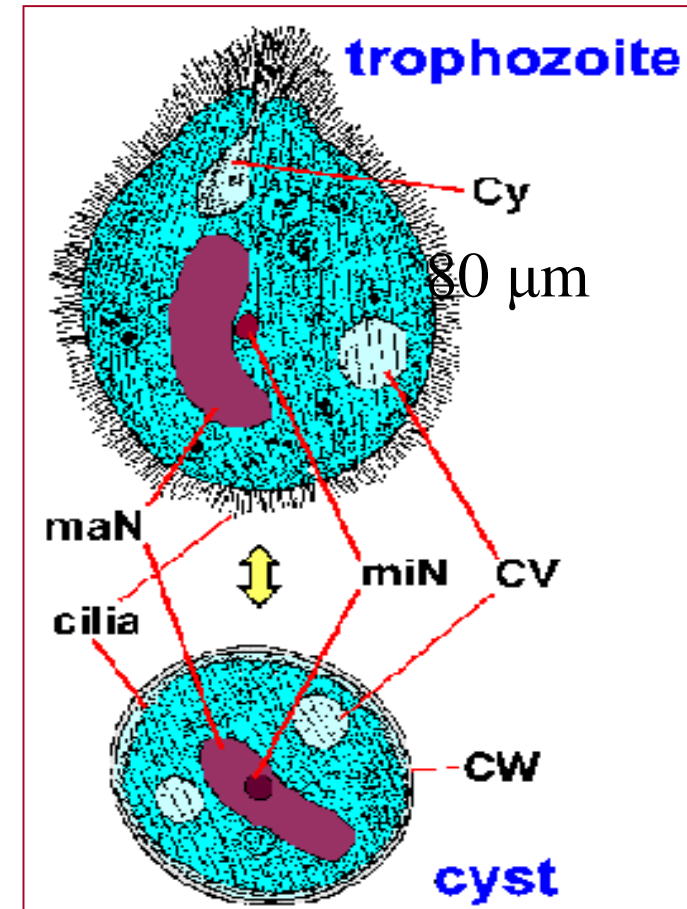
Medmicro ch77



Egyszerűsített morfológia, taxonómiai besorolás (class, genus, species)

www.tulane.edu

- Lobosea (amoebae)
Entamoeba
Naegleria, Acanthamoeba
- Flagellata
Giardia, Trichomonas
Leishmania, Trypanosoma
- Sporozoa (apicomplexa)
Cryptosporidium
Toxoplasma,
Plasmodium, Babesia
- Ciliata →



Balantidium coli

Bél/testüreg

Ameba/rhizopoda/lobosea

Entamoeba histolytica

Flagellata/mastigophora

Giardia lamblia

Trichomonas vaginalis

Ciliata/ciliophora

Balantidium coli

Sporozoa (apicomplexa)

Cryptosporidium



Vér/szövetek

Ameba/rhizopoda

Naegleria

Acanthameba



Flagellata/mastigophora

Trypanosoma

T. brucei gambiense/rhodesiense → álomkór

T. cruzi → Chagas kór

Leishmania

L. donovani → visceralis, Kala-azar

L. tropica → cutan, Aleppo fekély

L. brasiliensis → muco-cutan, Espundia

Sporozoa (apicomplexa)

Plasmodia sp.

Plasmodium malariae, P. vivax, P. ovale, P. falciparum

MALARIA

Toxoplasma gondii

toxoplasmosis

Ameba/rhizopoda

Human mucosa adaptált:

commensalisok: *Entamoeba gingivalis*, *E. hartmanni*, *E. coli*, *E. dispar*

pathogen: *E. histolytica*

Szöveti pathogenek:

Szabadon élő (víz, talaj) amoebák:

Naegleria fowleri, *Acanthamoeba castellani*

GI tractus

Ameba/rhizopoda/lobosea

Entamoeba histolytica

Flagellata/mastigophora

Giardia lamblia

Trichomonas vaginalis

Ciliata/ciliophora

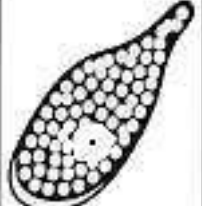
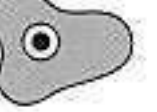
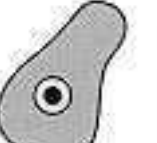
Balantidium coli

Sporozoa (apicomplexa)

Cryptosporidia

GI tractus

Ameba/rhizopoda

	Amebae					
	<i>Entamoeba histolytica</i>	<i>Entamoeba hartmanni</i>	<i>Entamoeba coli</i>	<i>Entamoeba palecki</i> *	<i>Endolimax nana</i>	<i>Iodamoeba bütschlii</i>
Trophozoite						
Cyst						

*Rare, probably of animal origin

FIGURE 79-3
Amebas found in stool specimens of humans.
 (Modified from Brooke, MM, Melvin DM: Morphology of diagnostic stages of intestinal parasites of man. Public Health Service Publication No. 1966, 1969.)

***Entamoeba histolytica* - amoebás dysenteria**

Loesch 1875 (Oroszország)

A legegyszerűbb, de 2-dik legjelentősebb és
legelterjedtebb

500 millió fertőzött

50 millió vérhas eset

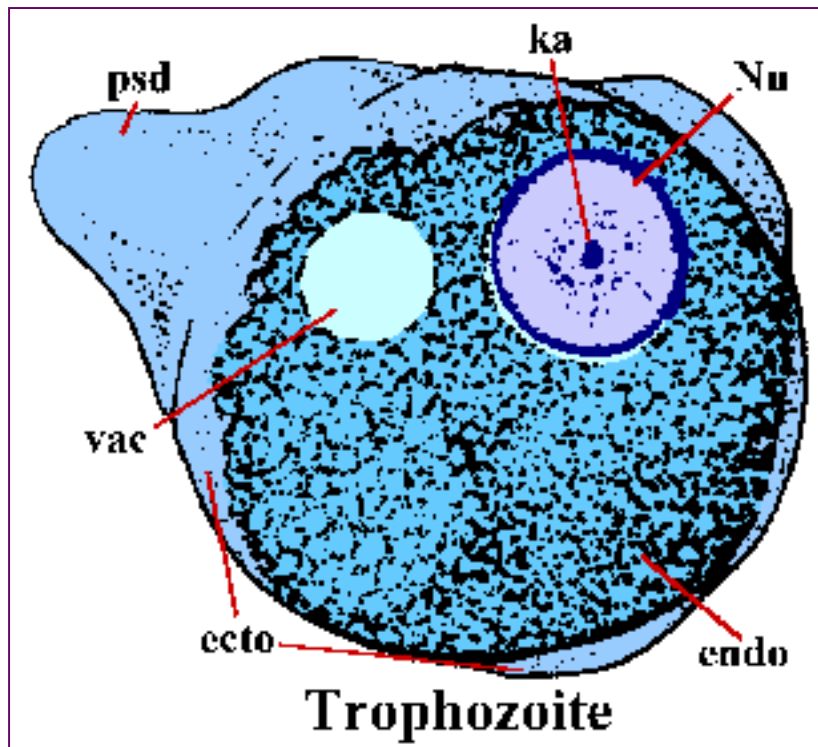
100 000 haláleset/év

A legerősebb cytolyticus hatás

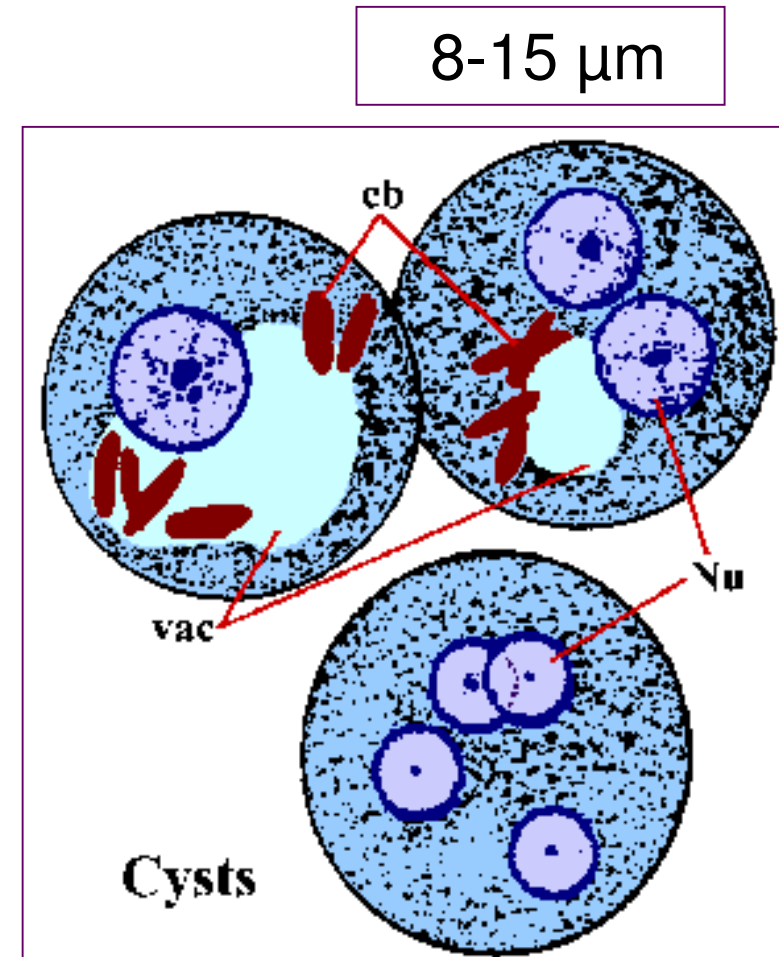
cysta: nedves, párás közegben hetekig túlél!

Entamoeba histolytica - amoebás dysenteria

Morphologia → 10 – 50 µm

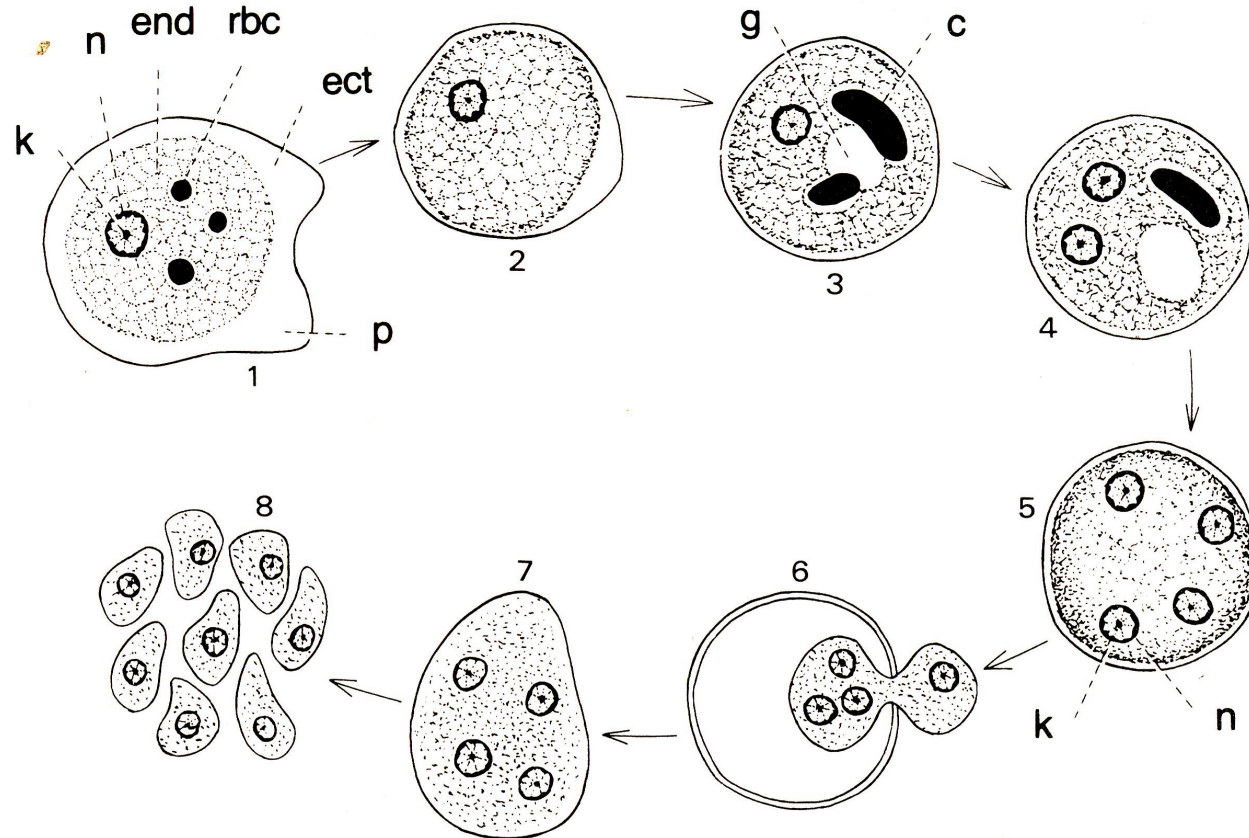


15-50 µm



Entamoeba histolytica - amoebás dysenteria

Életciklus:
trophozoit –
cysta –
trophozoit



- 1: Trophozoite
2: Precystic amoeba
3: Uninucleate cyst
4: Binucleate cyst
5: Mature quadrinucleate cyst
6: Excysting
7: Metacyst
8: Metacystic trophozoite
- c: chromatoid bodies
ect: ectoplasm
end: endoplasm
g: glycogen vacuole
k: karyosome
n: nucleus
p: pseudopodia
rbc: red blood cell

Entamoeba histolytica - amoebás dysenteria

Fertőzés forrása:
hordozók,
cysta - ürítők (emberek!)

Transmissio:
faeco-oralis (víz, zöldség)

Ritkán: direkt kontaktus (analis), légy

***Entamoeba histolytica* - amoebás dysenteria**

Virulencia faktorok

Csíraszám: 10 – nél kevesebb cysta elég!

Adhesiós molekulák

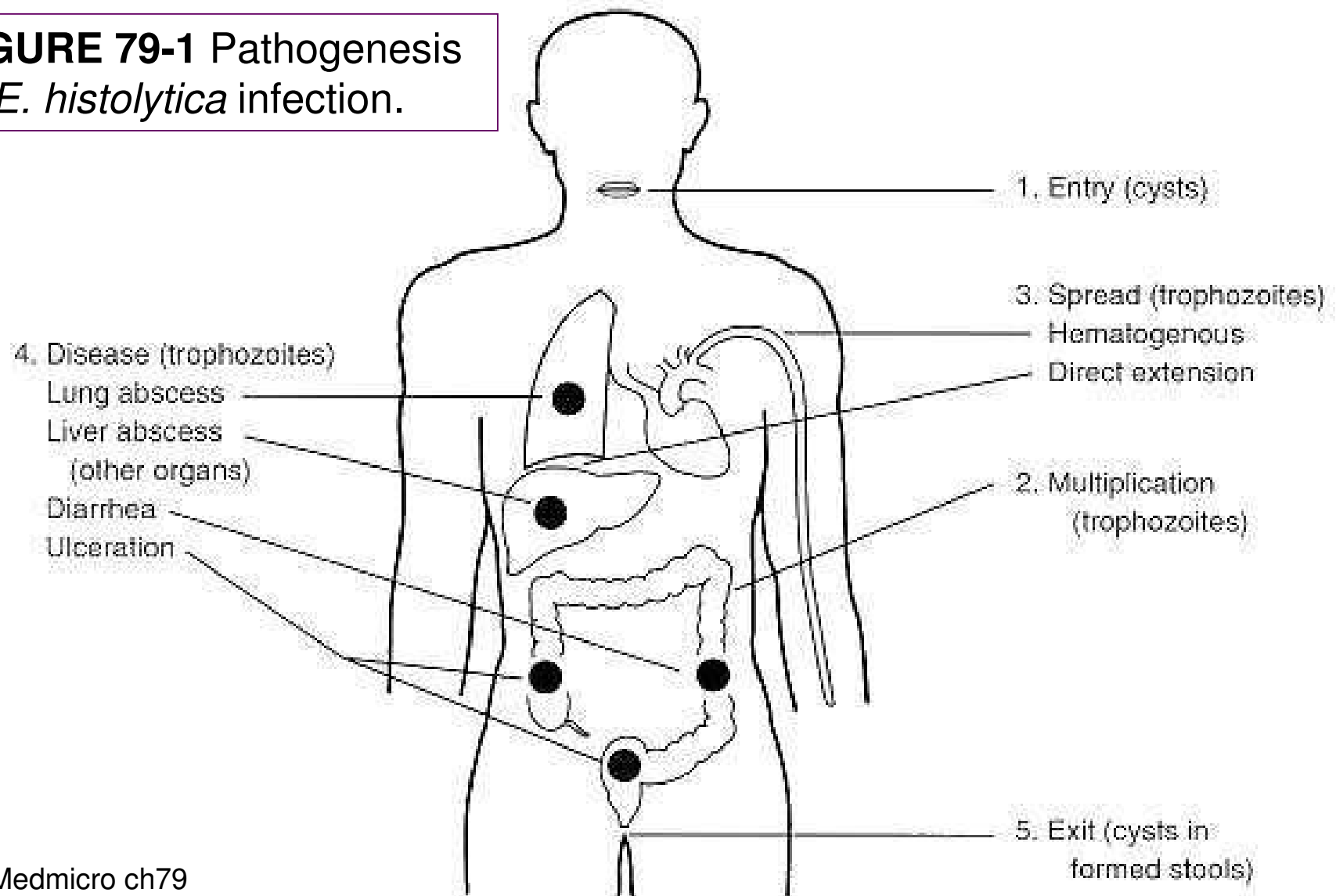
Gal/GalNac lectin

Amoeba ionophorin (**amoeboporin**)

Histolyticus enzymek: protease-ok, cystein kinase, phospholipase A, hialuronidase, collagenase, elastase, RNase

Entamoeba histolytica - amoebás dysenteria

FIGURE 79-1 Pathogenesis of *E. histolytica* infection.



Entamoeba histolytica - amoebás dysenteria

„széklet”

Kórképek, klinikai formák

Amoebás colitis, peritonitis

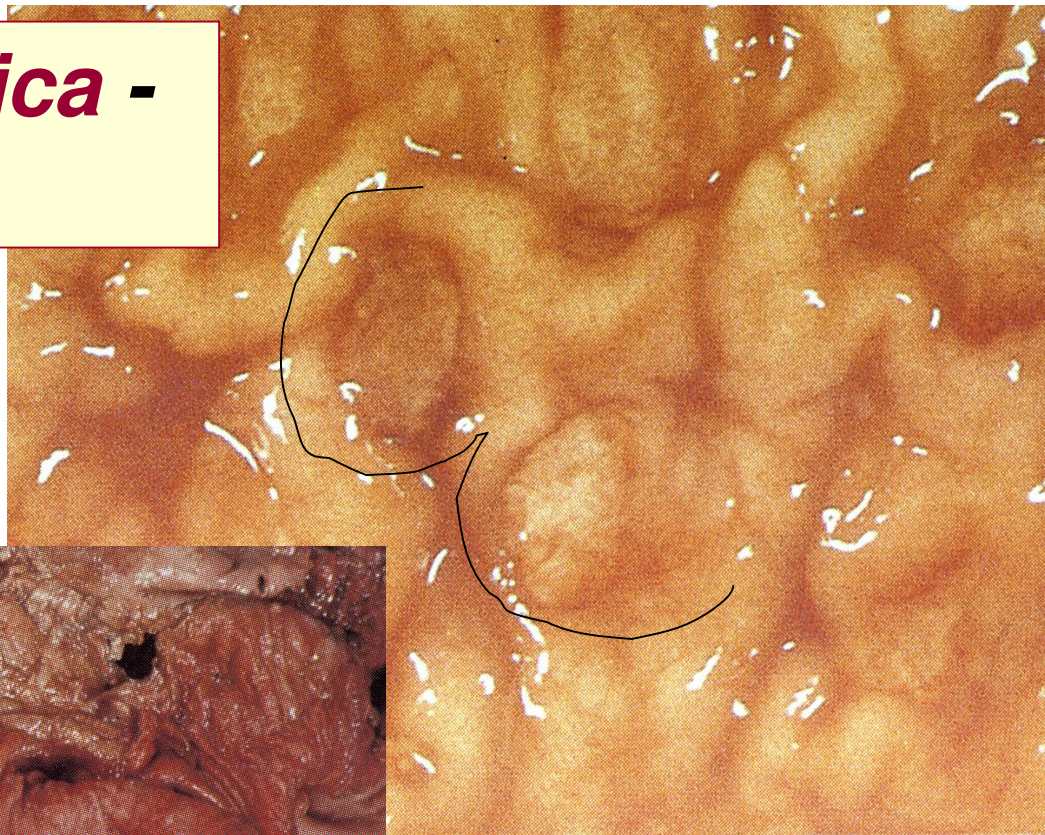
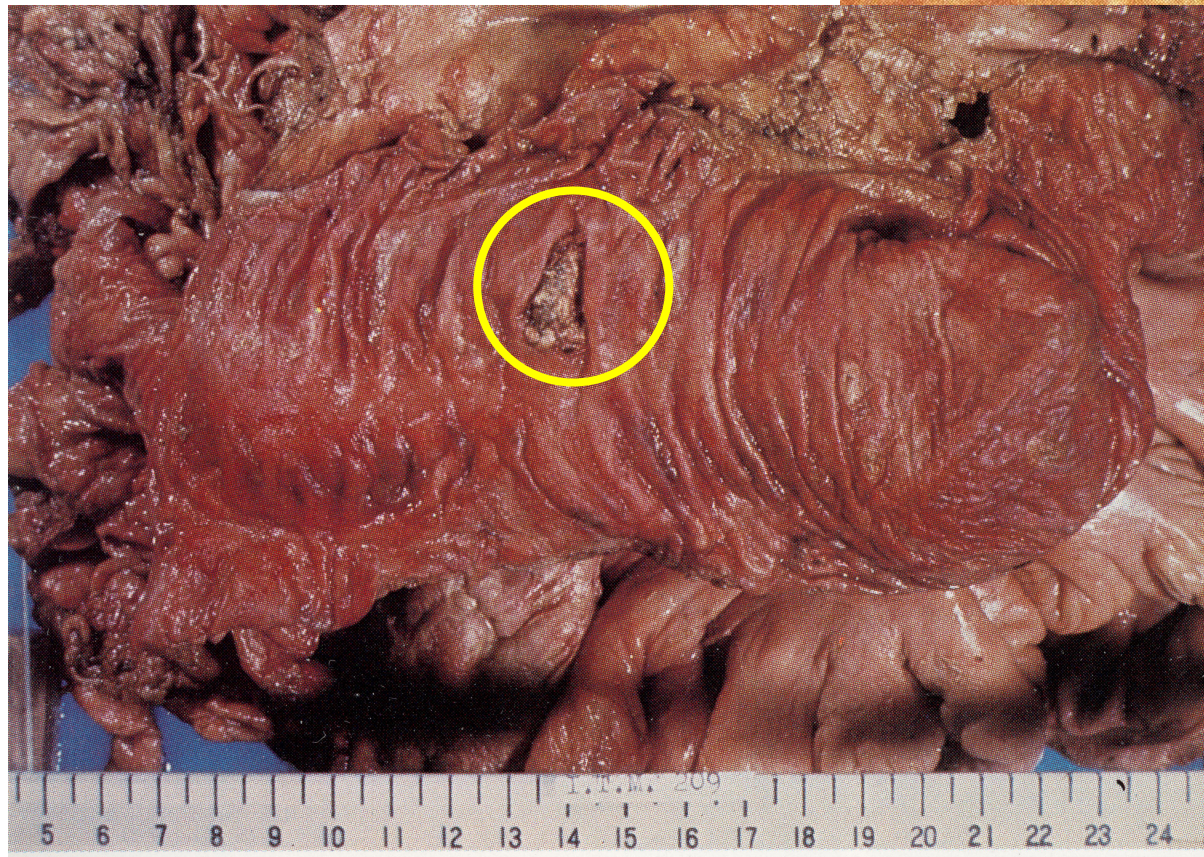
extraintestinalis amoebiasis

Tályogok – máj, tüdő, agy

Chronicus intestinalis amoebiasis



Entamoeba histolytica - amoebás dysenteria



fekélyek

Entamoeba histolytica

- amoebás dysenteria



Amoebic liver abscess. 45-year-old man. Fetal head size abscess seen in the right lobe. Y173

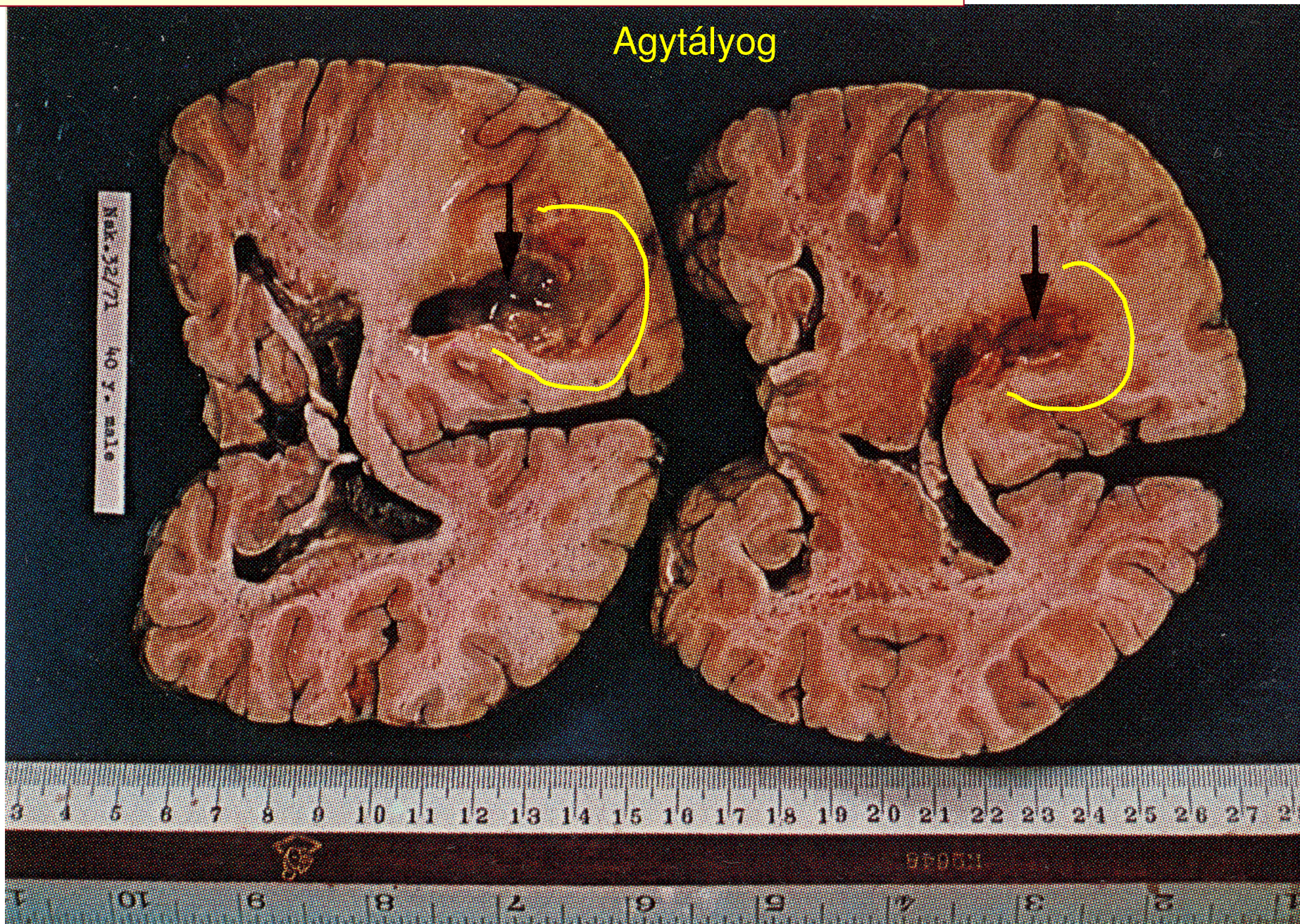
Entamoeba histolytica
- amoebás dysenteria

Amoebic liver abscess. 59-year-old man.
Enlarged liver, ruptured abscess. Y174



Entamoeba histolytica - amoebás dysenteria

Agytályog



***Entamoeba histolytica* - amoebás dysenteria**

Diagnosis

Direct kimutatás -mikroszkóp:
trophozoitok (emésztett vvt!)

Minta: széklet (friss, meleg!), colonoscopiás
biopszia

Cysta ürítők: Ag detektálás (ELISA)

***Entamoeba histolytica* - amoebás dysenteria**

Therapia

Amoebás dysenteria, extraintestinalis amoebiasis:

metronidazole (10 nap) vagy tinidazole (5 nap)

Kontroll: Ag kimutatás vagy PCR

Cysta ürítés megszüntetése: paromomycin (nem felszívódó aminoglycoside)

Preventio, megelőzés

Cysta mentes, egészséges ivóvíz (forralás, szűrés 1 µm)

NO nyers zöldség, NO jégkocka, NO hámozhatatlan gyümölcs

- cysta: a szokványos klórozást túléli!

Védőoltás – kísérleti szakasz:

a./ recombináns adhesiós molekula

b./ élő amoeba, amoeboporin és cystein kinase mentes

GI tractus

Ameba/rhizopoda/lobosea

Entamoeba histolytica

Flagellata/mastigophora

Giardia lamblia

Trichomonas vaginalis

Ciliata/ciliophora

Balantidium coli

Sporozoa (apicomplexa)

Cryptosporidia

GI tractus

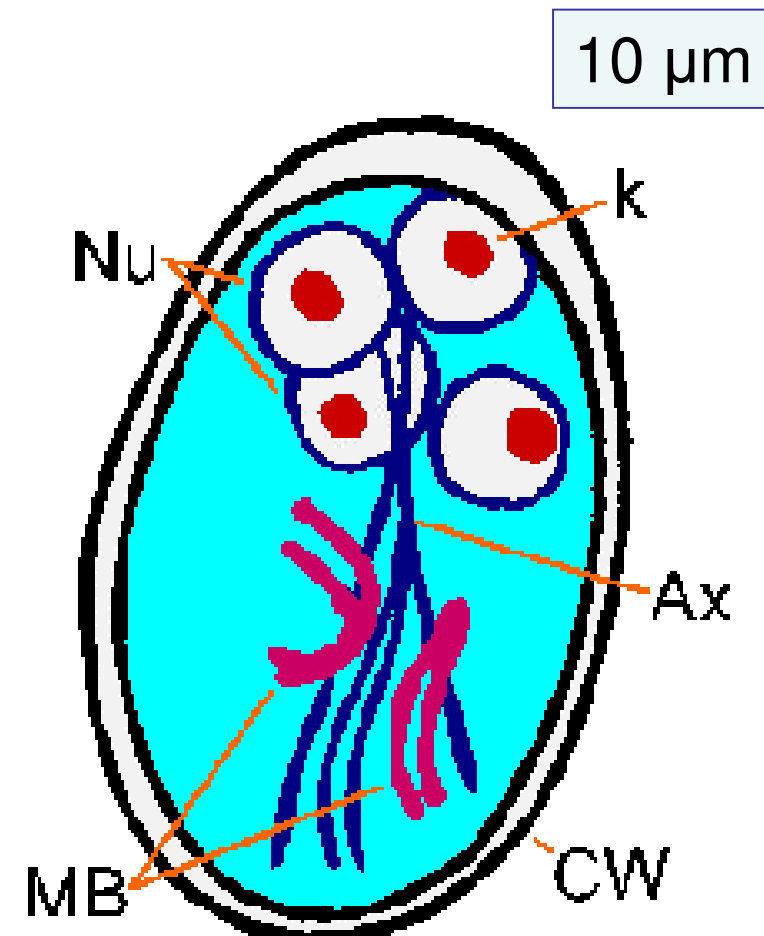
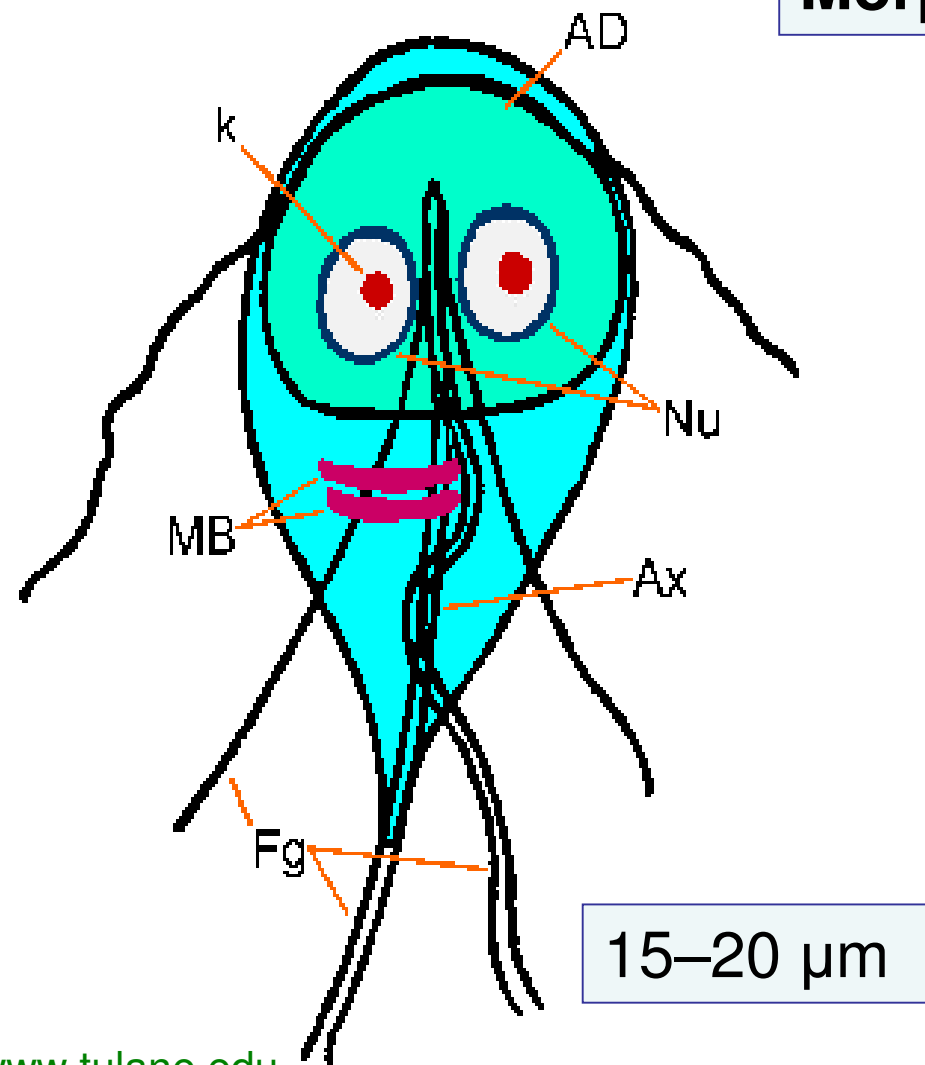
Flagellata

Giardia lamblia

Giardia lamblia

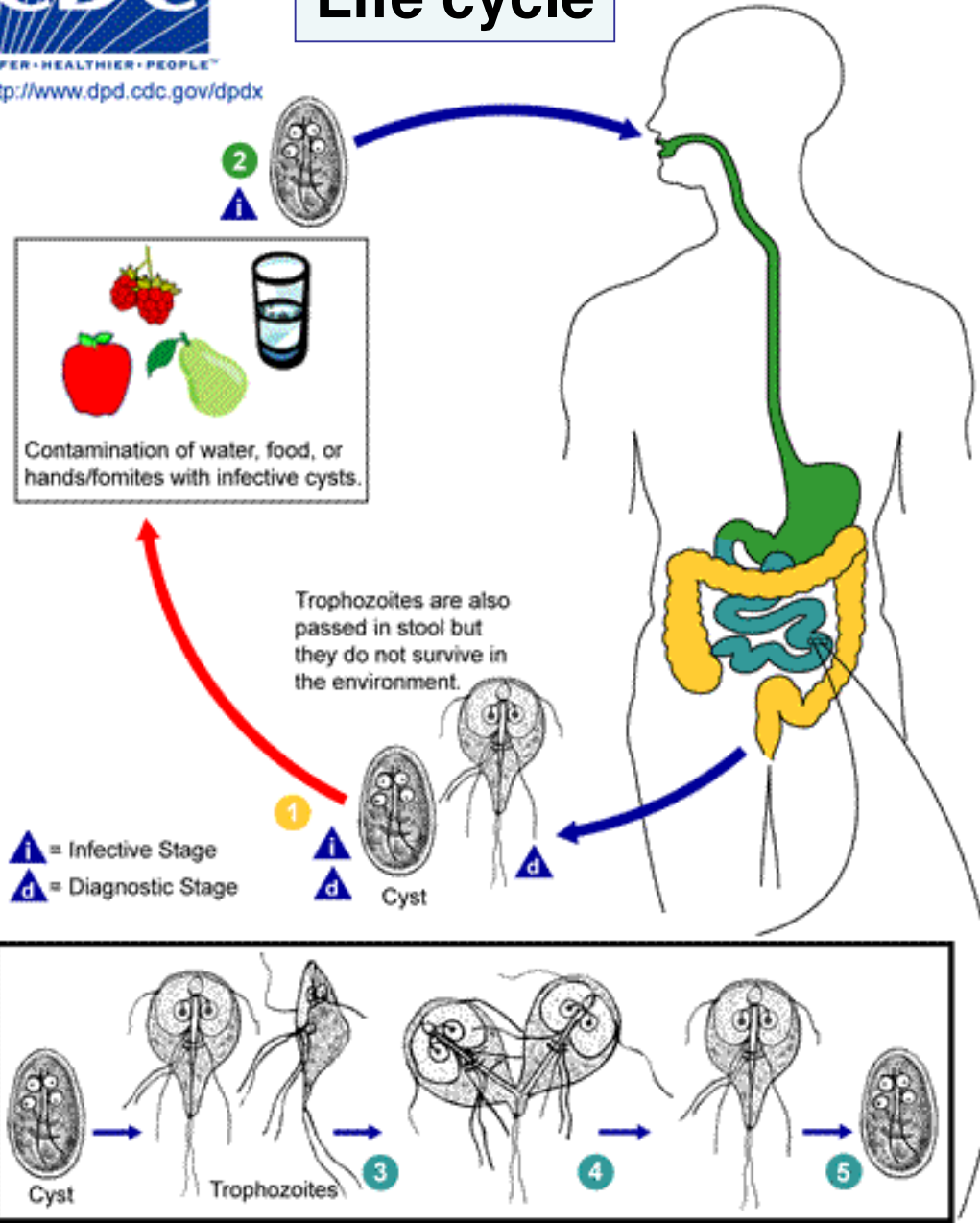
Flagellata: GI mucosa-hoz adaptált

Morphologia → 10 – 20 µm





Life cycle



Giardia lamblia

- faeco-oralis transmissio
- forrás: cysta hordozók szennyezett víz, élelmiszer
- duodenum, vékonybél
- nincs invasio
- 2-dik leggyakoribb bélprotozoon

Giardia lamblia

mechanikai irritatio, gyulladás

Kórkép

Giardiosis

acut: enyhe hasmenés, híg, bűzös, zsíros széklet

chronicus: mucosa atrophia, malabsorptio

Diagnosis

Direkt kimutatás - mikroszkóp

Trophozoit duodenum váladékból festett, natív

Trophozoit, cysta – friss széklet, natív, DIF

Therapia

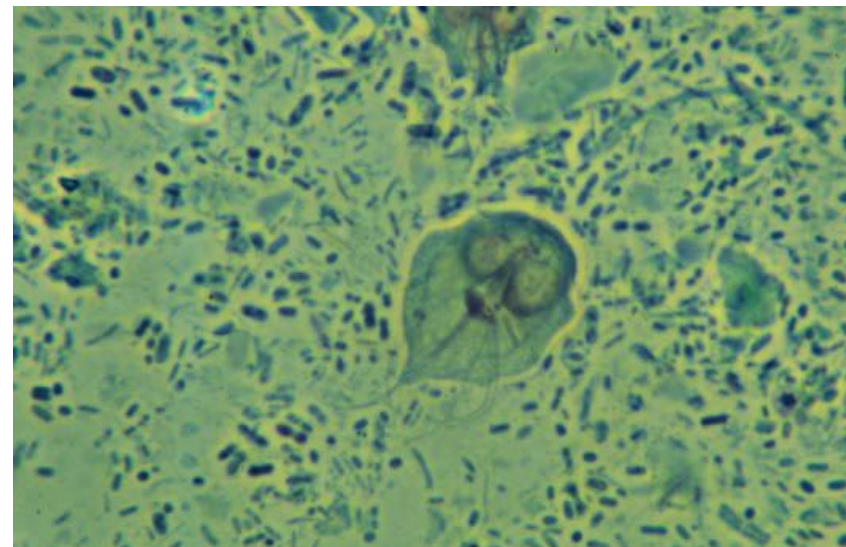
metronidazole vagy tinidazole,
paromomycin



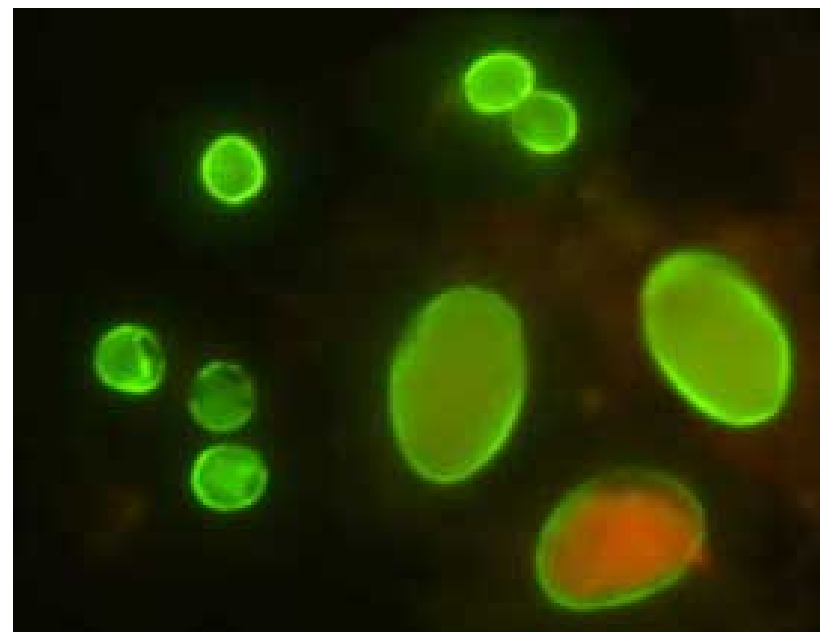
native



DIF



Giardia image
from [http://pangloss.ucsfmedicalcenter.org/
SFGH/Microbiology/images/Giardia.jpeg](http://pangloss.ucsfmedicalcenter.org/SFGH/Microbiology/images/Giardia.jpeg)



GI tractus

Ameba/rhizopoda/lobosea

Entamoeba histolytica

Flagellata/mastigophora

Giardia lamblia

Trichomonas vaginalis

Ciliata/ciliophora

Balantidium coli

Sporozoa (apicomplexa)

Cryptosporidia

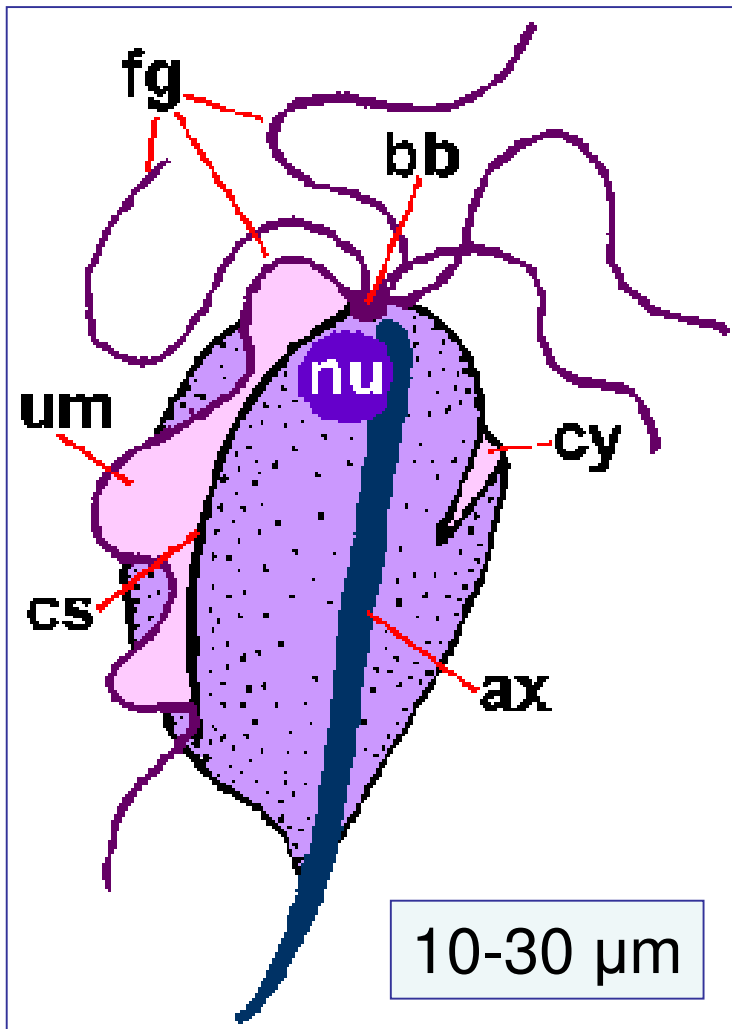
Flagellata

Luminalis / testüregi

Trichomonas vaginalis

Trichomonas vaginalis

Flagellata urogenitalis
epithelhez adaptált

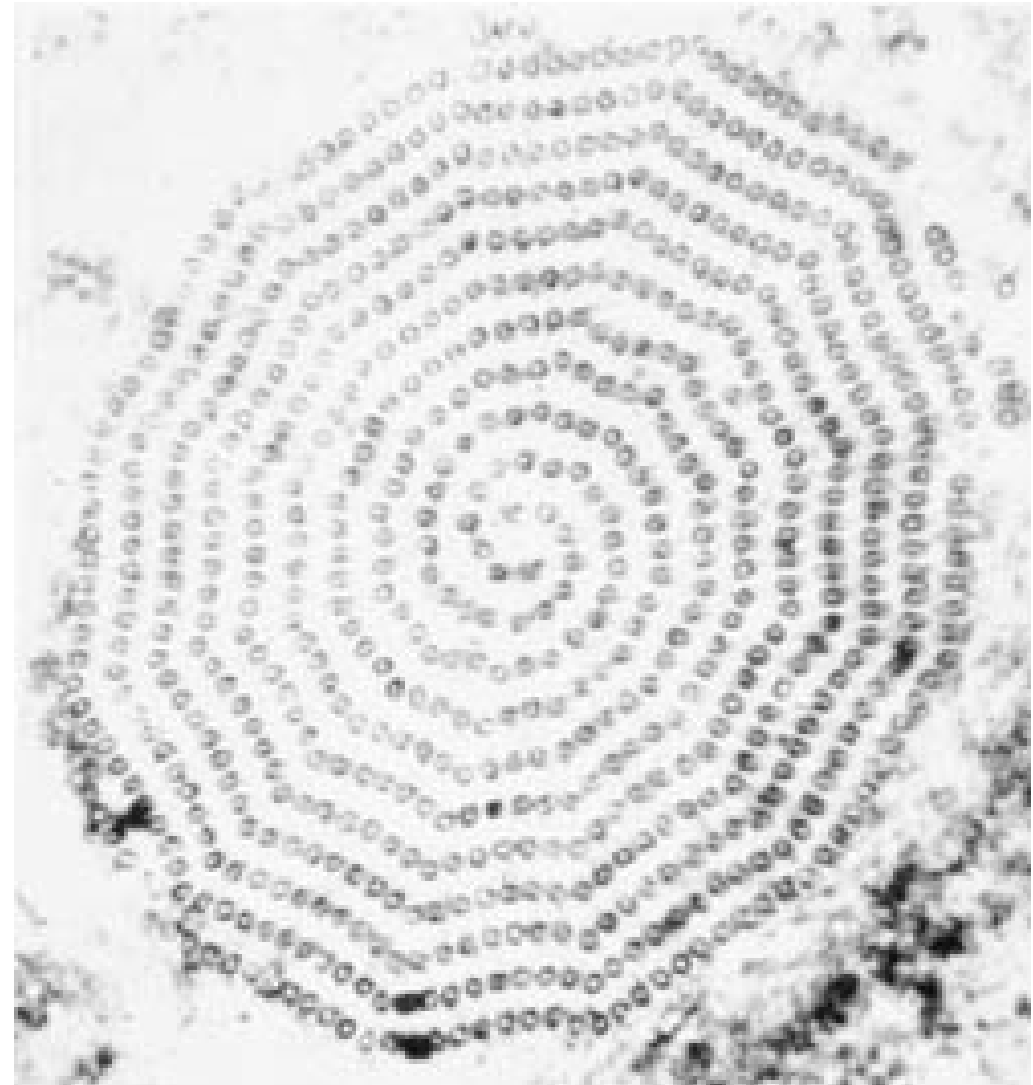


Morphologia

NINCS CYSTA!

haránthasadás

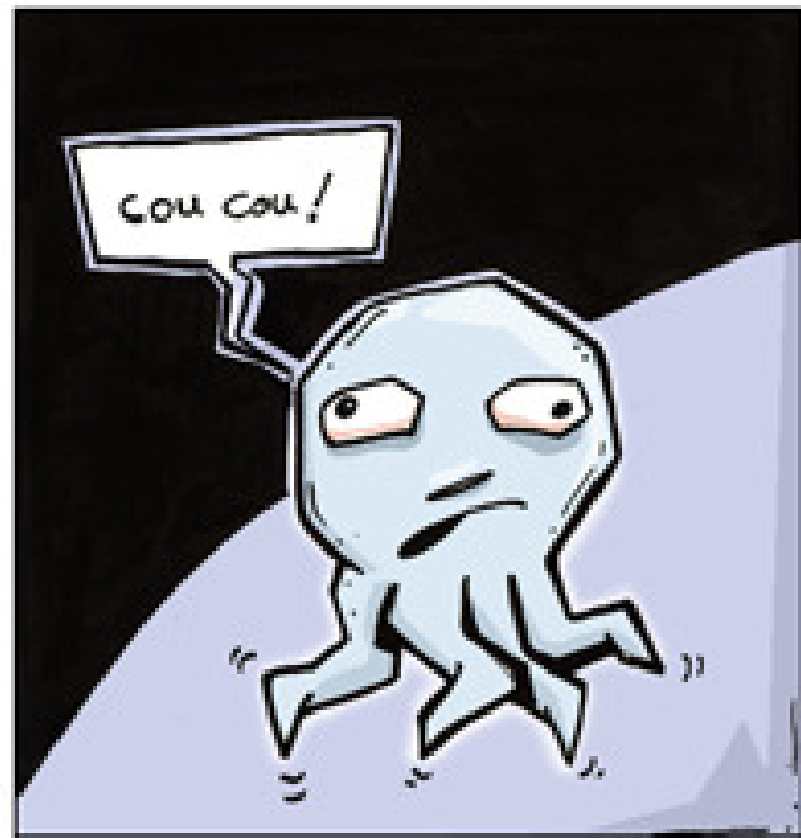
Giemsa-stained trophozoite of *T. vaginalis* from in vitro culture.
Electron micrograph of axostyle cross-section showing
concentric rows of microtubules (right).



Trichomonas vaginalis



Copyright © 2004 Dennis Kunkel Microscopy, Inc.

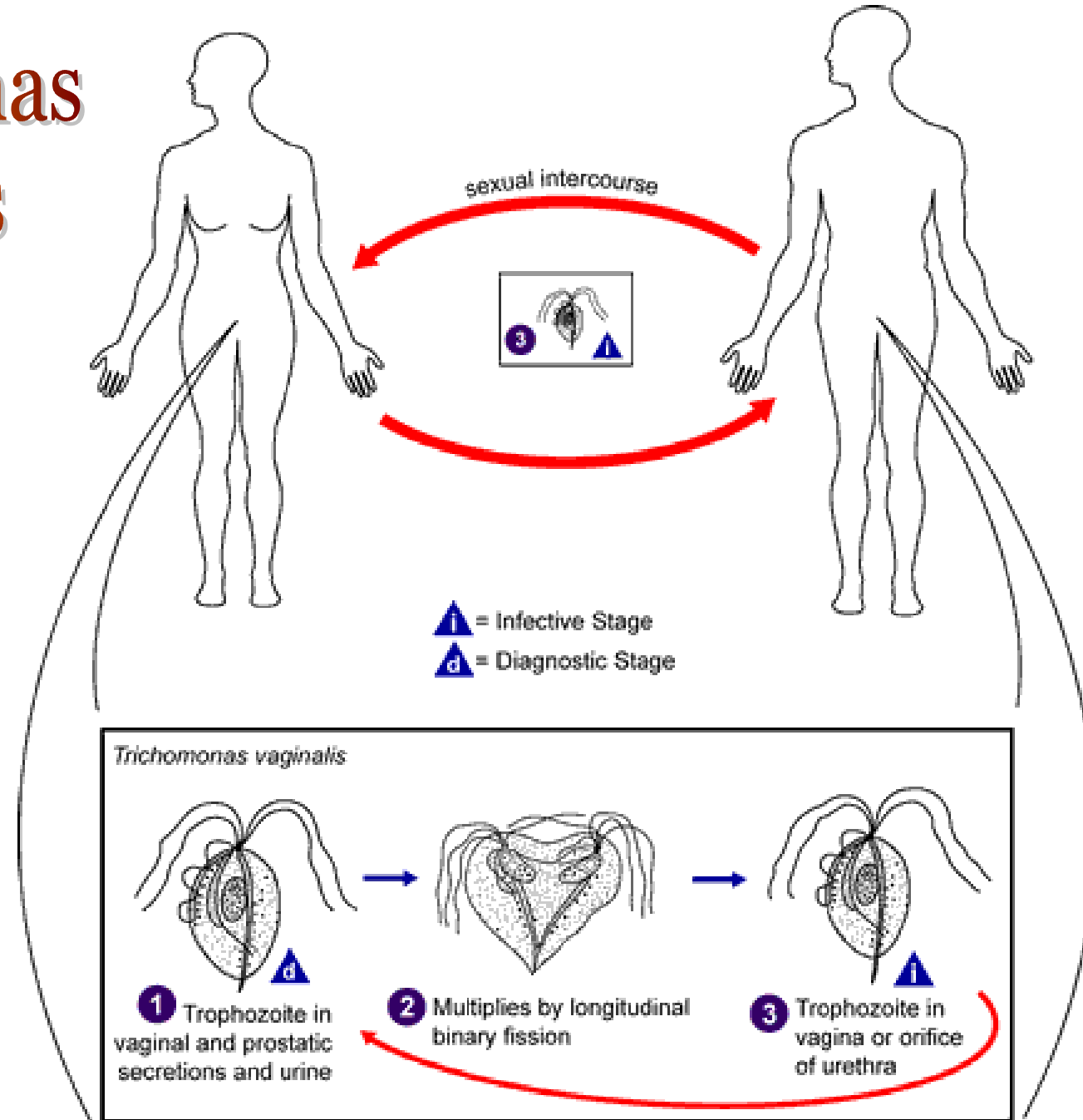


LAMPROS OS

www.youngandhealthy.ca

Trichomonas vaginalis

STD!



Trichomonas vaginalis

Forrás:

Human

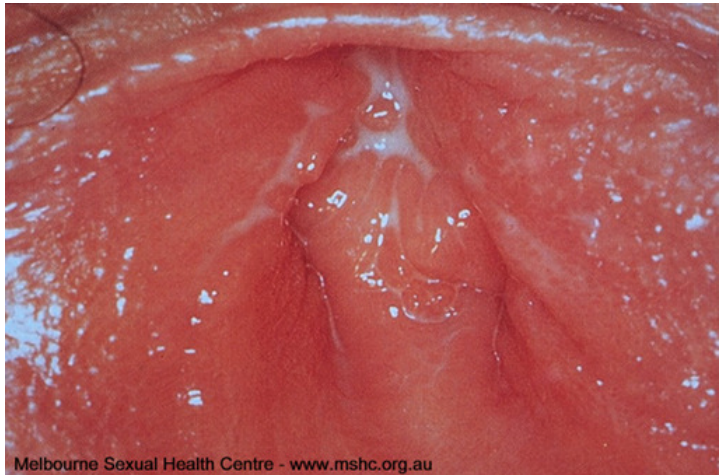
Transmissio:

direkt kontaktus, leggyakoribb STD pathogen

Virulencia:

Gyulladás – lipophosphoglycan, cystein proteinase

Trichomonas vaginalis



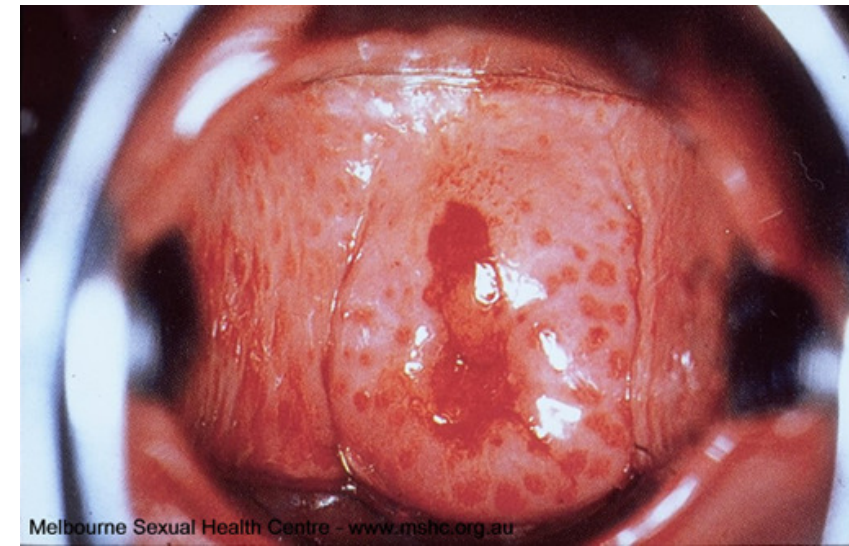
Melbourne Sexual Health Centre - www.mshc.org.au

Vaginitis

- gyulladás
- erosio
- viszkető, égő érzés
- habos váladék

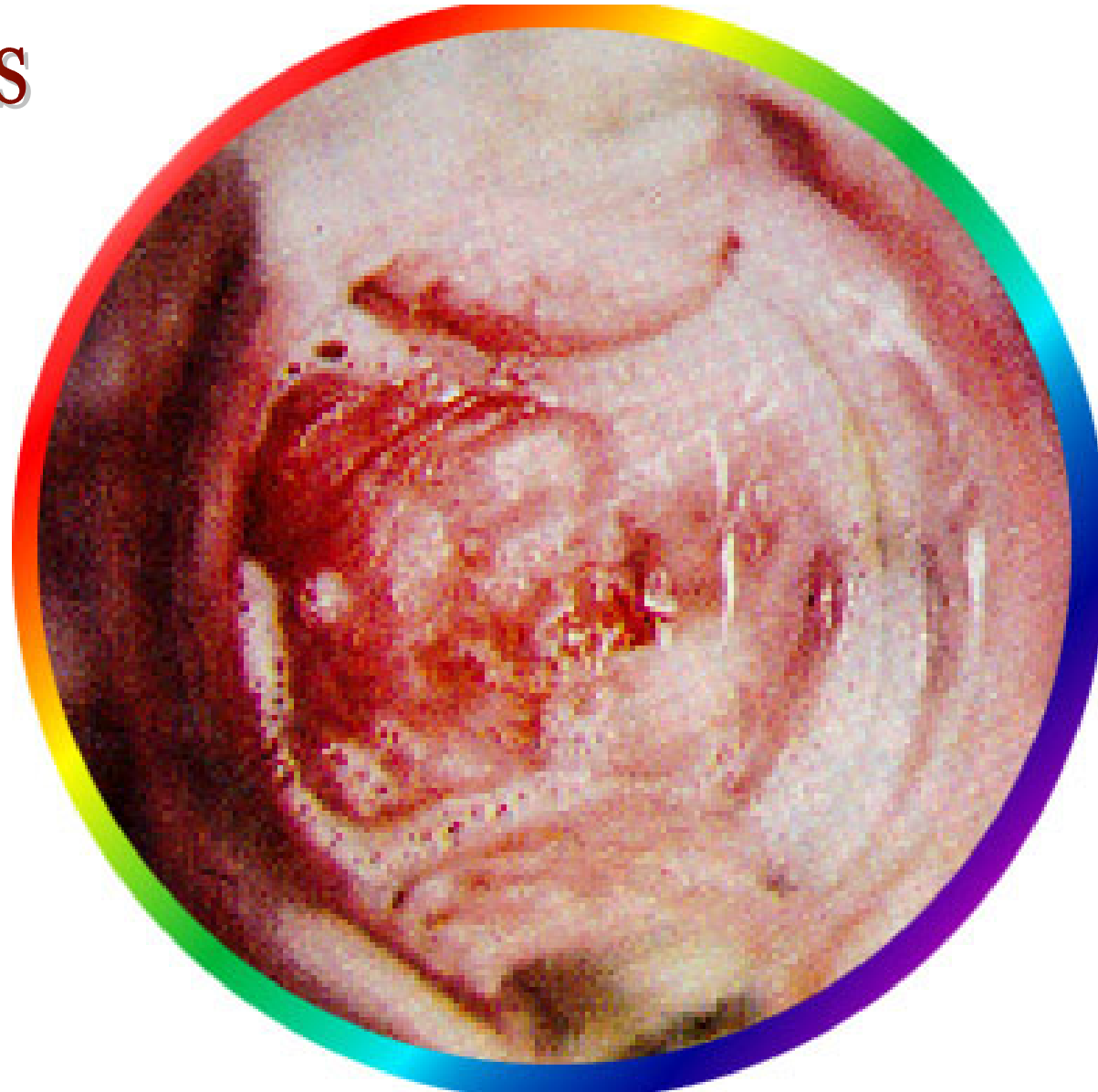
Egyéb

- urethritis, dysuria
- dermatitis



Melbourne Sexual Health Centre - www.mshc.org.au

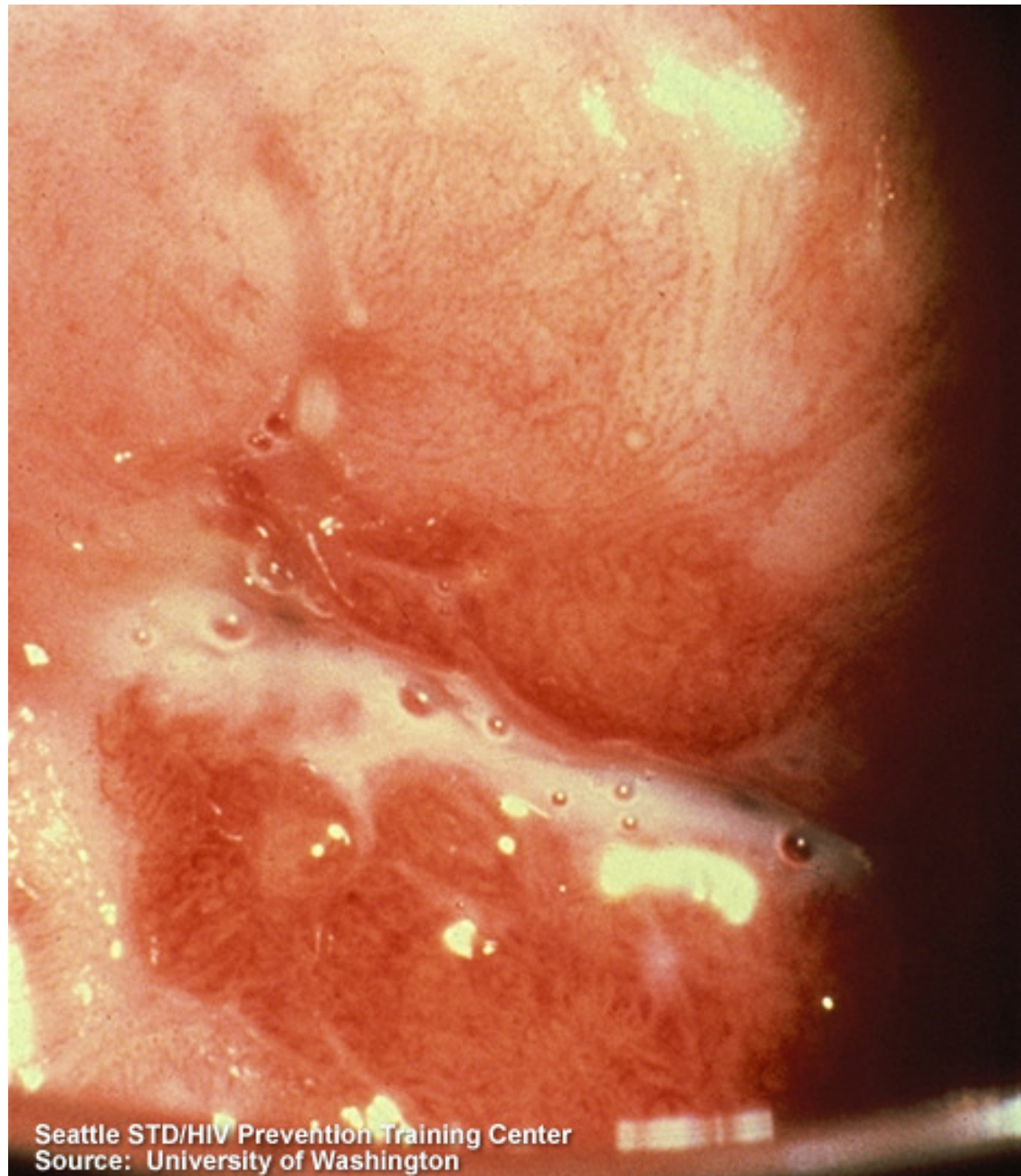
Trichomonas vaginalis



nonthaburi.moph.go.th

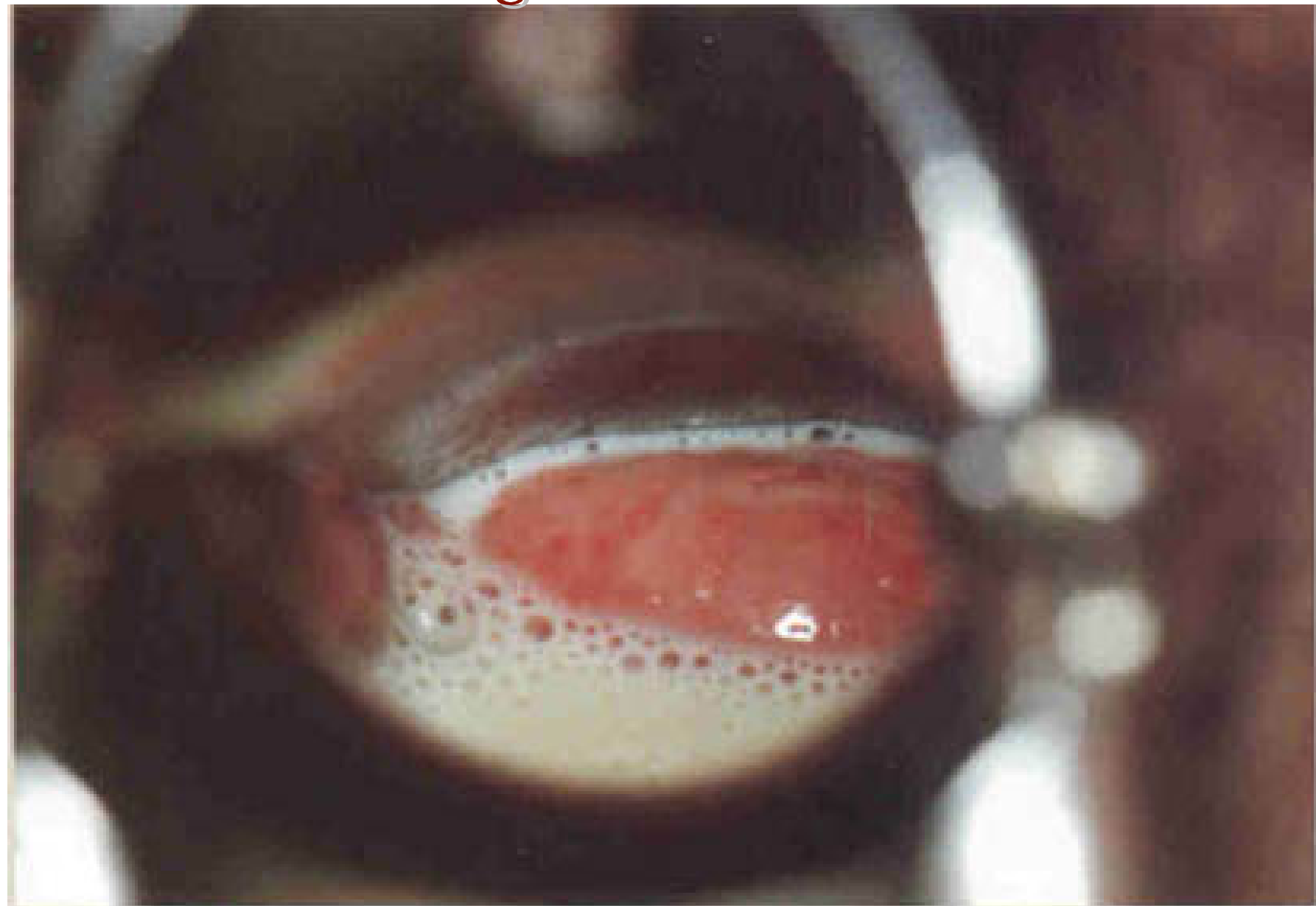
Trichomonas vaginalis

depts.washington.edu



Seattle STD/HIV Prevention Training Center
Source: University of Washington

Trichomonas vaginalis

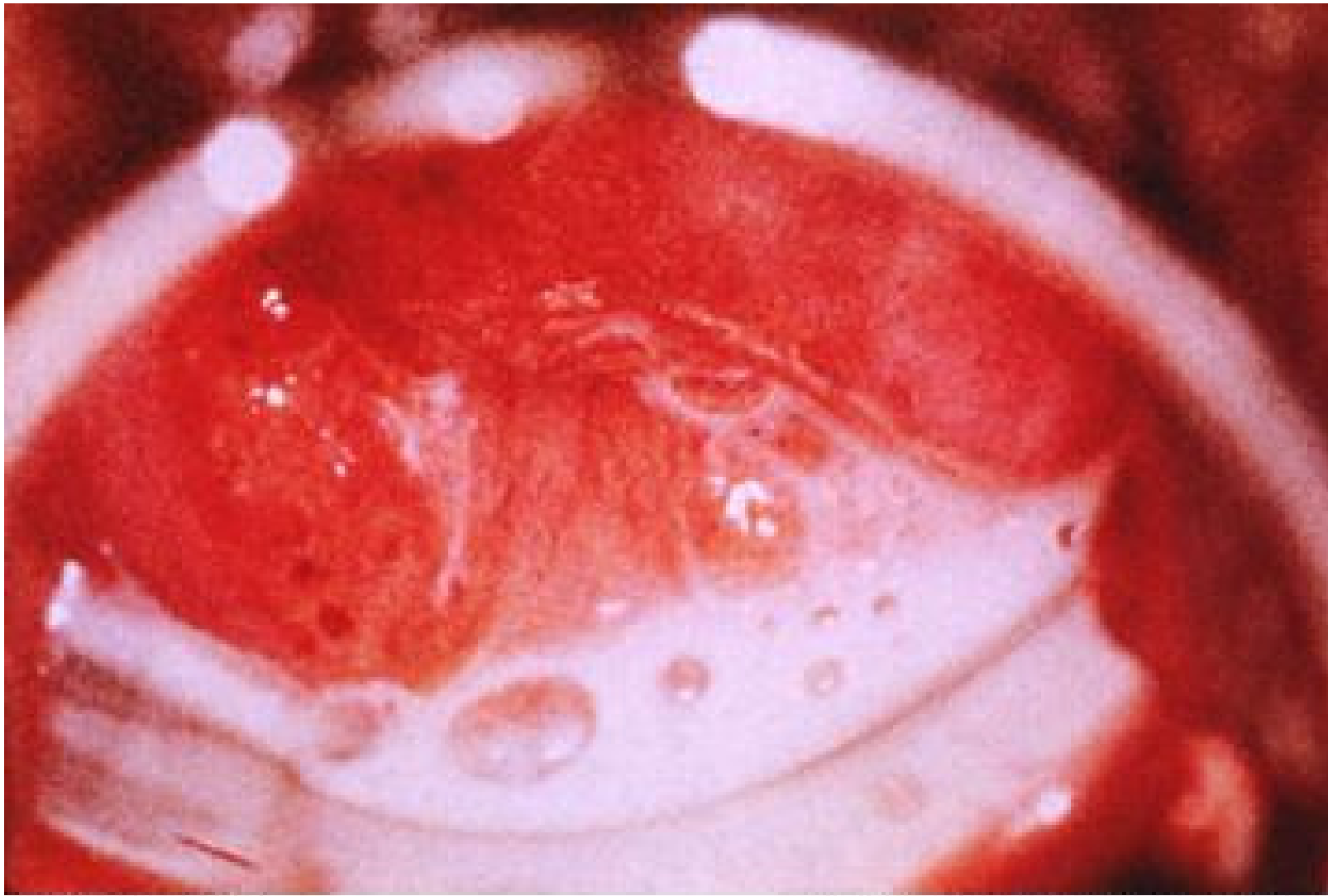


Vaginal trichomoniasis www.ramacme.org

Trichomonas vaginalis



Trichomoniasis of the cervix. The typical "strawberry" appearance can be seen. There is also malodorous itchy discharge.



Medscape ®

<http://www.medscape.com>

Bubbly discharge of vaginal fluid growing the parasite *Trichomonas vaginalis*. Figure courtesy of James A. McGregor, MD, University of Colorado Health Sciences Center.

Trichomonas vaginalis

Diagnosis

Lapos csepp

Festett kenet: Giemsa!

Ag kimutatás: DIF

PCR vagy tenyésztés –
tünetmentes hordozók

Therapia

metronidazole,
tinidazole



© CDC

GI tractus

Ameba/rhizopoda/lobosea

Entamoeba histolytica

Flagellata/mastigophora

Giardia lamblia

Trichomonas vaginalis

Ciliata/ciliophora

Balantidium coli

Sporozoa (apicomplexa)

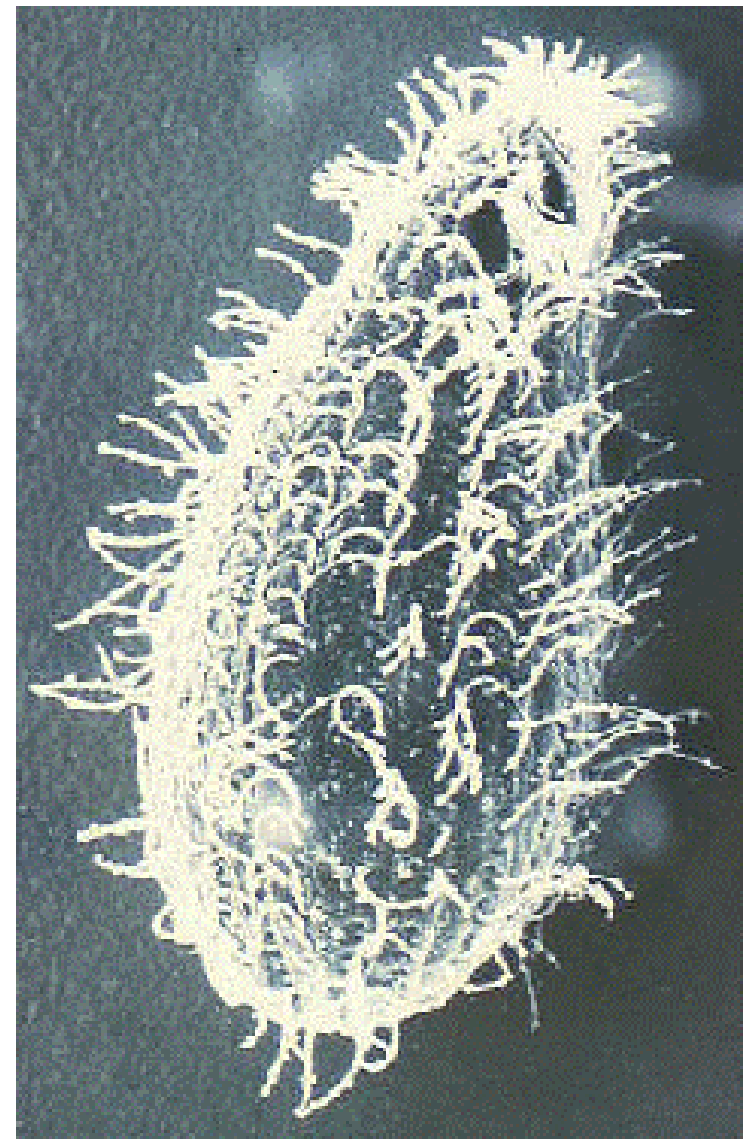
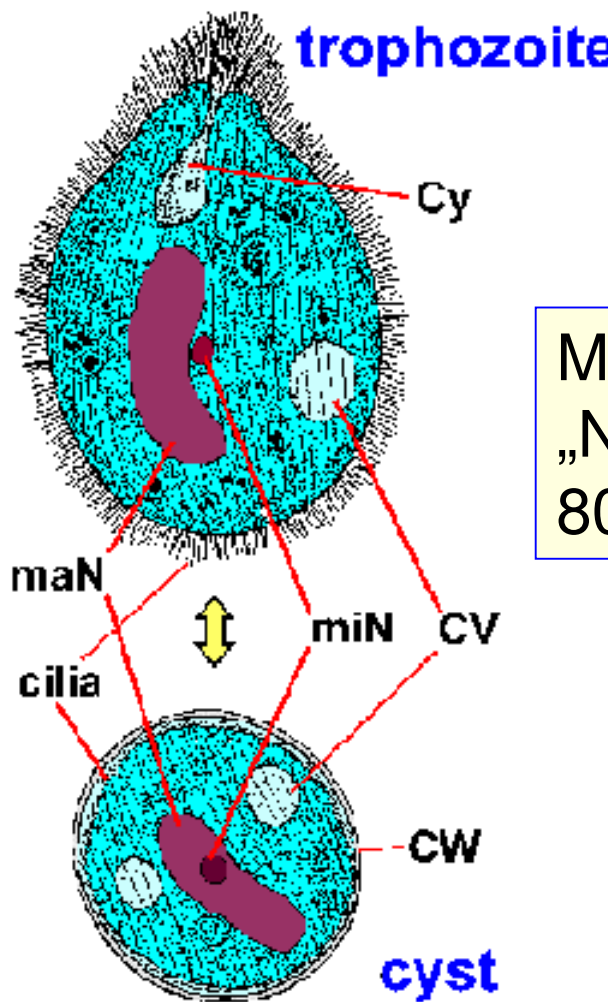
Cryptosporidia

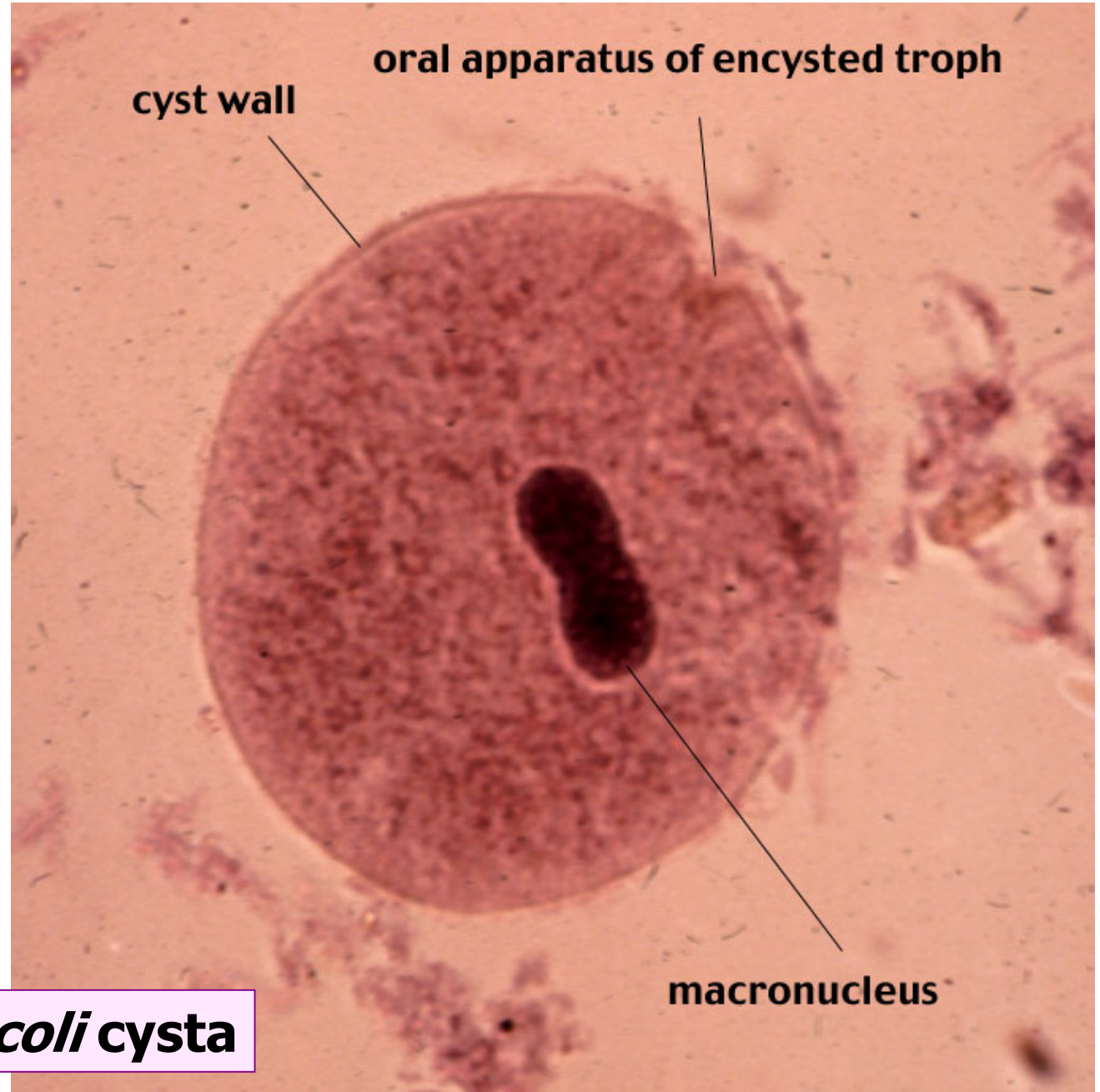
GI tractus

Ciliata

Balantidium coli

Balantidium coli

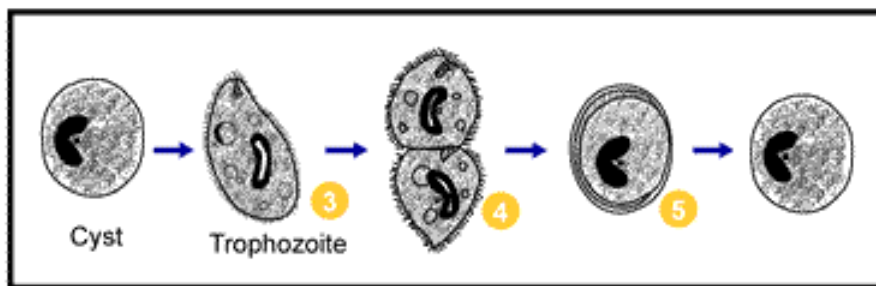
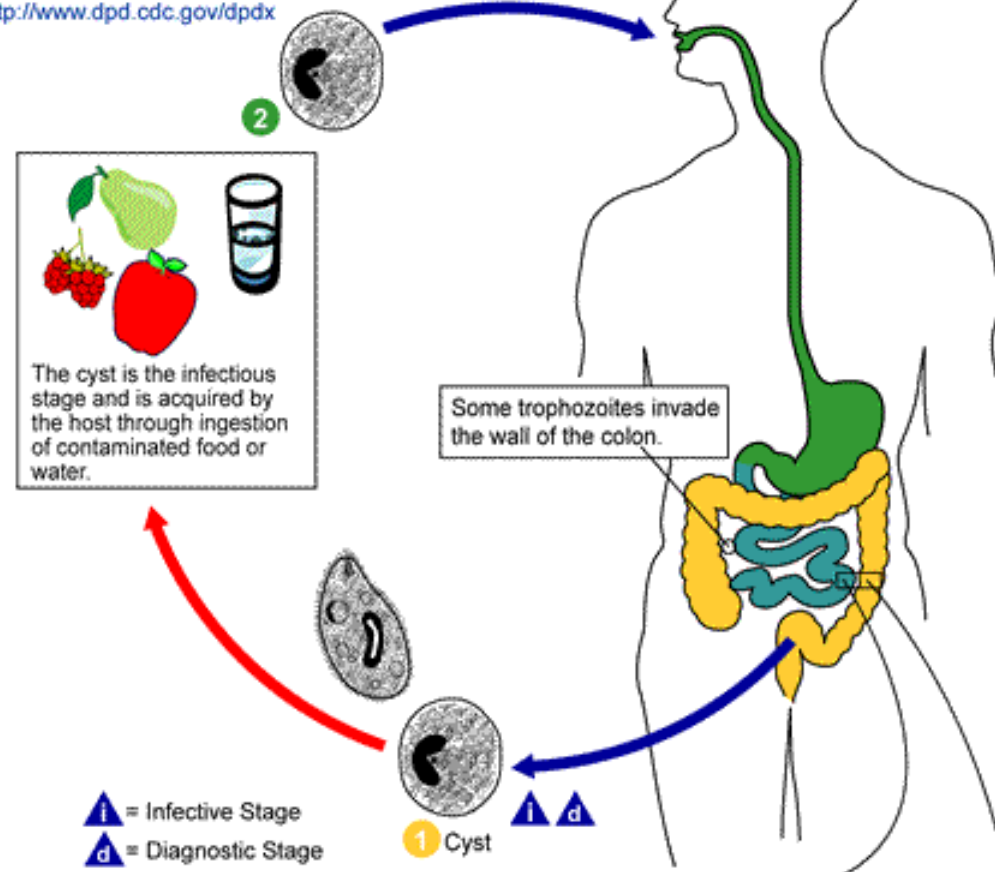




***Balantidium coli* cysta**



http://www.dpd.cdc.gov/dpdx



Balantidium coli

Forrás

szennyezett víz, élelmiszer (cysták)

Excystálódás: vékonybél

Trophozoitok: vastagbél

Invasio: colon fala

Ki: cysta ürülés széklettel

Therapia

Metronidazole

kereszthasadás

Cysts are the parasite stage responsible for transmission of balantidiasis. The host most often acquires the cyst through ingestion of contaminated food or water. Following ingestion, excystation occurs in the small intestine, and the trophozoites colonize the large intestine. The trophozoites reside in the lumen of the large intestine of humans and animals, where they replicate by binary fission, during which conjugation may occur. Trophozoites undergo encystation to produce infective cysts. Some trophozoites invade the wall of the colon and multiply. Some return to lumen and disintegrate. Mature cysts are passed with feces.

GI tractus

Ameba/rhizopoda/lobosea

Entamoeba histolytica

Flagellata/mastigophora

Giardia lamblia

Trichomonas vaginalis

Ciliata/ciliophora

Balantidium coli

Sporozoa (apicomplexa)

Cryptosporidia

Sporozoa/apicomplexa

GI tractus

Cryptosporidium parvum

Cryptosporidium parvum

FIGURE 80-4 Cryptosporidium oocysts recovered from stool material and stained by the modified acid-fast techniques (X2,700). (From Garcia LS, Bruckner DA, Brewer TC, Shimizu RY: Cryptosporidium oocysts from stool specimens. J Clin Microbiol 18:185, 1983, with permission.)



Morphologia

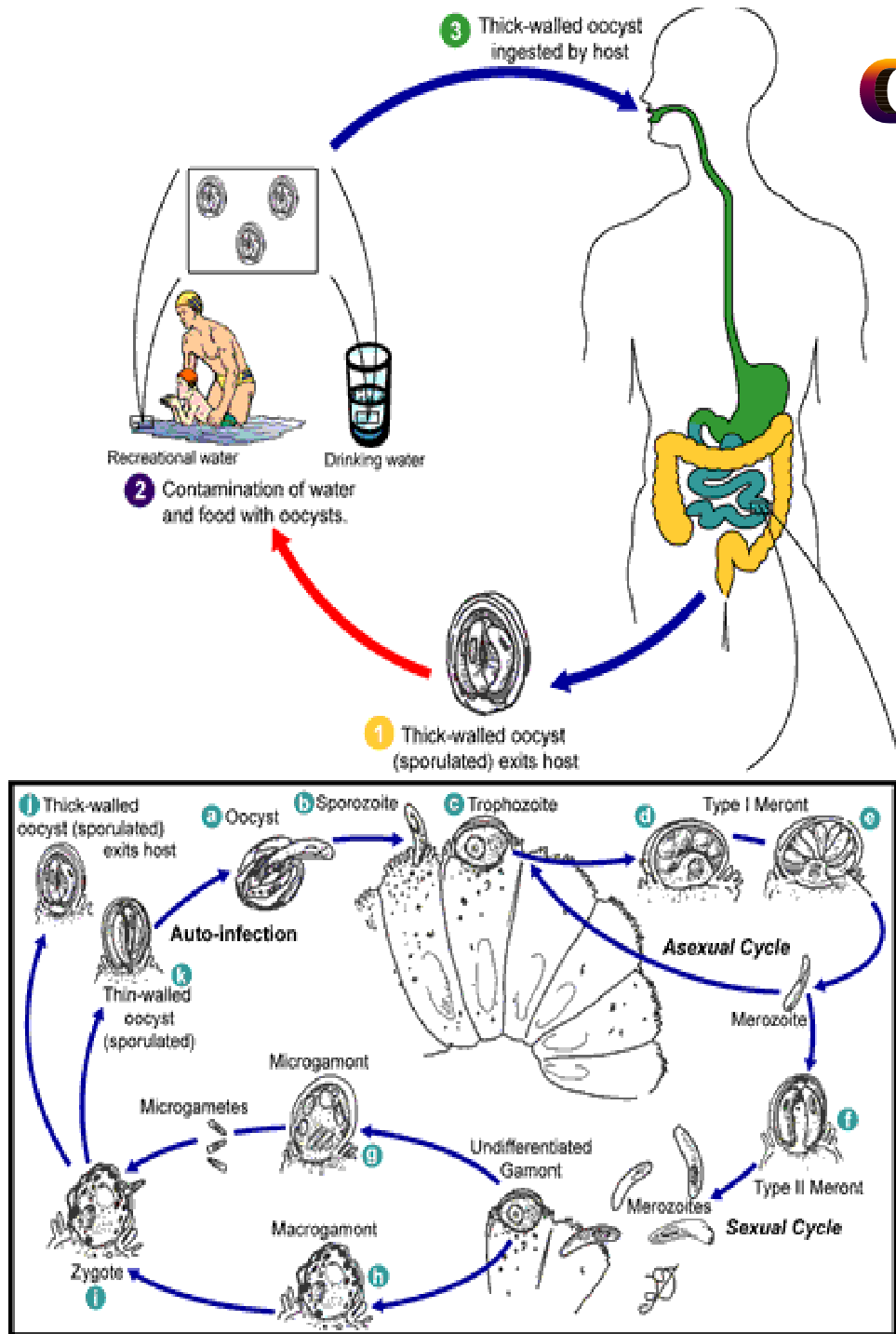
fertőző oocysta (5–8 µm)
benne: sporozoitok

Szaporodás

Szexualis – gametogonia
Aszexualis – schizogonia
Ugyanabban a gazdában!

Medmicro ch80

Cryptosporidium parvum



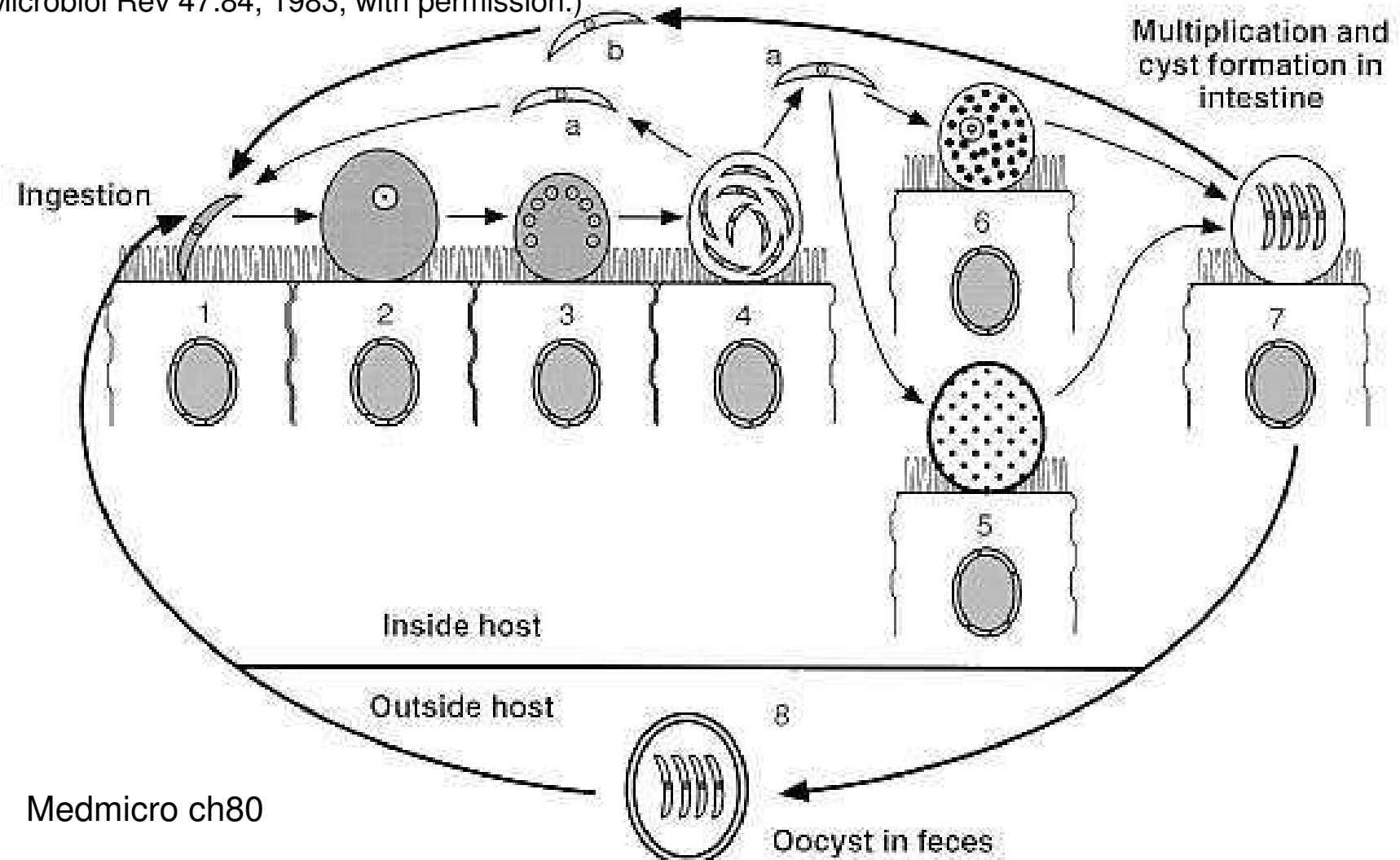
Forrás

Ivóvíz - járványok!
vékonybél

Kórkép

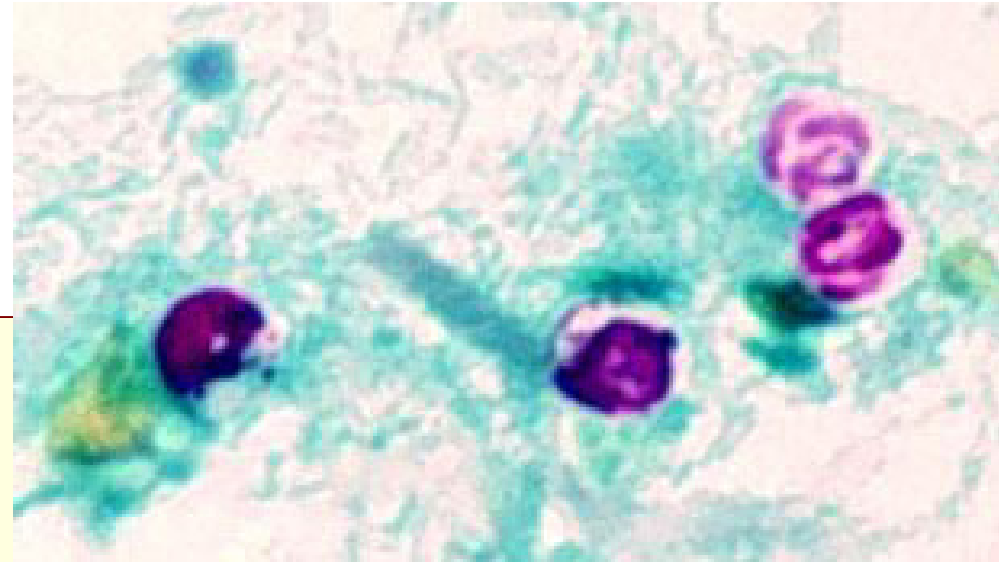
Vizes hasmenés
kiszáradás,
1–2 hét
HIV/AIDS: hónapok

FIGURE 80-3 The life cycle of *Cryptosporidium*. (1-4) Asexual cycle of the endogenous stage: (1) sporozoite or merozoite invading a microvillus of a small intestinal epithelial cell; (2) a fully grown trophozoite; (3) a developing schizont with eight nuclei; (4) a mature schizont with eight merozoites. (5,6) Sexual cycle; (5) microgametocyte with many nuclei; (6) macrogametocyte. (7) A mature oocyst containing four sporozoites without sporocyst. (8) Oocyst discharged in the feces. (a) Merozoite released from mature schizont; (b) sporozoites released from mature oocyst. (Modified from Tzipori S: Cryptosporidiosis in animals and humans. Microbiol Rev 47:84, 1983, with permission.)



Cryptosporidium parvum

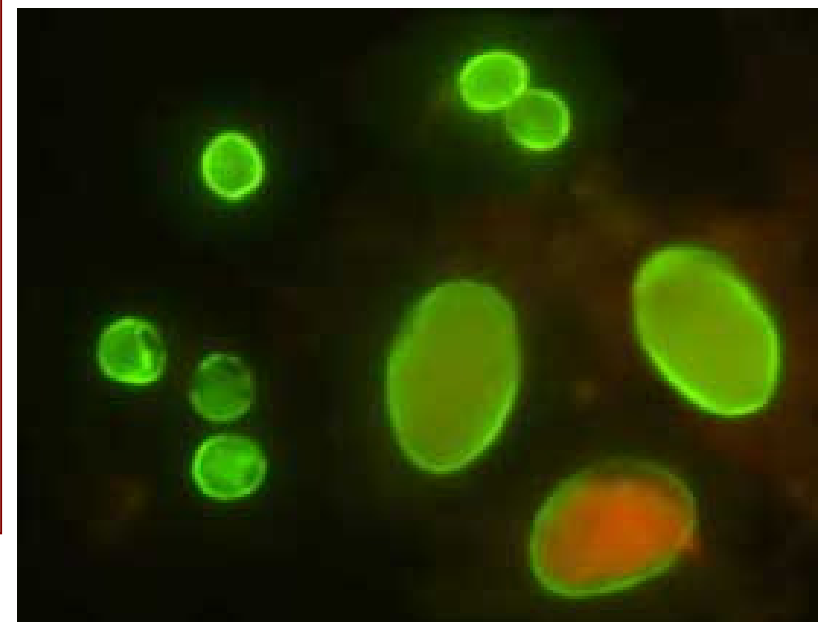
Therapia:
folyadékpótlás



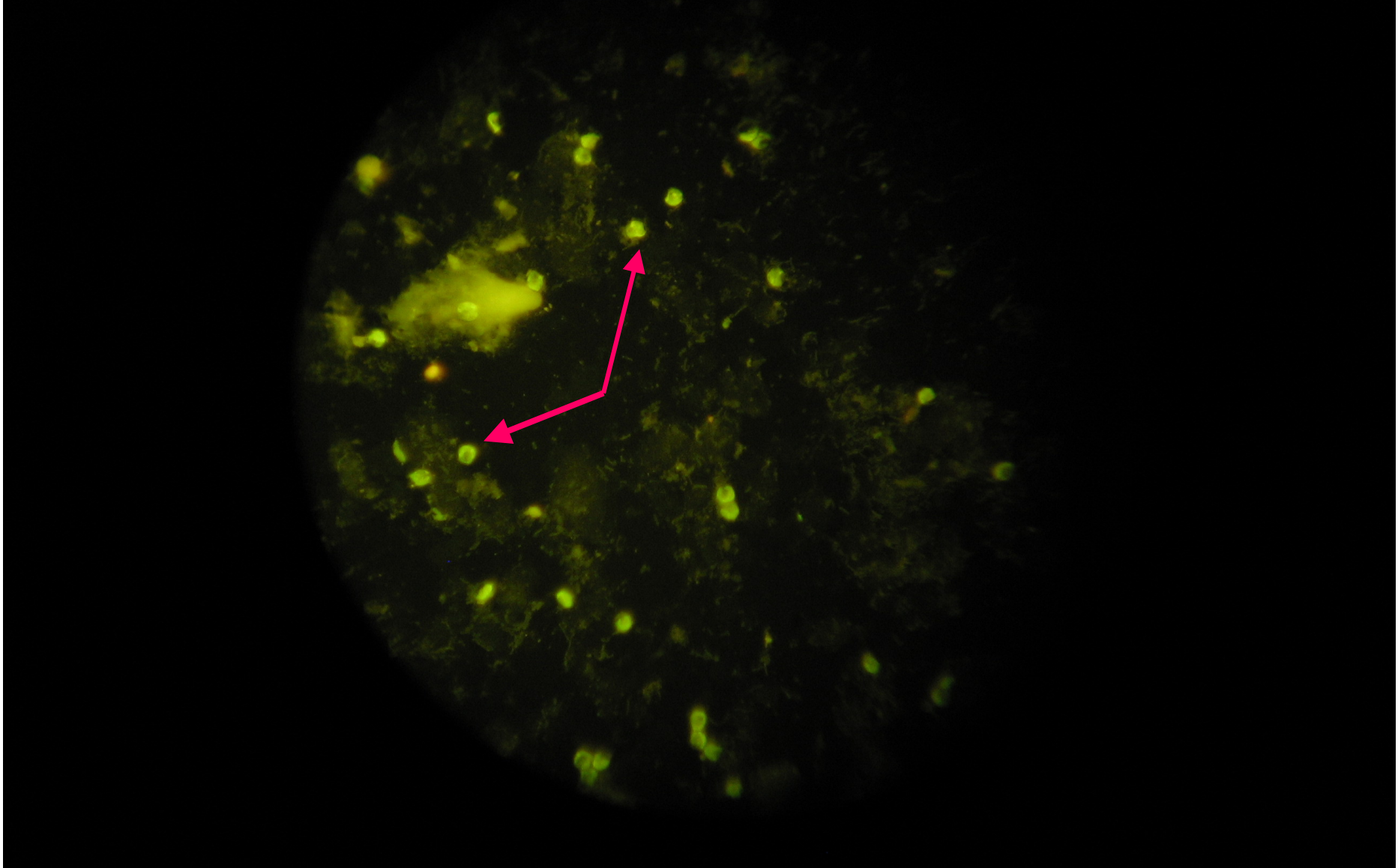
Diagnosis
ZN (hideg) festés,
DIF: oocysta kimutatása székletből

Preventio

- ivóvíz szűrése, forralása
- hegyi patakok, tavak vizét kerülni



Cryptosporidia – AIDS, széklet/stool/Stuhl; fenol-auramin festés; UV



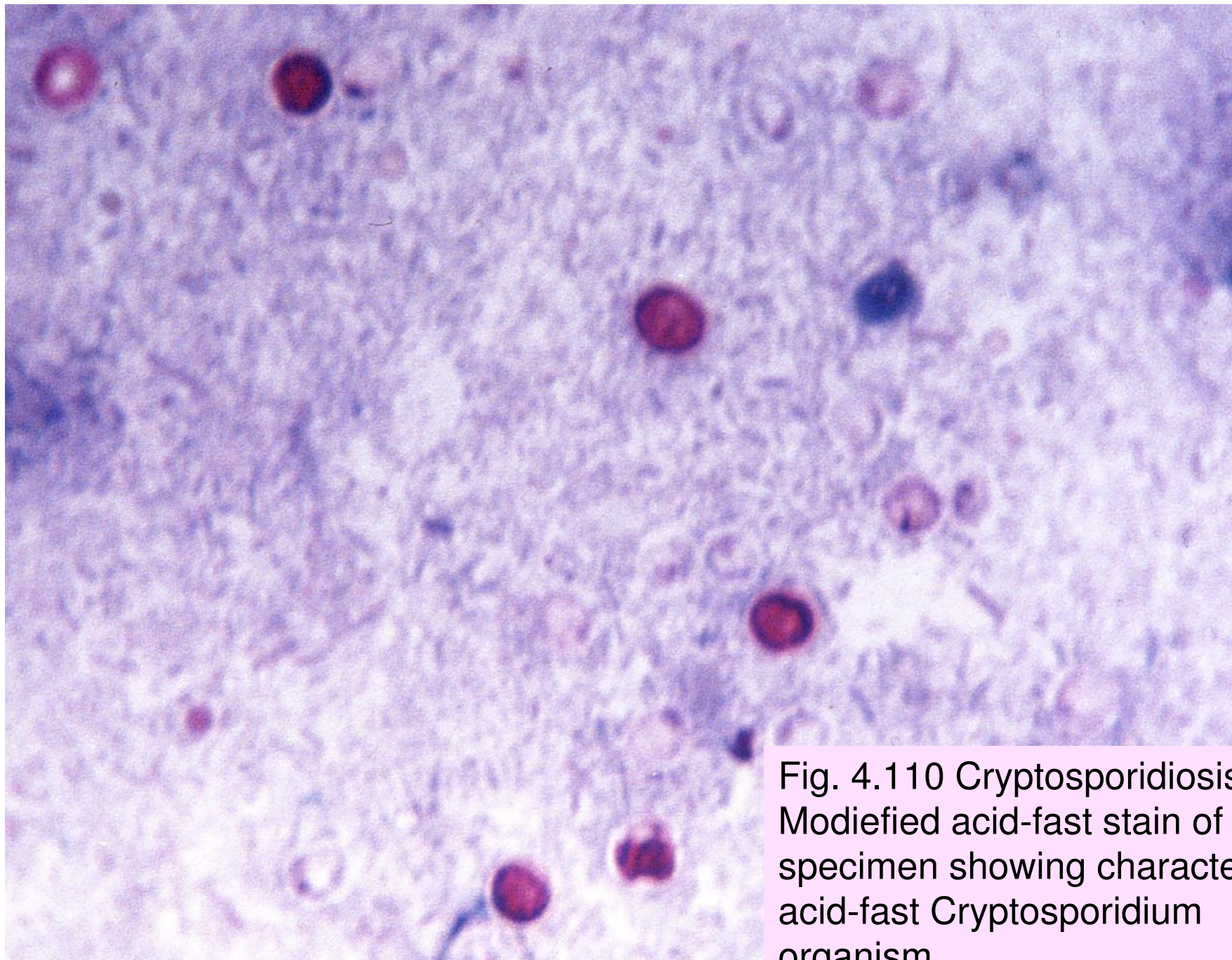


Fig. 4.110 Cryptosporidiosis.
Modified acid-fast stain of stool
specimen showing characteristic
acid-fast *Cryptosporidium*
organism.

Summary – Összegzés

Organism	Transmission	Symptoms	Diagnosis	Treatment
Entameba histolytica	Oro-fecal	Dysentery with blood and necrotic tissue. Chronic: abscesses	Stool: cysts with 1-4 nuclei and/or trophs. Trophs in aspirate.	GI: Iodoquinol or Metronidazole Abscess: Metronidazole
Giardia lamblia	Oro-fecal	Fowl-smelling, bulky diarrhea; blood or necrotic tissue rare.	Stool: typical old man giardia troph and/or cyst.	Iodoquinol or Metronidazole .
Balantidium coli	Oro-fecal; zoonotic	Dysentery with blood and necrotic tissue but no abscesses.	Stool: ciliated trophs and/or cysts.	Iodoquinol or Metronidazole .
Cryptosporidium parvum	Oro-fecal	Diarrhea	Oocysts in stool	Paromycin (investigational)
<i>Isospora belli</i>	Oro-fecal	Giardiasis-like	Oocysts in stool	Sulpha drugs
Trichomonas vaginalis	Sexual	Vaginitis; occasional urethritis/prostatitis.	Flagellate in vaginal (or urethral) smear.	Mebendazole; vingar douche; steroids Metronidazole

Vér / szöveti

Ameba/rhizopoda

Naegleria

Acanthameba

Flagellata/mastigophora

Trypanosoma

T. brucei gambiense/rhodesiense → álomkór

T. cruzi → Chagas kór

Leishmania

L. donovani → visceralis, Kala-azar

L. tropica → cutan, Aleppo fekély

L. brasiliensis → muco-cutan, Espundia

Sporozoa (apicomplexa)

Plasmodia sp.

Plasmodium malariae, P. vivax, P. ovale, P. falciparum

MALARIA

Toxoplasma gondii

toxoplasmosis



Szöveti

Ameba/rhizopoda

Naegleria fowleri

Acanthamoeba castellani

Balamuthia mandrillaris

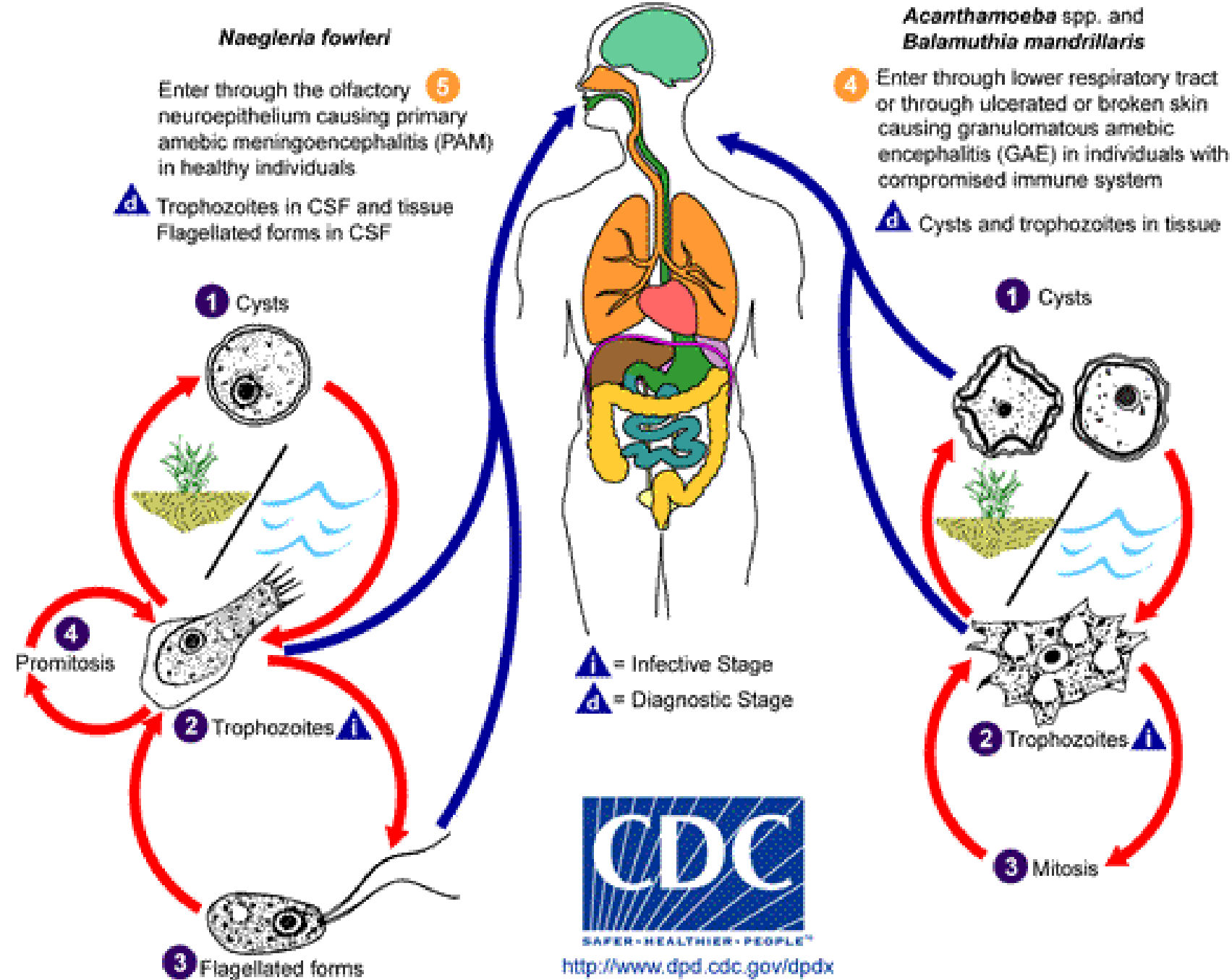
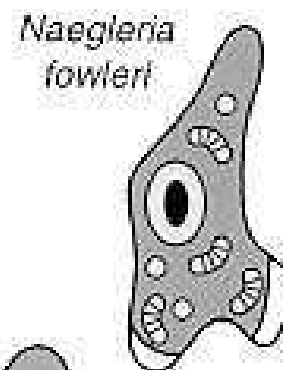


Figure 81- 1 Comparative **morphologia** of free-living amebas.

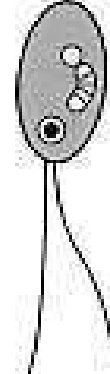
Medmicro ch81

10 – 15 μm

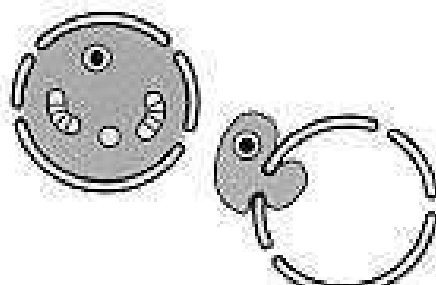
Ameboid trophozoite



Flagellated trophozoite



Cysts



10 μm

Naegleria fowleri

Acanthamoeba spp.

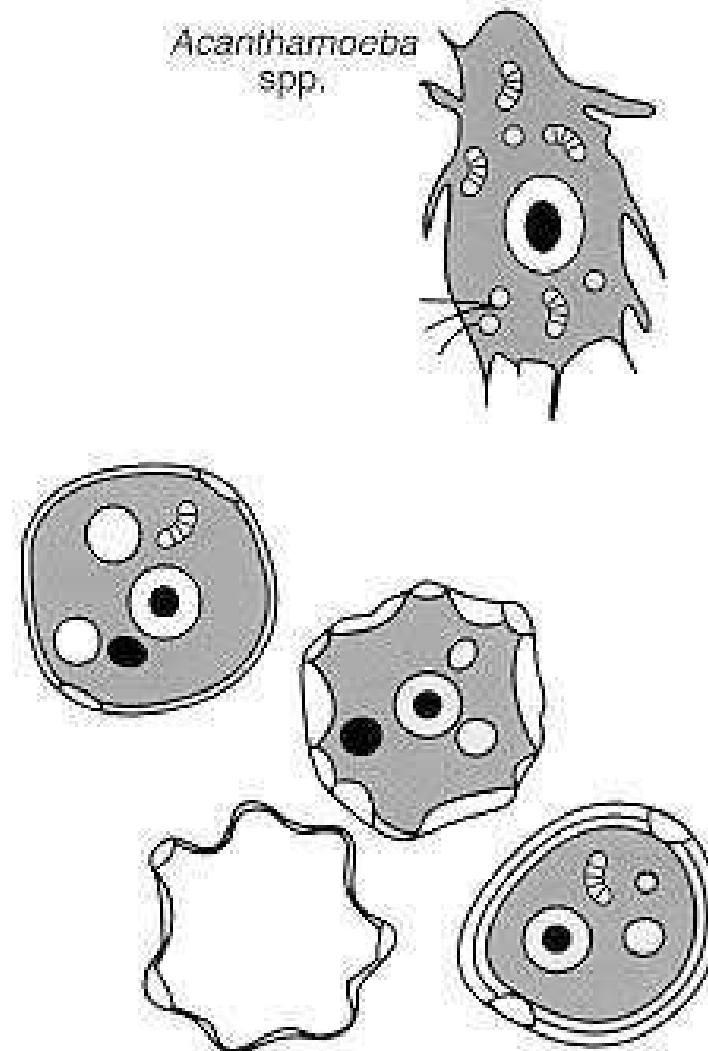
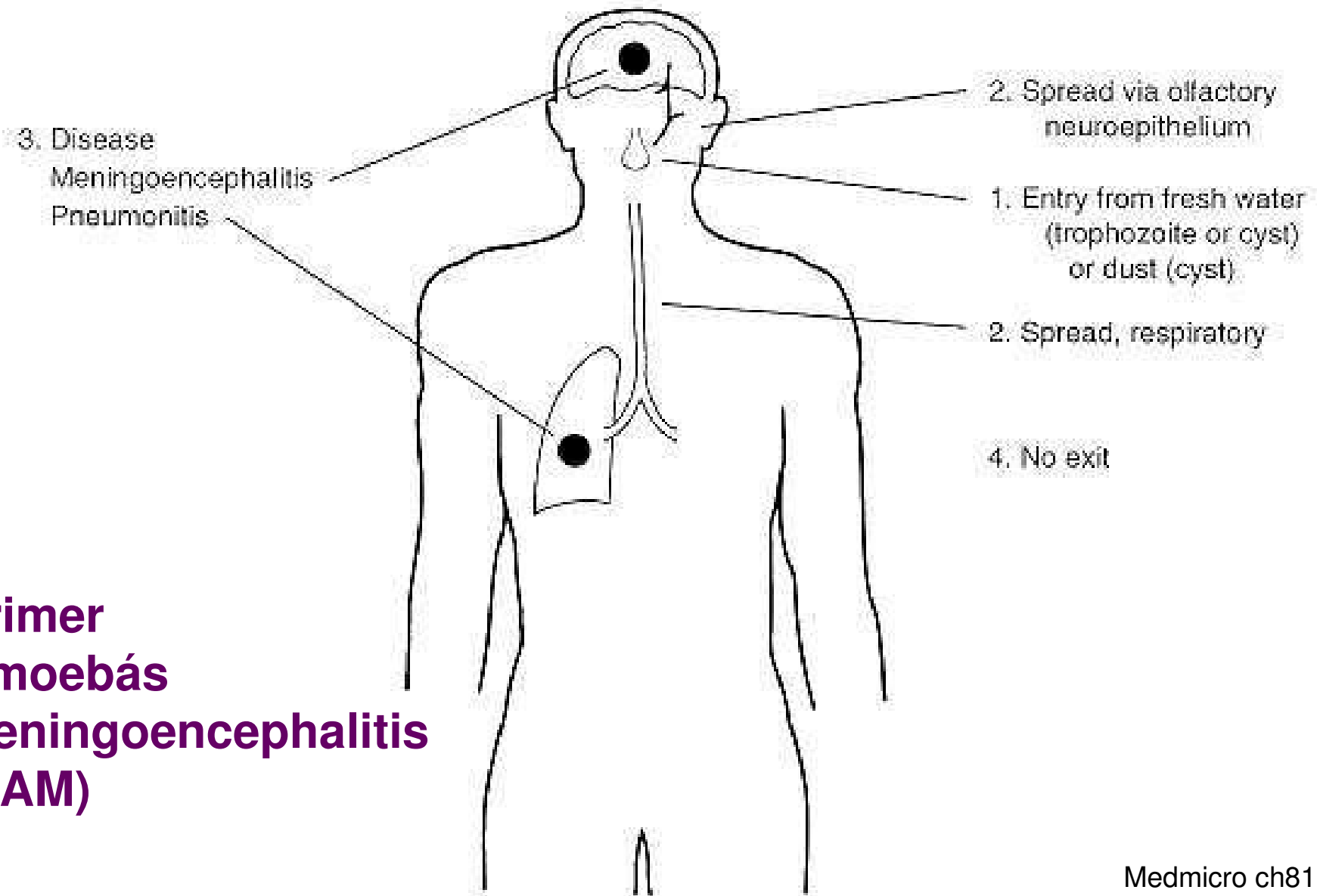


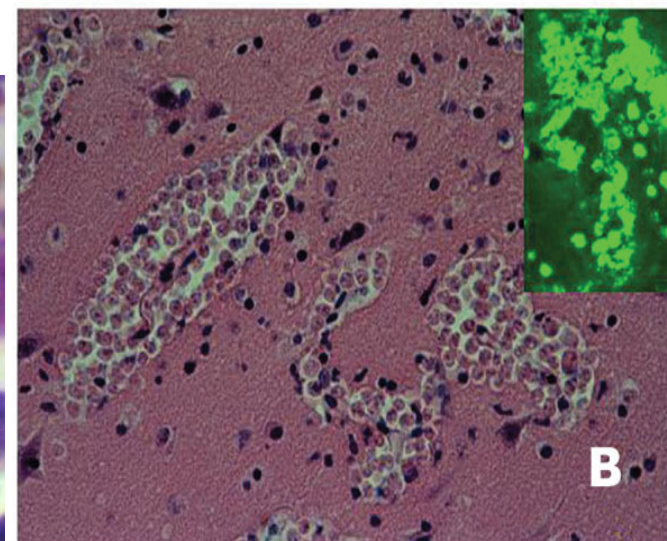
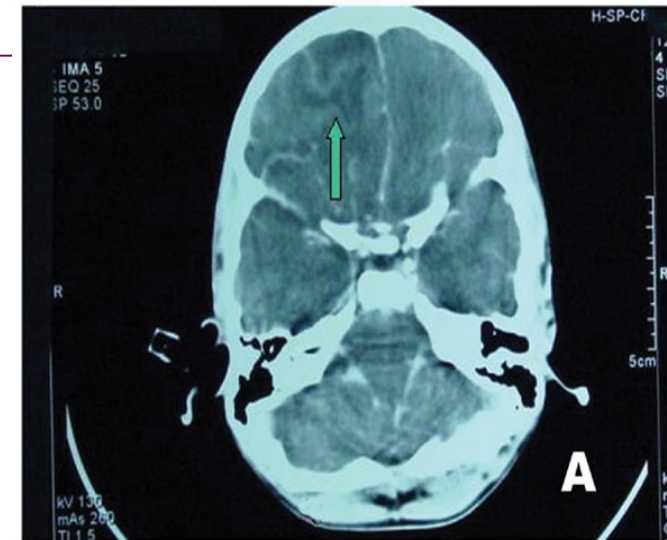
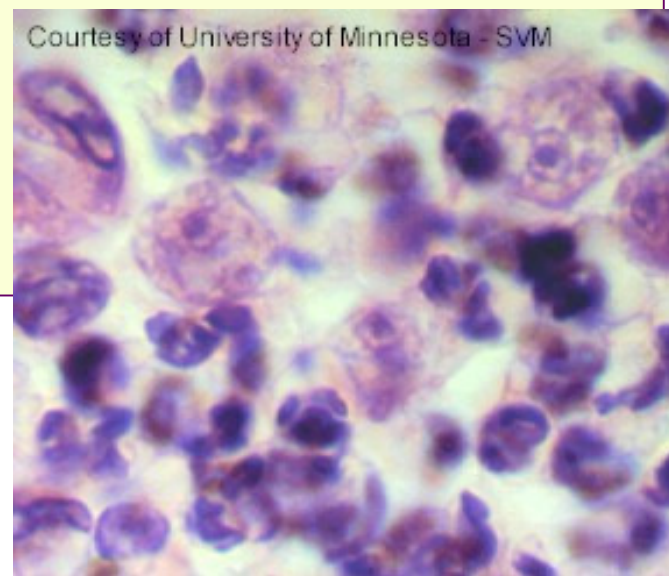
Figure 81- 2 Pathogenesis of *Naegleria* infection.



***Naegleria fowleri* – PAM eset**

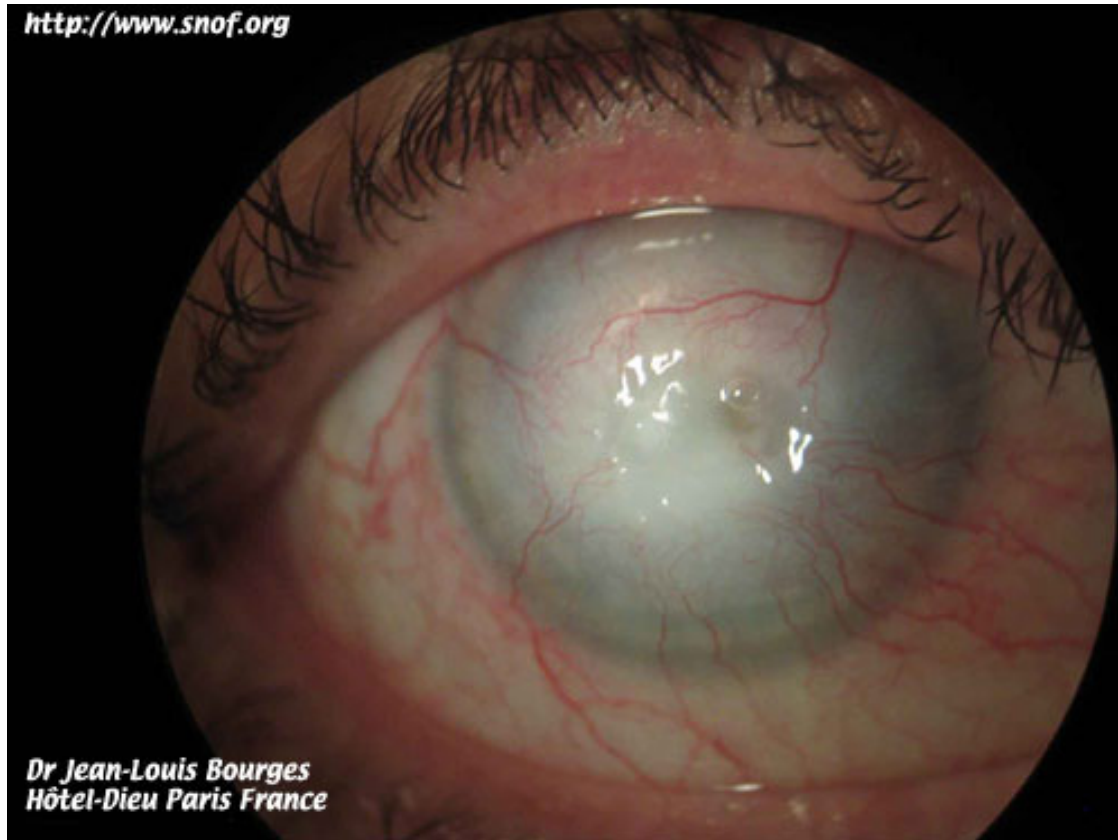
9 éves fiú, 2003 július

- láz, fejfájás, kötött tarkó CT: neg,
- liquor: zavaros, FVS↑, glucose↓,
Th: ceftriaxon
- Bacteriologia, gomba, Ag, tenyésztés: neg
- 3-dik nap: coma,
CT: kiterjedt léziók
- 6-dik nap: exitus letalis,
- **Megfelelő Th:**
amphotericin B,
rifampin



***Acanthamoeba castellani*-keratitis, fekély, granulomás encephalitis – immunszupresszáltak**

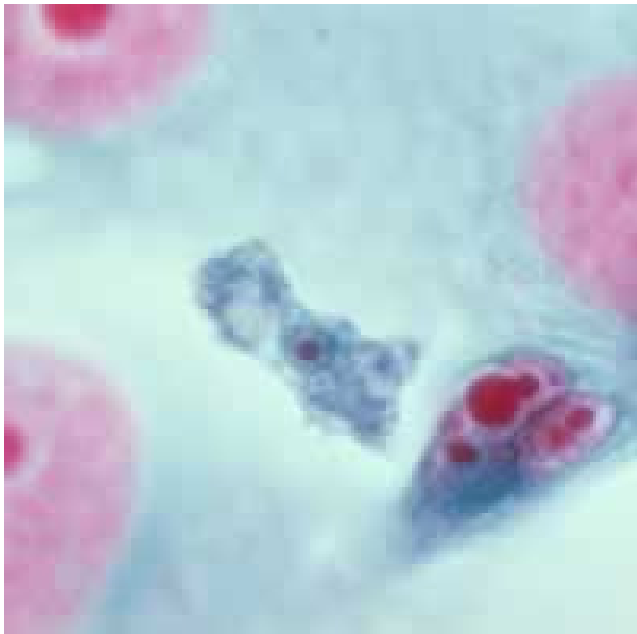
<http://www.snof.org>



Kontakt lencse



Acanthamoeba castellani - keratitis, fekélyek, granulomás encephalitis - immunszuppresszáltak



Vér / szöveti

Ameba/rhizopoda

Naegleria

Acanthameba

Flagellata/mastigophora

Trypanosoma

T. brucei gambiense/rhodesiense → álomkór

T. cruzi → Chagas kór

Leishmania

L. donovani → visceralis, Kala-azar

L. tropica → cutan, Aleppo fekély

L. brasiliensis → muco-cutan, Espundia

Sporozoa (apicomplexa)

Plasmodia sp.

Plasmodium malariae, P. vivax, P. ovale, P. falciparum

MALARIA

Toxoplasma gondii

toxoplasmosis



Szöveti

Sporozoa/apicomplexa

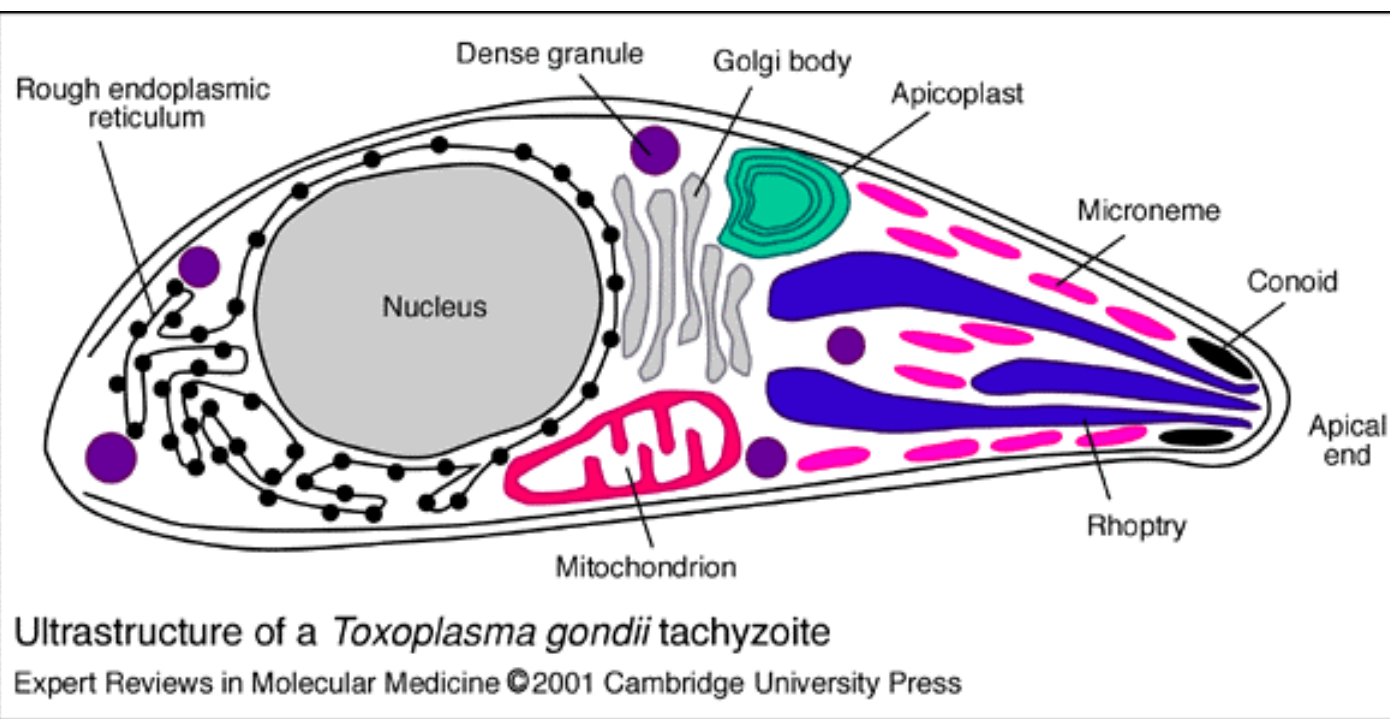
Toxoplasma gondii

Toxoplasma gondii

Morphologia (1)

tachyzoit: 4-7 μm

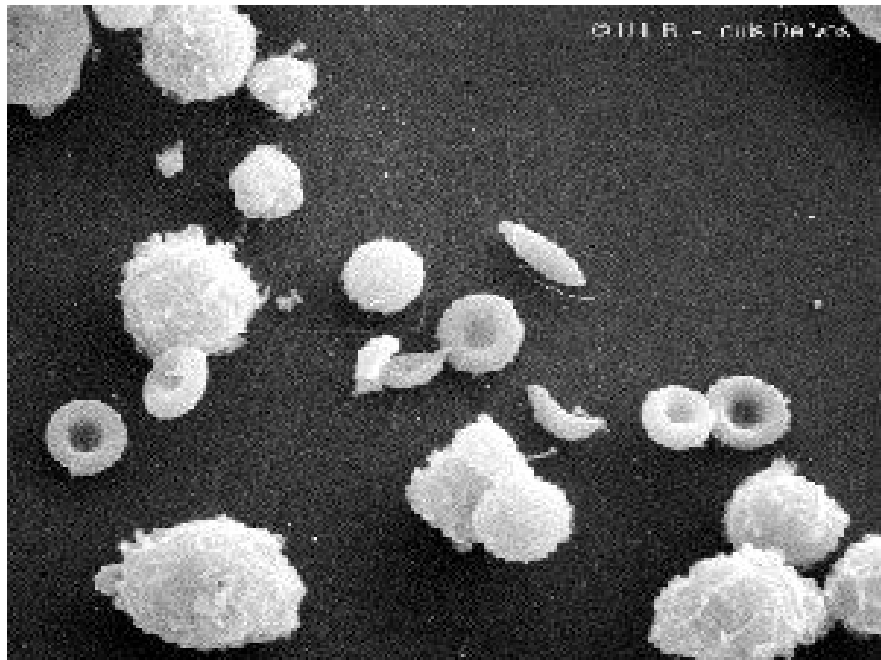
„újhold”, „banán” - alak



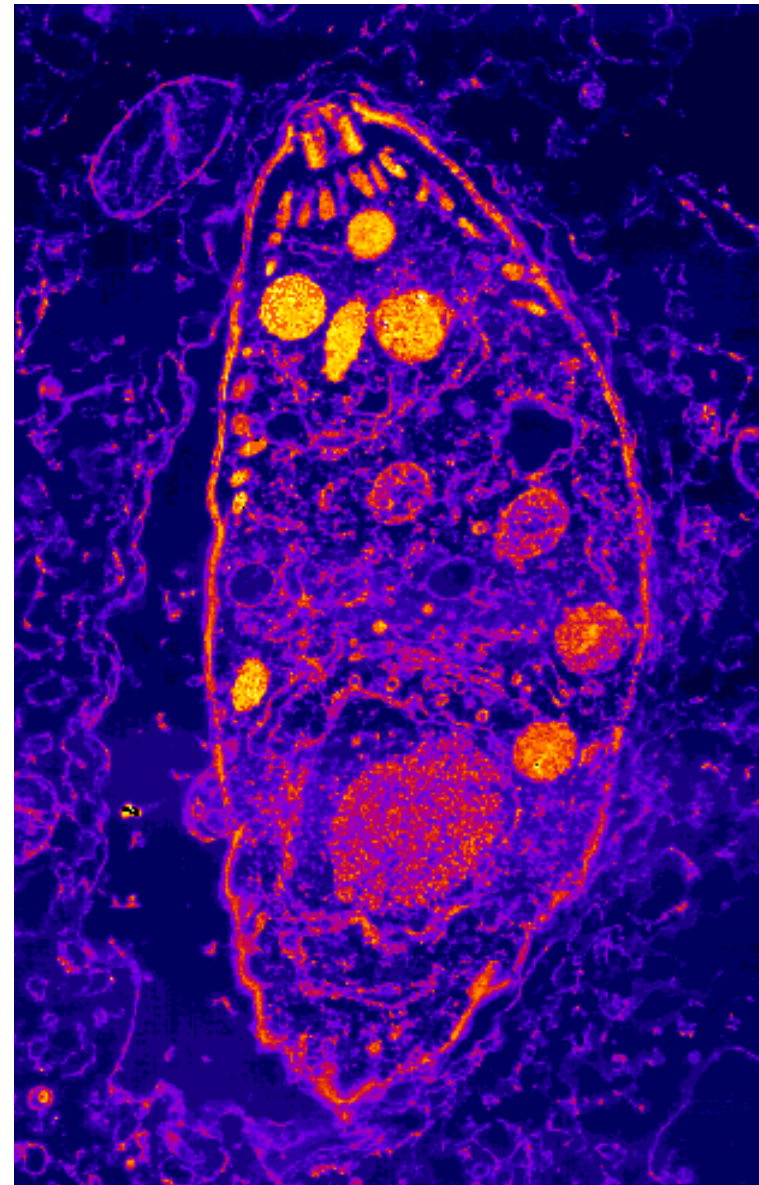
Toxoplasma gondii

Morphologia (1)

tachyzoites: 4-7 µm
„kifli“



www.laves.niedersachsen.de



www.i-ddi.org

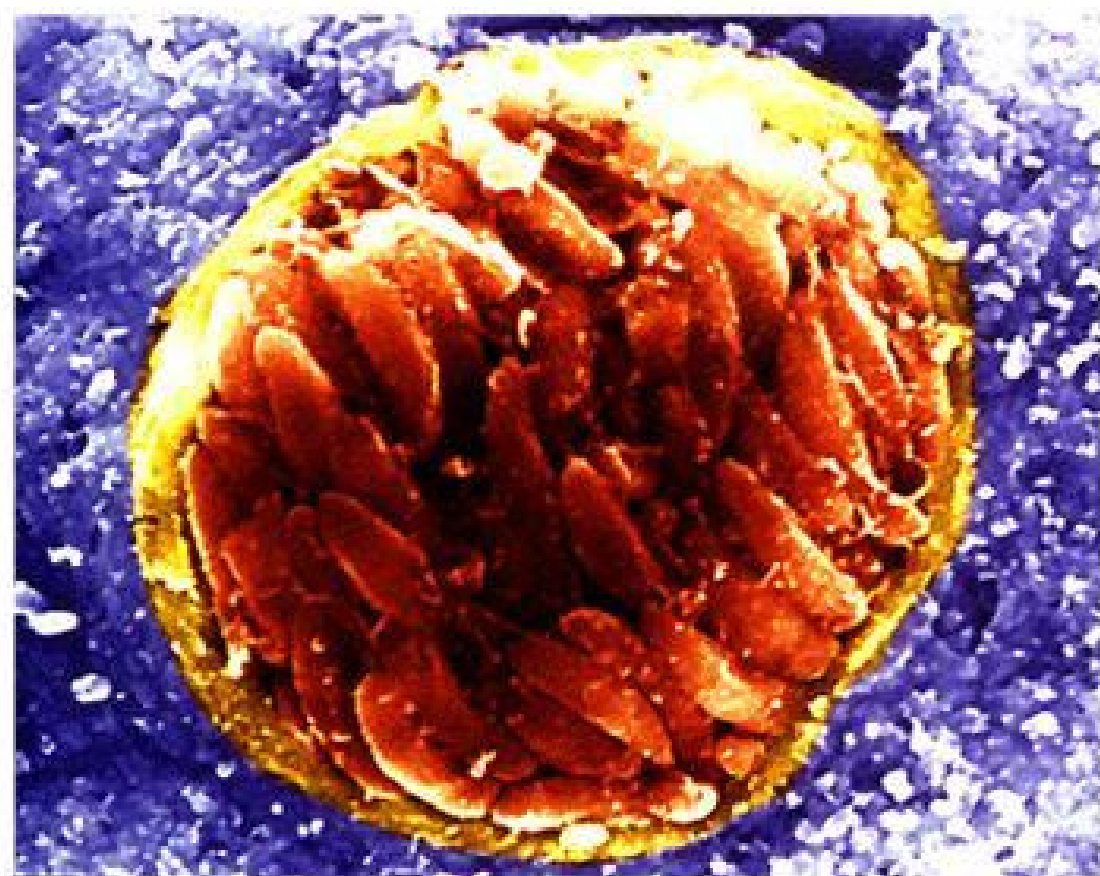
Toxoplasma gondii

Morphologia (2)

Cysta – szöveti,
izomzat, agy

Cysta (vékony fal)
benne sok-sok
Bradyzoit

Méret: **20 - 60 µm**



Toxoplasma gondii

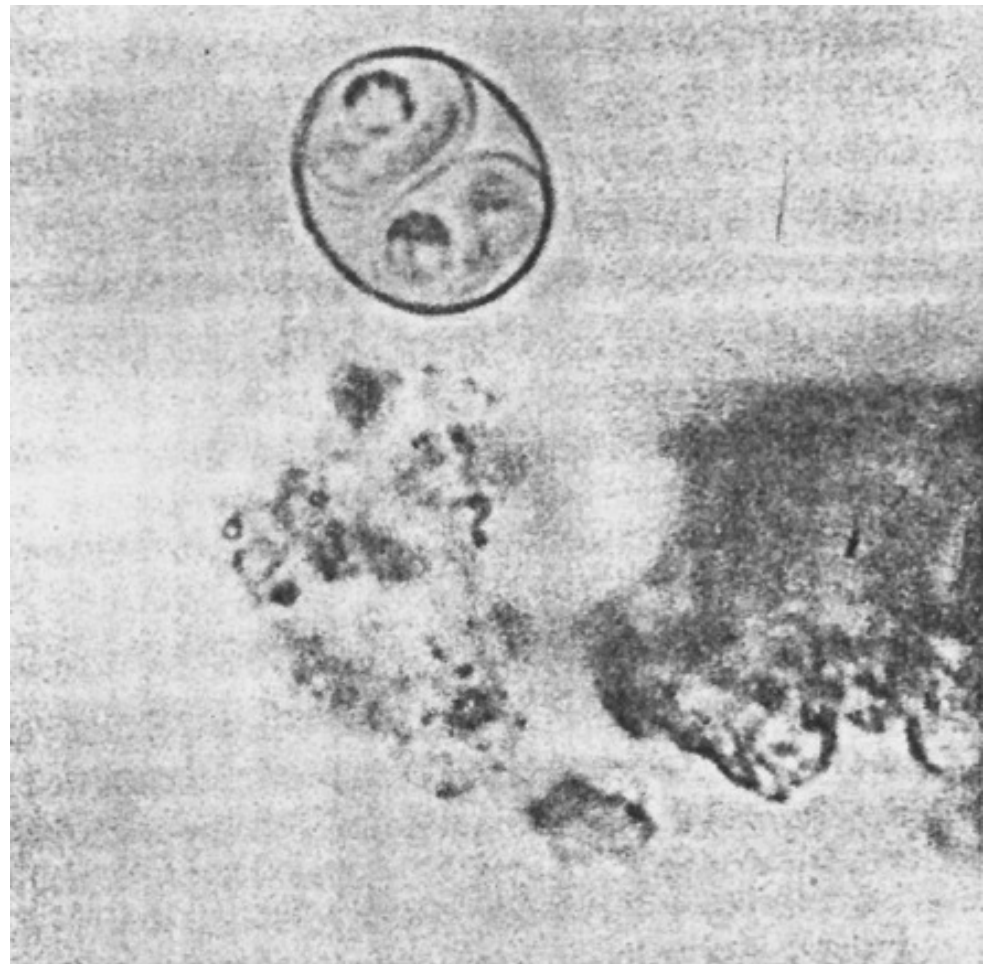
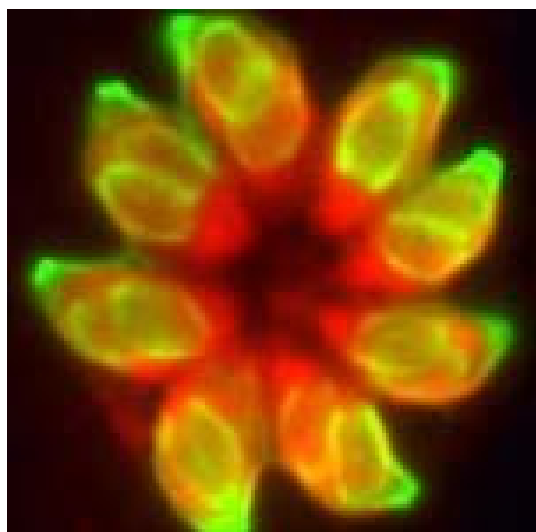
Morphologia (3)

Oocysta

benne 8 infectiv sporozoit

Méret: ca. 12 μm

Macska széklet



Oocyst of *Toxoplasma gondii* from cat faeces.
It is 10 to 13 by 9 to 11 μm .
(Photograph by Harley Sheffield)

Toxoplasma gondii

www-ijr.ujf-grenoble.fr

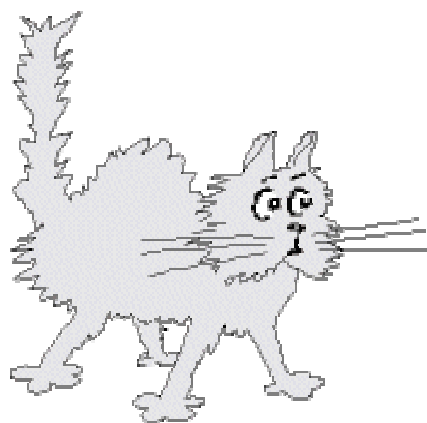
Morphologia (3)

Oocysta

benne 8 infectiv sporozoit

Méret: ca. 12 μm

Macska széklet



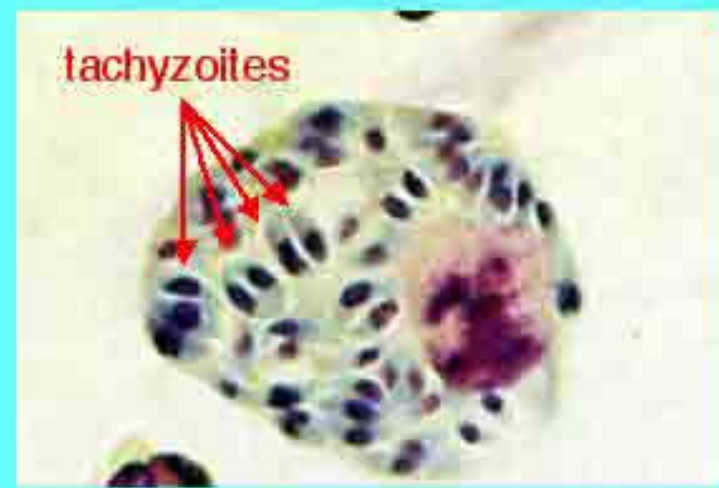
www.parsa.ac.za



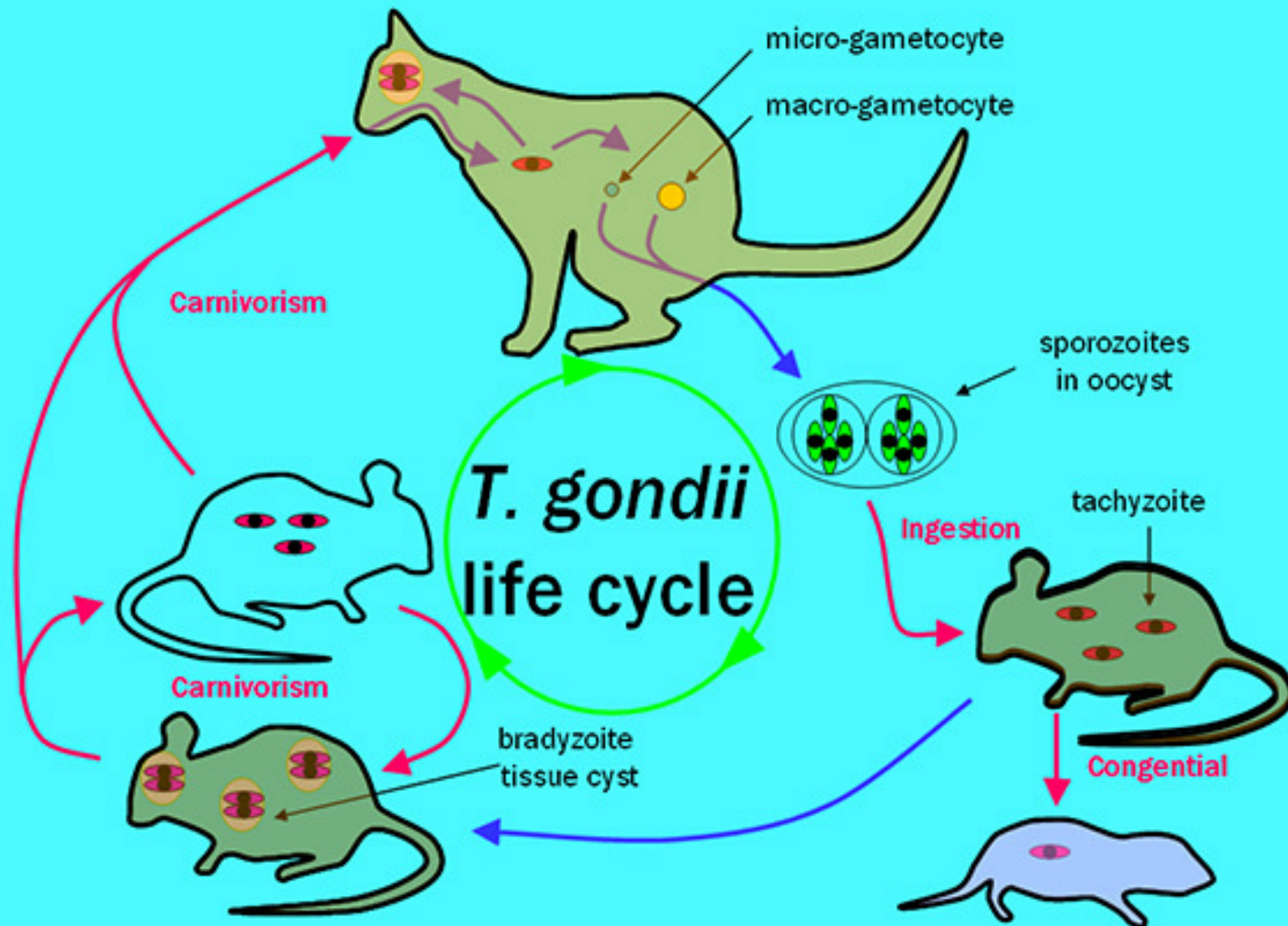
Toxoplasma gondii



T. gondii bradyzoites
in mouse brain
tissue cysts



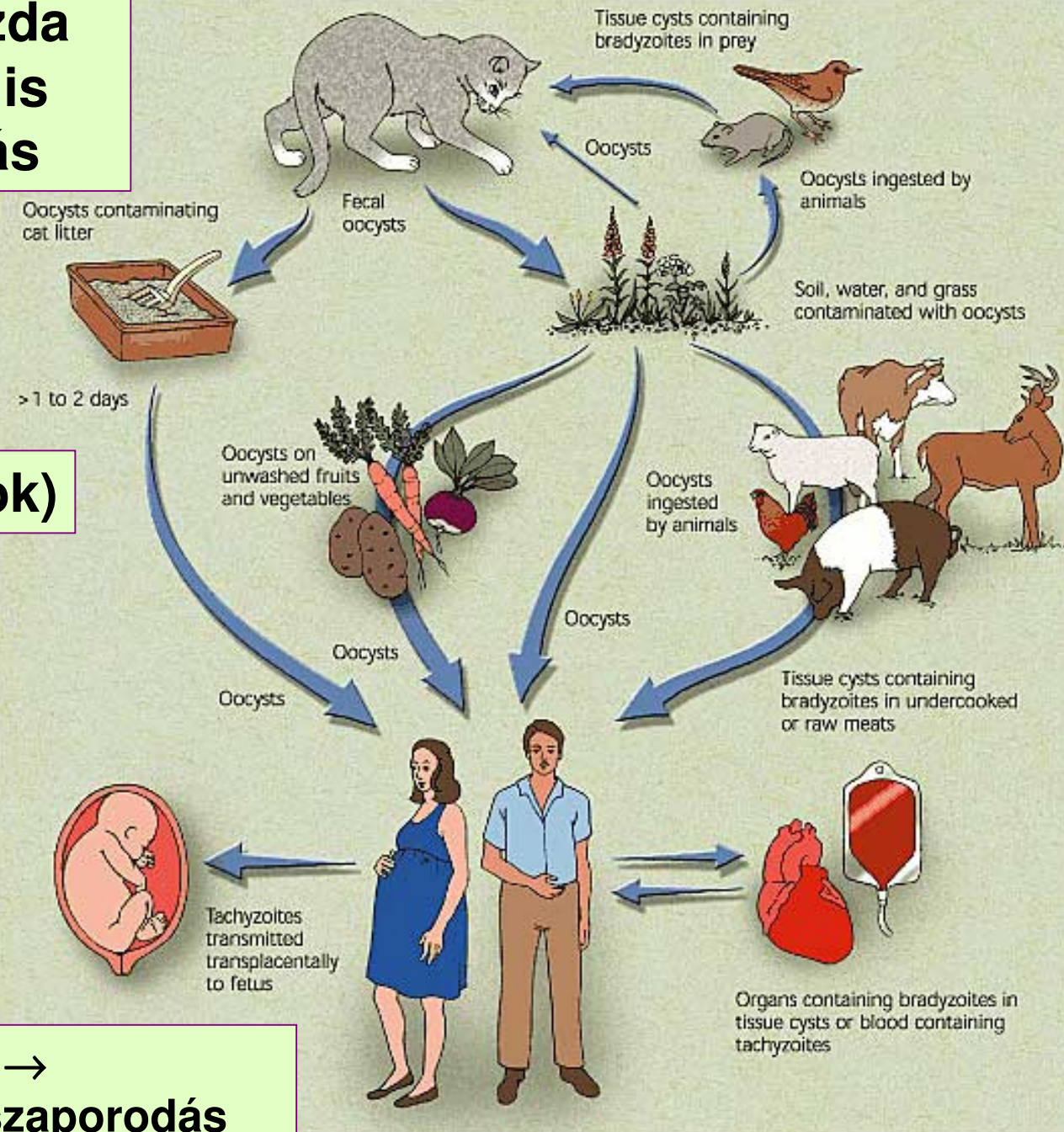
T. gondii tachyzoites
in leukocyte



Végső gazda → szexuális szaporodás

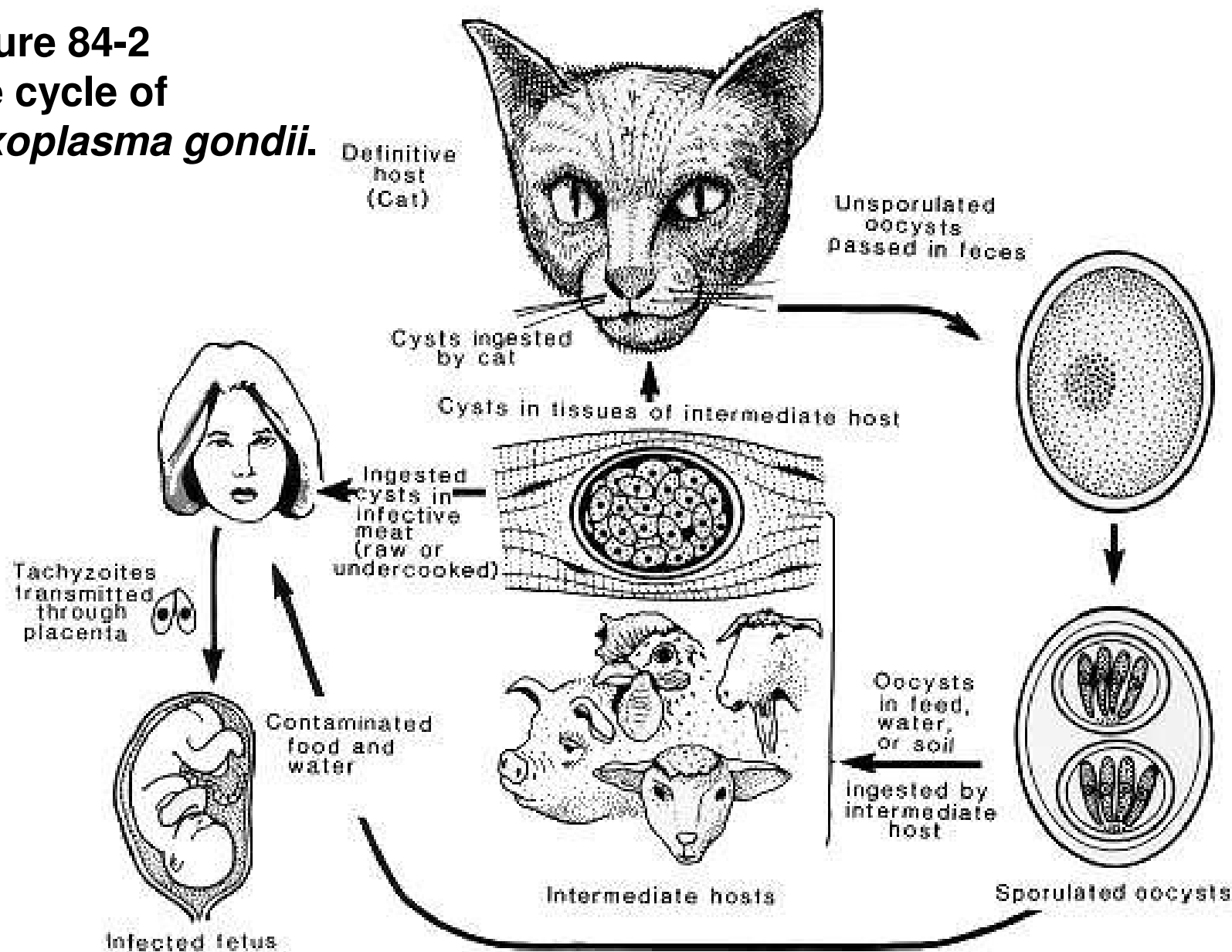
www.aafp.org

Forrás(ok)



Közti gazda →
aszexuális szaporodás

Figure 84-2
Life cycle of
***Toxoplasma gondii*.**



Medmicro ch84

Toxoplasma gondii

Forrás(ok)

Oocysta –

Macska alom

élelmiszer, zöldség (macska széklettel szennyezett)

Bradyzoit – szöveti cysta

Hús! (hőkezelés!)

Transmissio

Emberről emberre csak vertikálisan

Transplacentalis

Virulencia faktor?

A toxoplasma sejtek aktív szaporodása direkt károsítja a gazdasejteket ⇒ necrosis!

Toxoplasma gondii

Pathogenesis

Obligát intracellularis

epithel sejtek (bél) → mesenteriális nyirokcsomók → →
nyirok-, vér

Minden sejt fogékony, minden sejtben szaporodhat → necrosis
Érzékeny szerveink: szem, szív, parenchymás szervek...

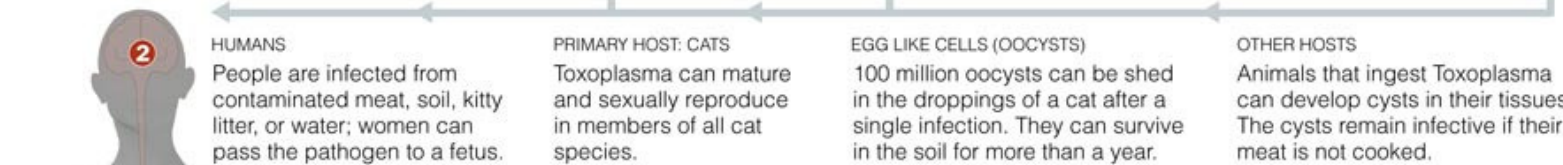
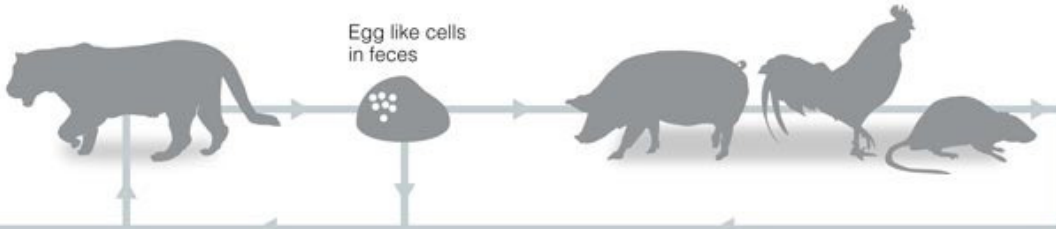
Központi Idegrendszer
Dendritikus sejtek

A Ubiquitous Pathogen That Keeps Its Host Healthy

The single-celled pathogen *Toxoplasma gondii* can enter the most protected parts of its host body while remaining largely undetected. In most cases it lives as a harmless tenant, but in fetuses or in people with compromised immune systems it can cause severe damage.

Host to host

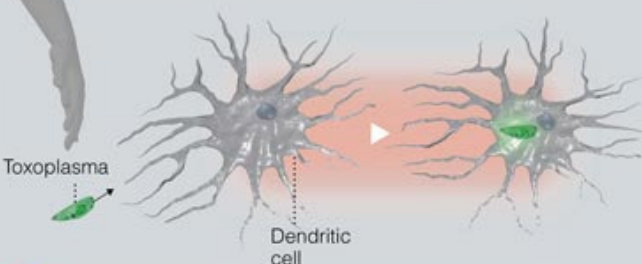
While *Toxoplasma* can infect humans, other mammals, and birds, its relationship with cats is unique. Only in cats can the pathogen reproduce sexually to create egg like cells.



Cell to cell

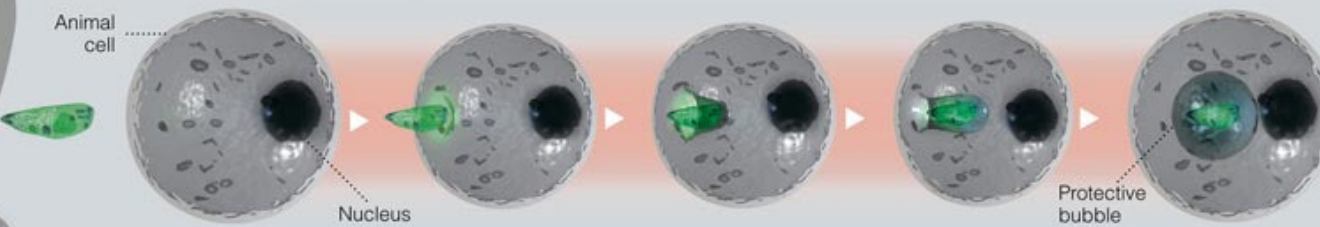
1 Rapid spread

Within hours of infection, *Toxoplasma* can move to widely separated parts of the body. It does this by entering and controlling dendritic immune cells in the intestine.



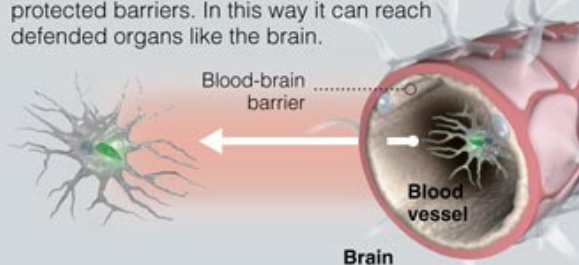
3 Entering a cell

Toxoplasma can infect almost every type of cell. It enters by pushing against the membrane and pulling it over itself. The cell seals behind, leaving the pathogen in a protective bubble.



2 Crossing protected barriers

After *Toxoplasma* takes control of a dendritic cell, it can use the cell as a Trojan horse to cross protected barriers. In this way it can reach defended organs like the brain.



Toxoplasma gondii

<http://www.iwf.de/iwf/do/mkat/details.aspx?GUID=444C4755494400B9D8364493893800DBCC299C0301030061F44C86AB00000000&Action=Quicklink&Search=Medizin;%20Innere%20Medizin;%20Infektionskrankheiten;&SearchIn=Klassifikation&Offset=10>

Toxoplasma gondii

Kórképek – toxoplasmosis

Immunkompetens

- Tünetmentes
- Enyhe fertőzés:
lymphadenopathia, láz, izomfájdalom, fejfájás...

Immunkárosodott, AIDS

Encephalitis, myocarditis, pneumonia

Congenitalis – abortus!

Agy és Retina
súlyos forma – tetrád:

- 1) Retinochoroiditis
- 2) Hydrocephalus
- 3) Görcsök
- 4) Intracerebralis meszesedés

Toxoplasma gondii

Enyhe fertőzés – bőrtünetek



<http://dermis.net>



www.dermis.net

Toxoplasma gondii

FIGURE 84-6 Section of brain from an AIDS patient with fatal toxoplasmosis.

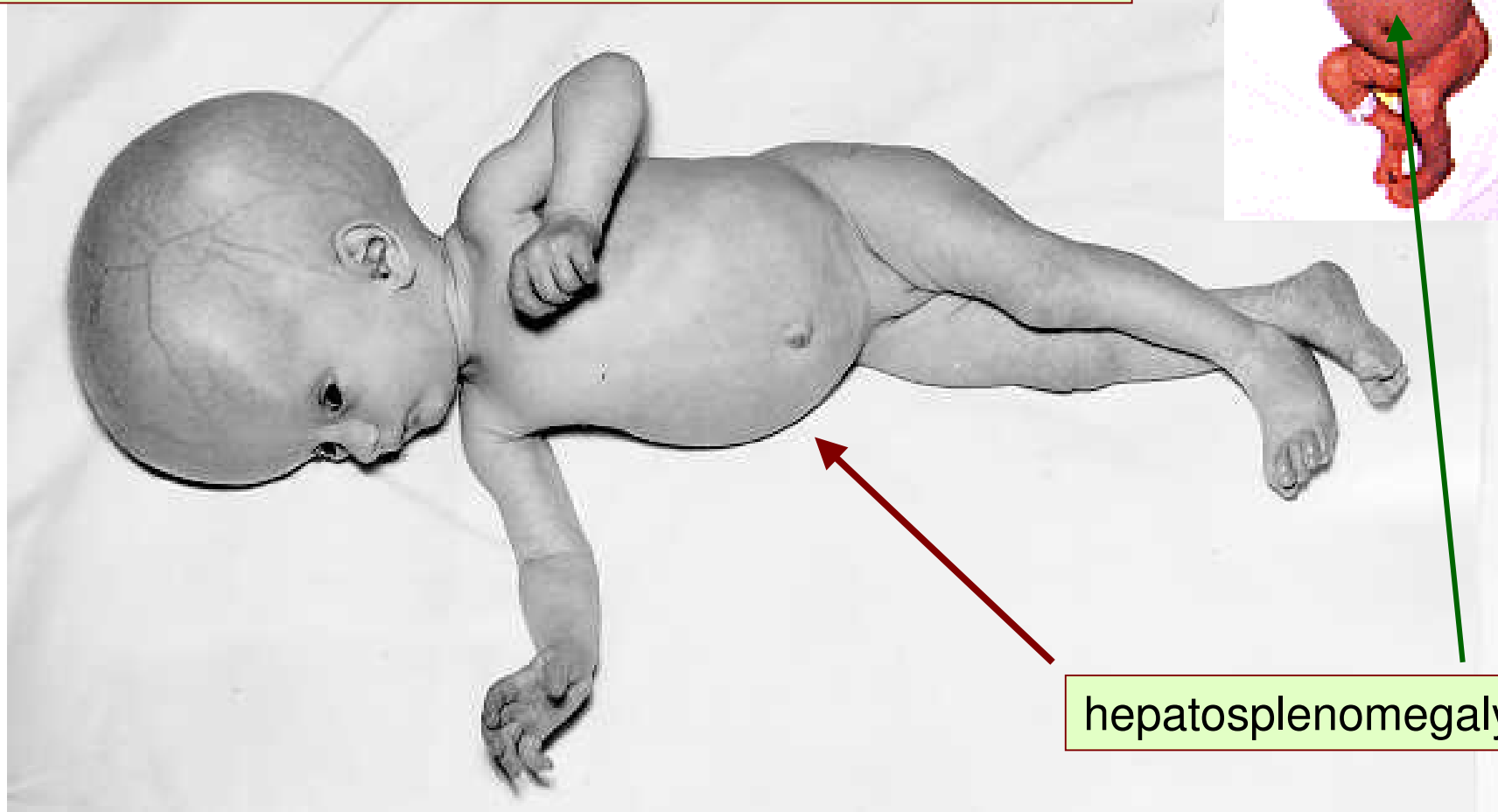
Note a large focus of necrosis, 2 tissue cysts (arrows) and numerous tachyzoites (arrowheads - all black dots are tachyzoites).

Immunohistochemical stain with anti-*T. gondii* serum Bar - 100 µm.



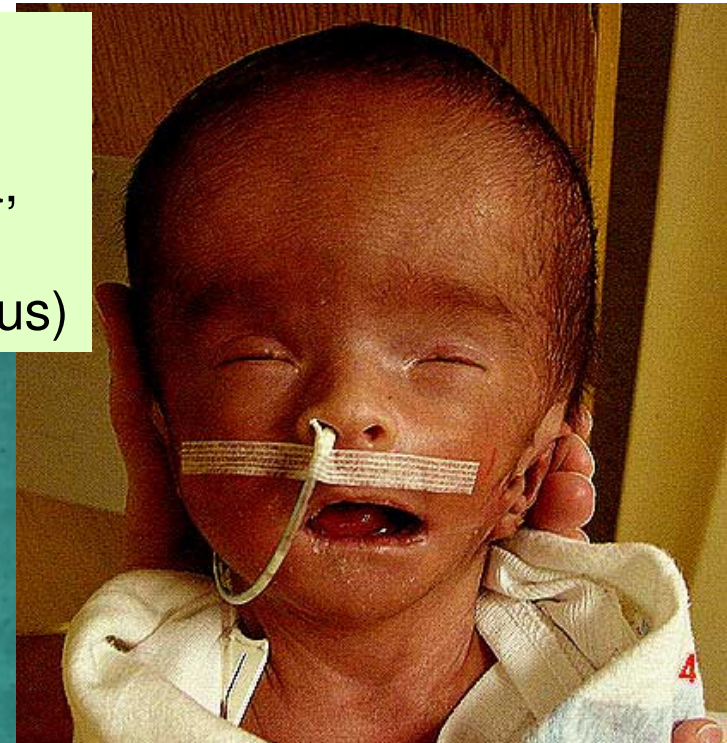
Toxoplasma gondii

FIGURE 84-1 Girl with hydrocephalus due to congenital toxoplasmosis. (From Dubey JP, and Beattie CP. Toxoplasmosis of animals and Man. CRC Press, Boca Raton, Florida, 52, 1988.)





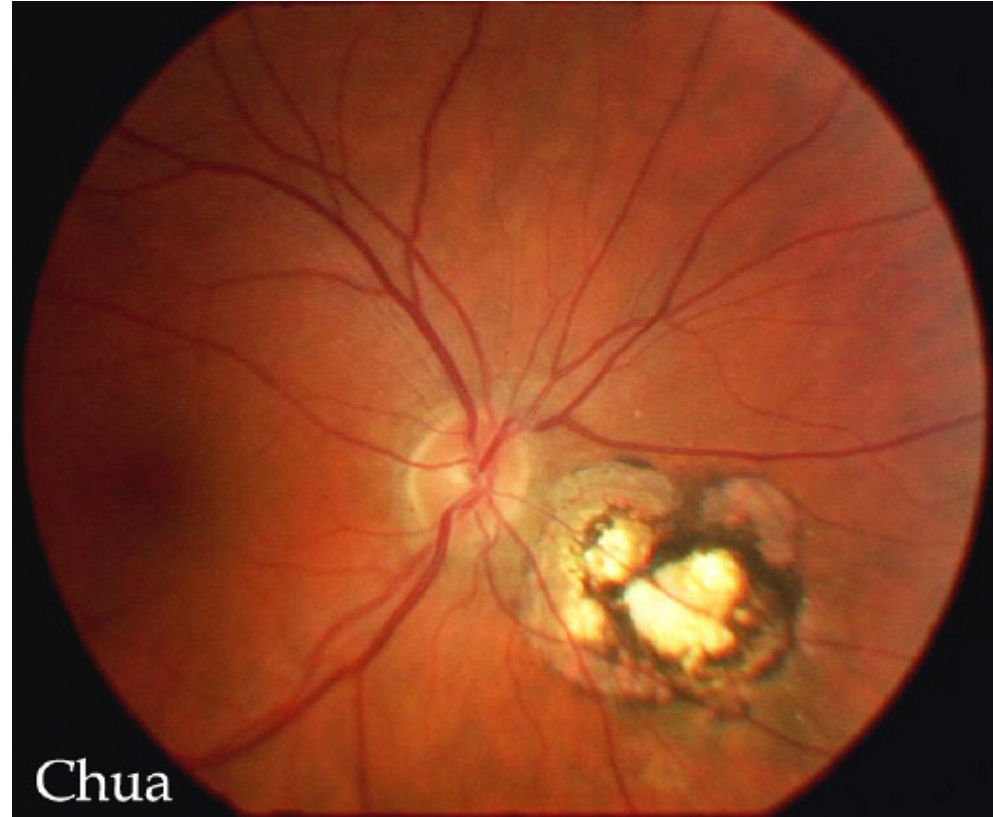
Congenitalis
toxoplasmosis,
microphthalmia,
hydrocephalus
sárgaság (icterus)



Intracranialis meszesedés



Toxoplasma gondii



Chua

chorioretinitis, uveitis - hegesedések

Toxoplasmosis

Diagnosis

Histologia

Szerológia – acut, friss fertőzés

IgM vagy 4-16x titer↑ (2 - 4 hetes intervallum!)

Direkt kimutatás: Giemsa, IF, PCR

Therapia

spiramycine terhesség alatti, primer fertőzés (3%)

Fertőzött újszülött: pyrimethamine + folsav 1 éves korig

Preventio

Terhesek szűrése, fogékonyak (ki)szűrése

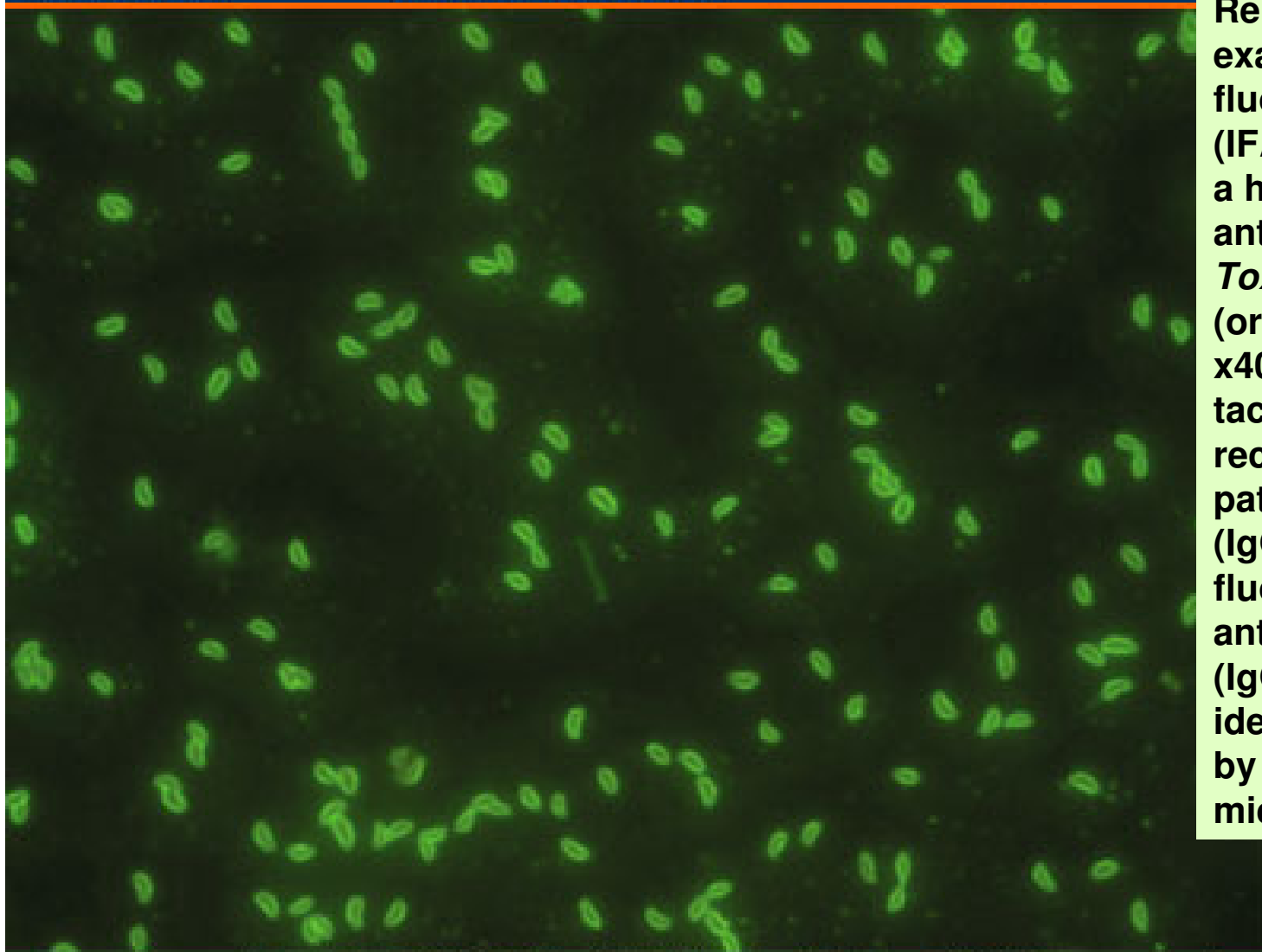
szűrés: ELISA IgG, IgM, IgA

Követés: újszülött 1 éves korig

macskatartás



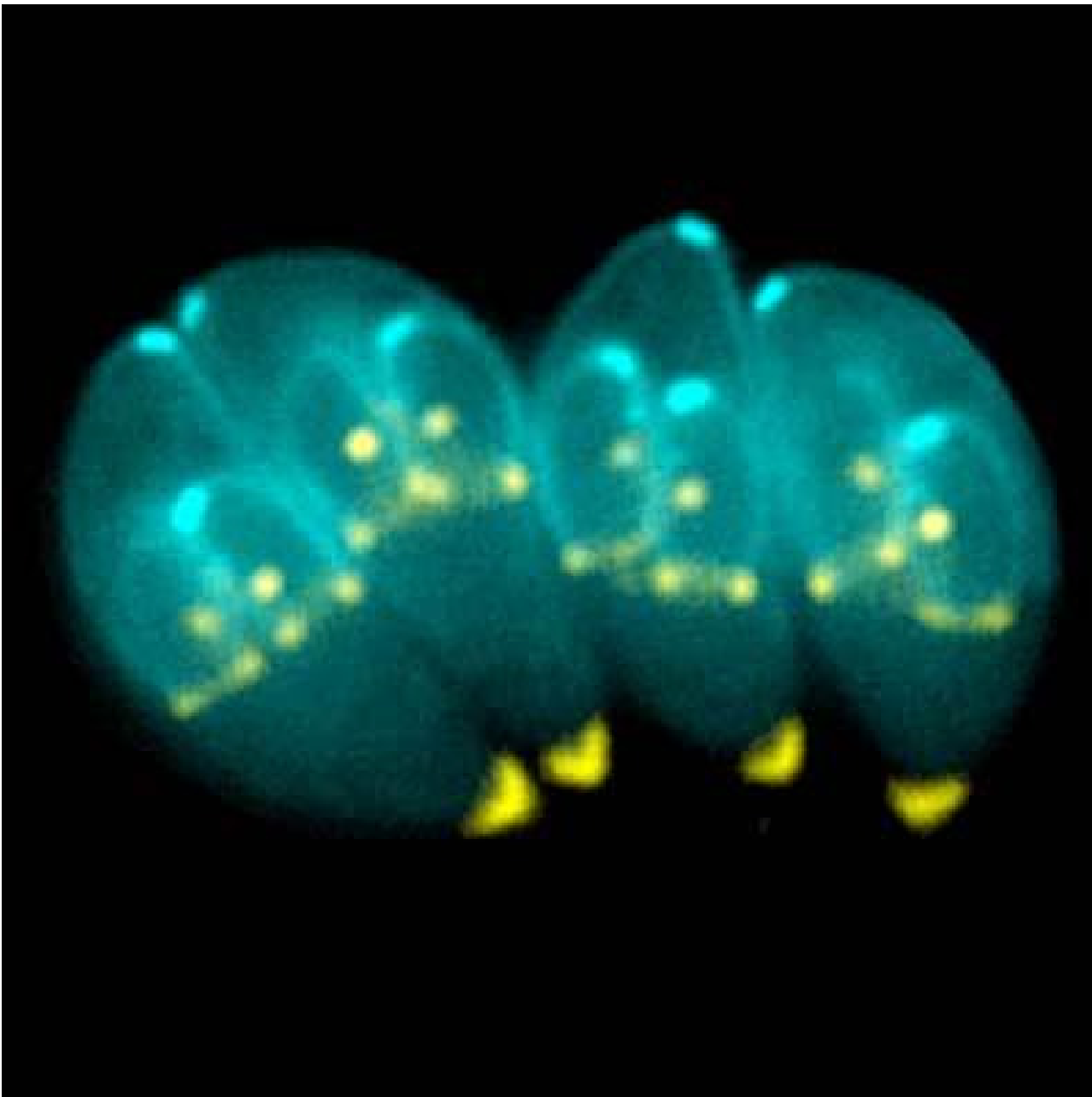
Fig. 143 *Toxoplasma gondii* parasites in Giemsa-stained smear. These parasites cause both mild and severe foetal infections leading to still births or congenital deformities involving the liver, spleen, choroid and retina. Adult infection is usually mild with generalized lymphadenopathy. *T. gondii* also causes severe infections in immunocompromised hosts. Serological tests (toxoplasma dye test) provide evidence of current and past infections. Pyremethamine, co-trimoxazole, sulphonamides and spiramycin have all been used for treatment with variable success. x2,800.



Representative example of indirect fluorescent assay (IFA) in a patient with a high titer of IgG antibody to *Toxoplasma gondii* (original magnification x400). Fixed tachyzoites are recognized by the patient's antibody (IgG), and a fluorescent-labeled anti-human antibody (IgG) is added next to identify the antibody by fluorescent microscopy.

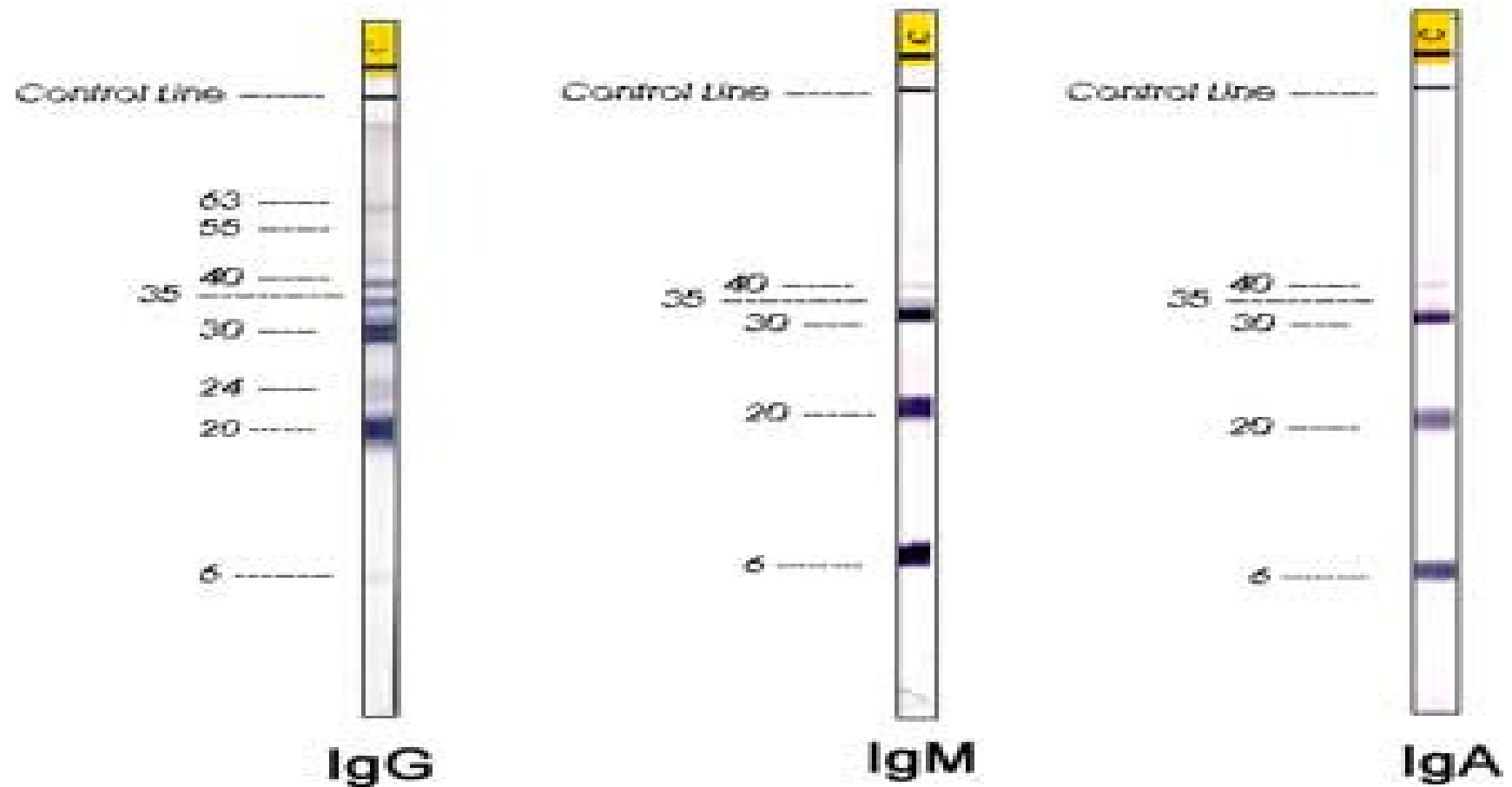
Source: Infect Med © 2002 Cliggott Publishing, Division of SCP Communications

If no antibody against the *T gondii* tachyzoite is seen, no fluorescence is present.
(Photomicrographs and IFA preparation by Parkland Memorial Health and Hospital System Humoral Immunology Laboratory.)



Credit: Image provided
by Ke Hu and John
Murray.
DOI:
[10.1371/journal.ppat.0
020020.g001](https://doi.org/10.1371/journal.ppat.020020.g001)

Congenitalis toxoplasmosis-szerológia konfirmálás: WB



Vektor útján terjedő Vér / szöveti Protozoonok

Flagellata/mastigophora

Trypanosoma spp.

T. brucei gambiense/rhodesiense → álomkór

T. cruzi → Chagas kór

Leishmania spp.

L. donovani → visceralis, Kala-azar

L. tropica → cutan, Aleppo fekély

L. brasiliensis → muco-cutan, Espundia

Sporozoa (apicomplexa)

Plasmodia spp.

Plasmodium malariae, P. vivax, P. ovale, P. falciparum

MALARIA



Sporozoa/apicomplexa

Plasmodium spp.

vér és szöveti

Maria



Malaria történelem

Alphonse LAVERAN

Kína: 1700 i.e.

Europa: 500 i.e. Hippocrates

XIX–XX. Sz.: 4 Nobel – díj

Laveran 1880- ***Plasmodium***

Ross 1897- ***Anopheles*** vektor

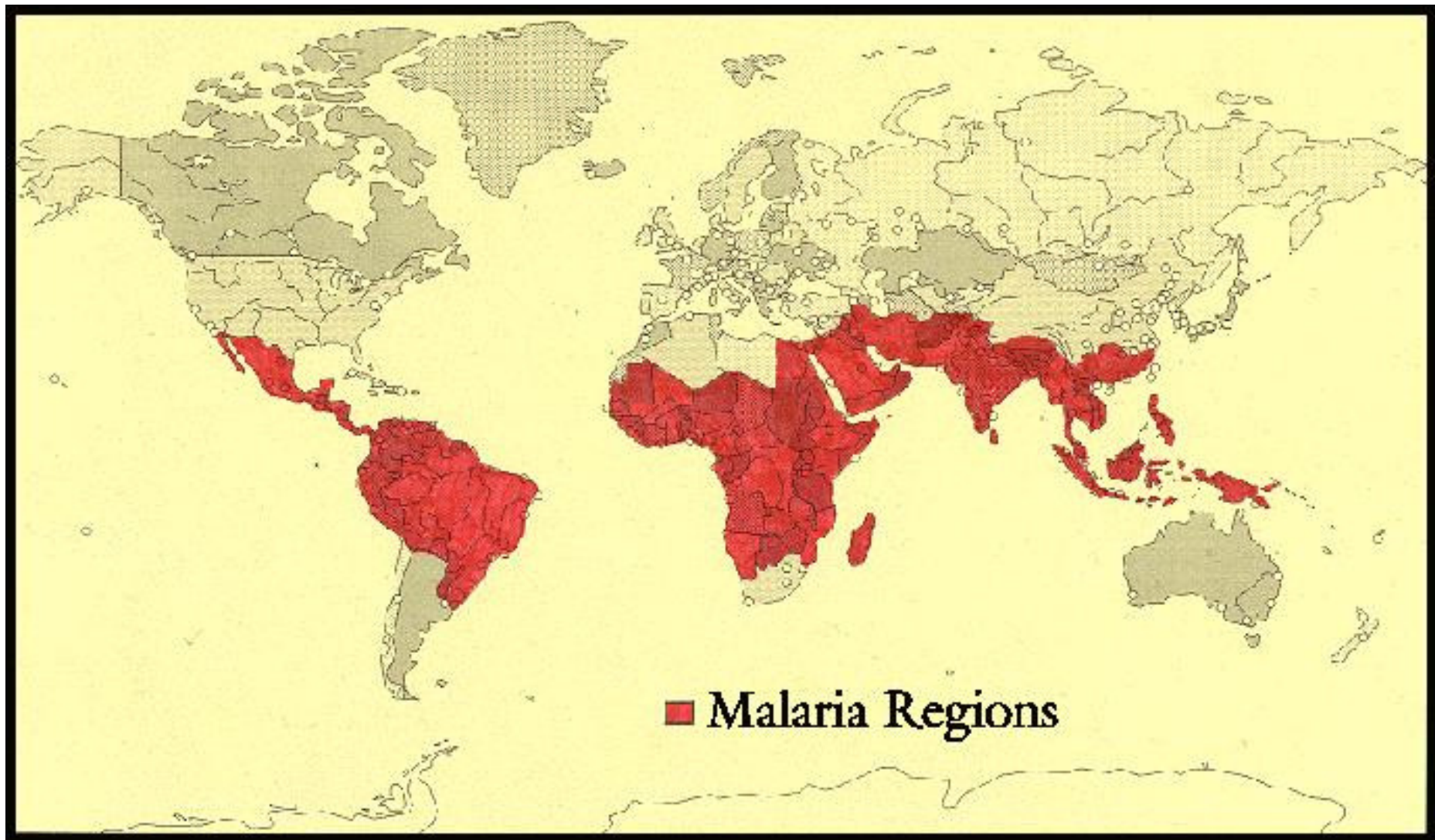
Wagner-Jauregg 1927-neurosyphilis **malaria Th**

Müller 1939- **DDT** rovarirtó

Európa és É – Amerika endémiás terület volt, **1960-as évekig**



Ronald Ross



Malaria – vektor térkép

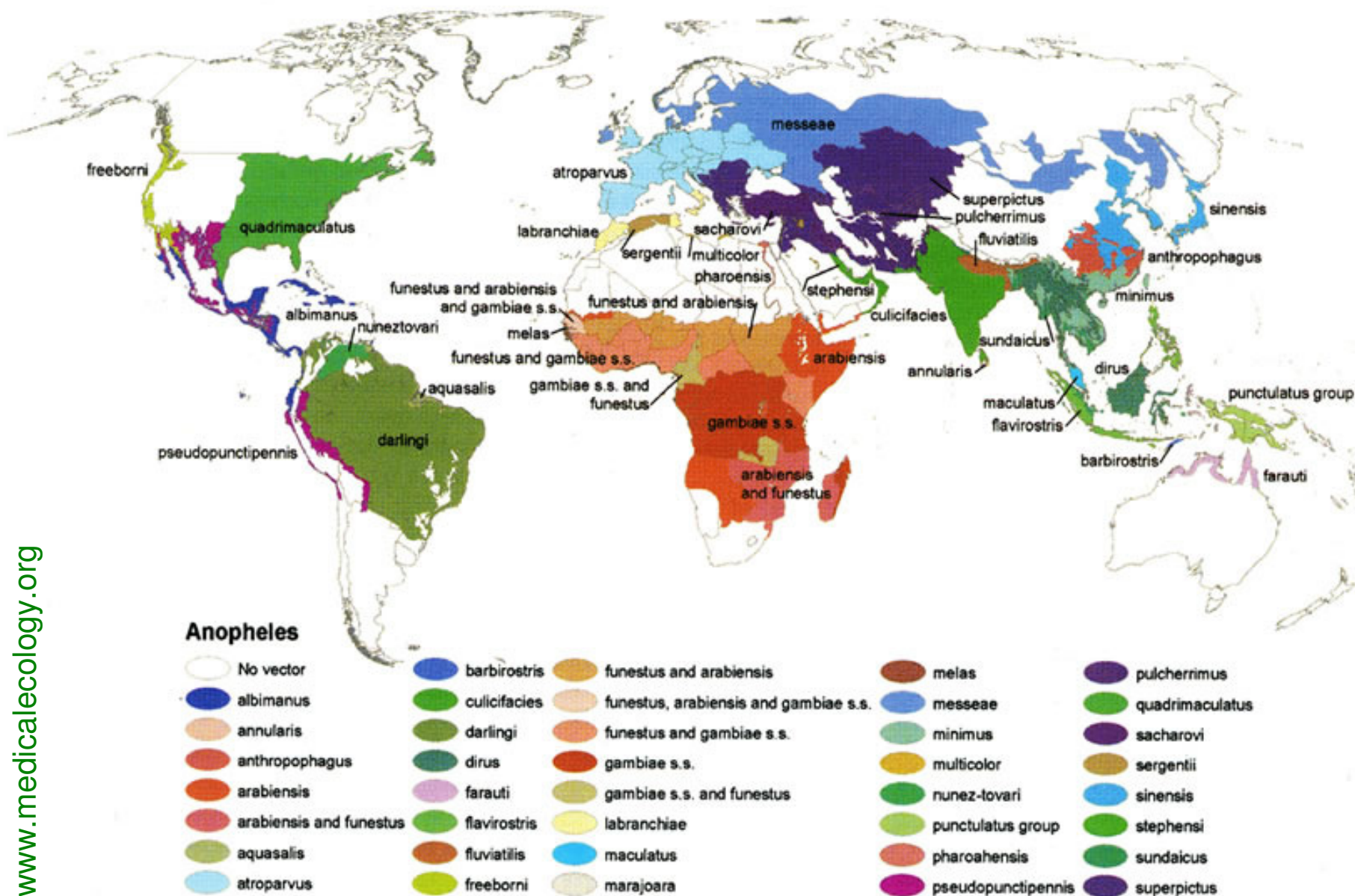


FIGURE 1. Global distribution (Robinson projection) of dominant or potentially important malaria vectors.

Plasmodium spp.

170 ismert faj
4 human pathogen

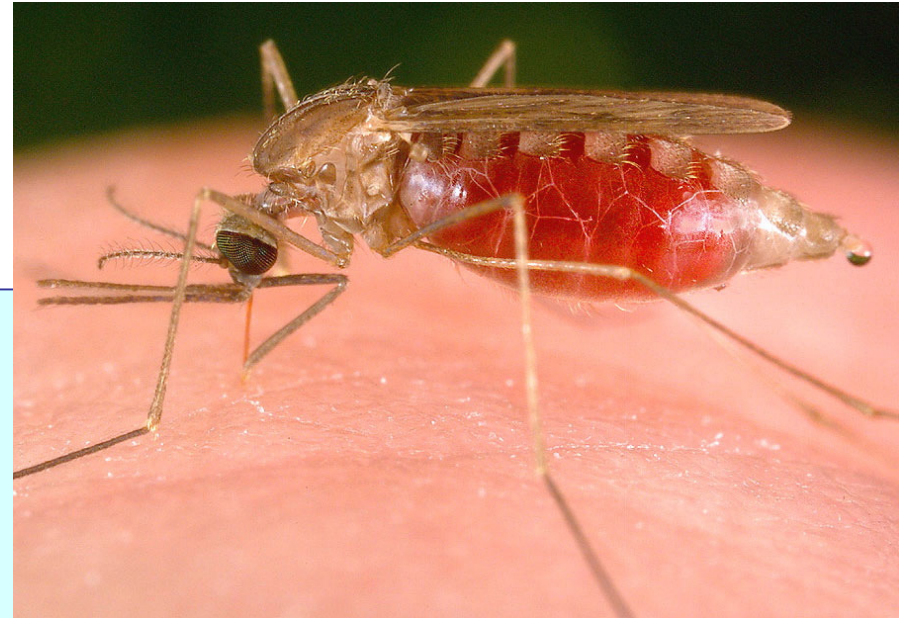
Transmissio:
vektor - 40 *Anopheles* faj

Komplex, 2 gazdás fejlődési ciklus: sporogonia, schizogonia

human célsejtek:
hepatocyták, vvt-k

500 millió fertőzött, 205 millió eset

2,7 millió haláleset/év; 1 millió gyermek – minden fél percben 1

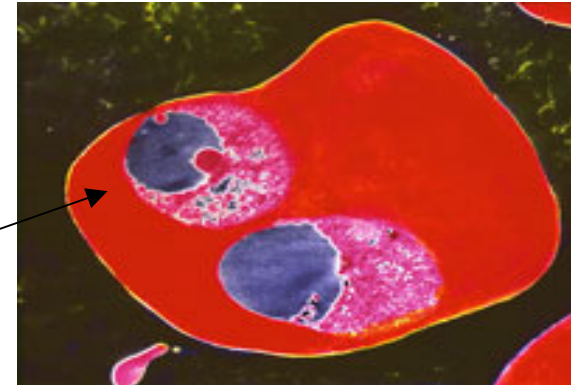


„Femme fatale”

Human pathogen Plasmodium fajok

- ***P. malariae***
(malaria quartana)
- ***P. ovale***
- ***P. vivax***
(tertiana, relapsusok,
máj hypnozoit
forma!)
- ***P. falciparum***
(malignus malaria)

Morphologia
„pici” elfér a
vvt-ben
1 – 2 µm



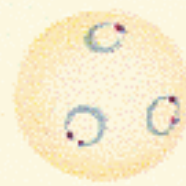
P. falciparum



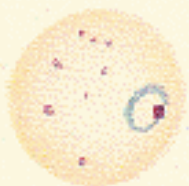
marginal form



ring form



double dotted rings



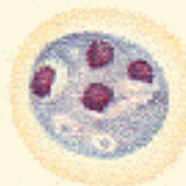
ring form



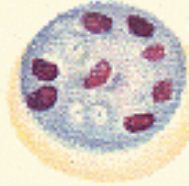
young trophozoite



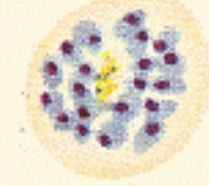
trophozoite



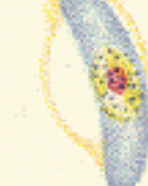
early schizont



schizont



mature schizont

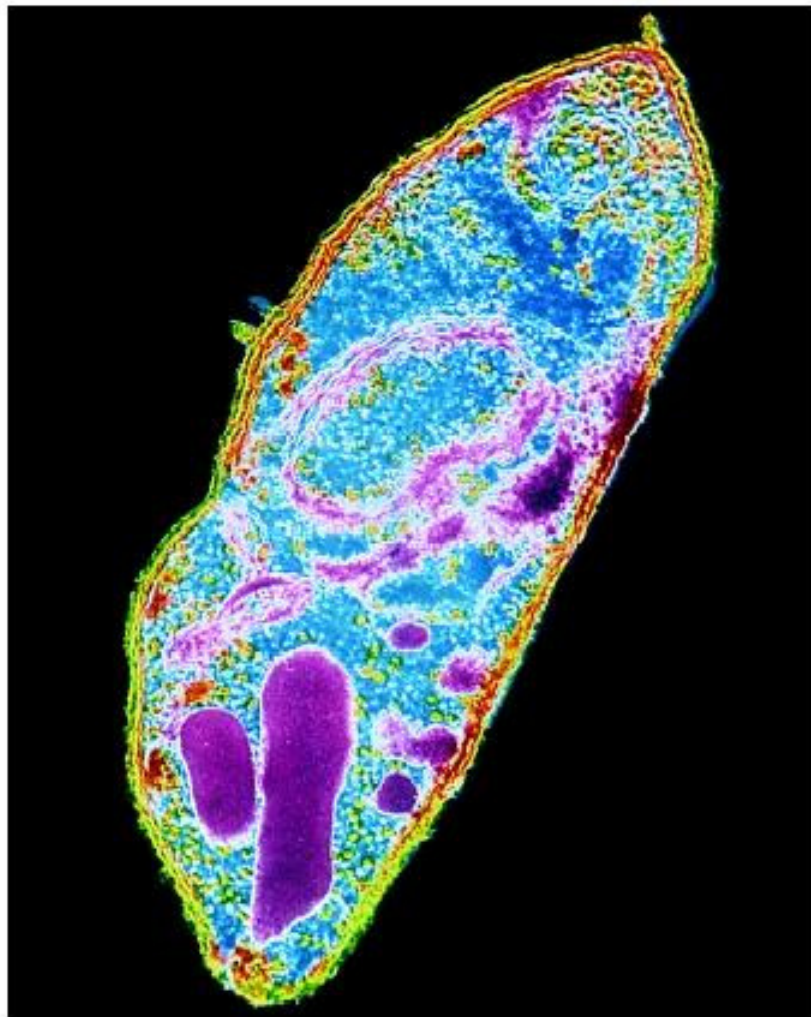


female gametocyte



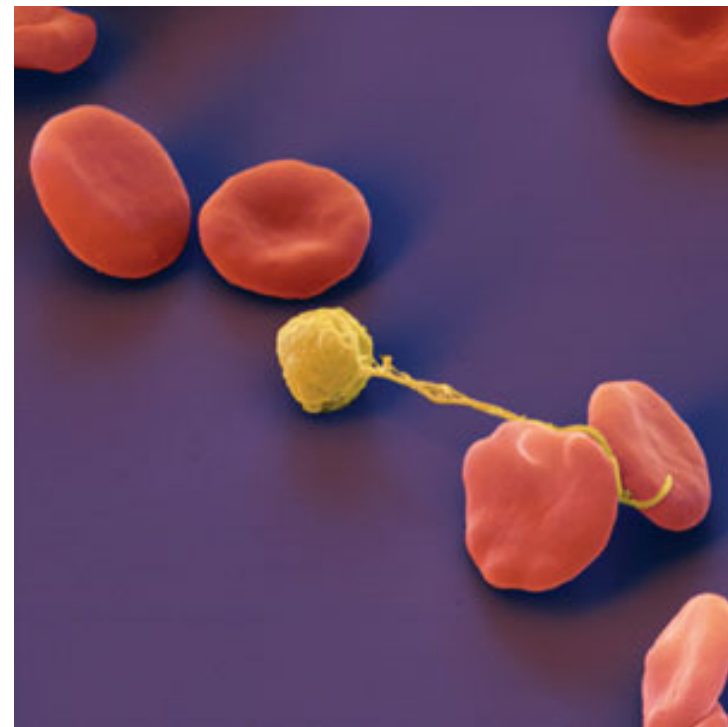
male gametocyte

An electron micrograph of *Plasmodium falciparum*



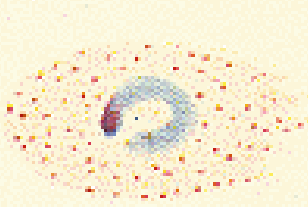
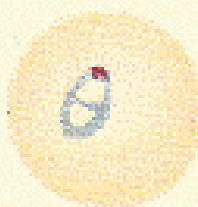
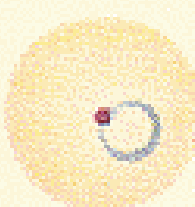
www.biologyreference.com/.../biol_04_img0382.jpg

www.jhsph.edu/bin/n/v/22malaria.jpg



Male gametocyte of
Plasmodium falciparum
(yellow) surrounded by
red blood cells

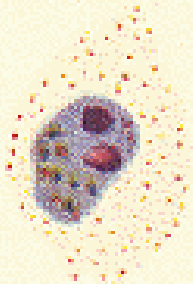
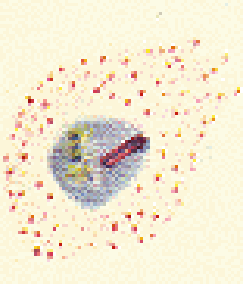
P. ovale



young ring

older ring

comet form

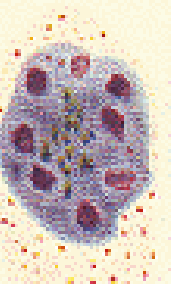


trophozoite

trophozoite



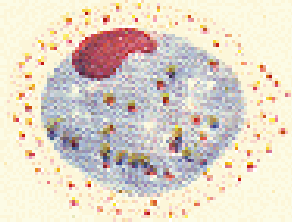
young schizont



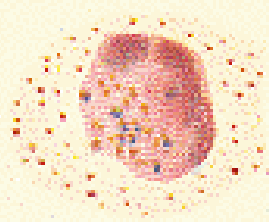
schizont



mature schizont

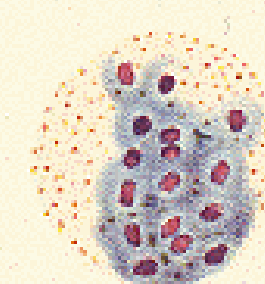
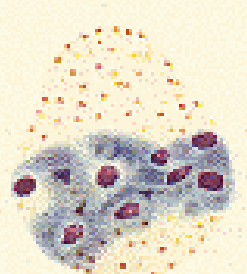
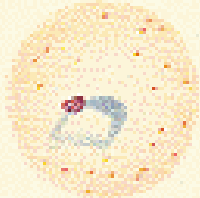
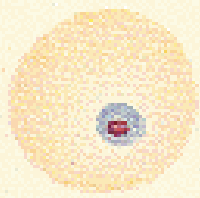


female gametocyte



male gametocyte

P. vivax

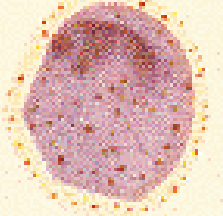
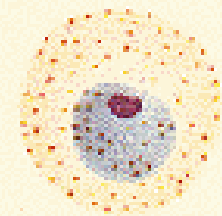


trophozoite

early schizont

schizont

mature schizont

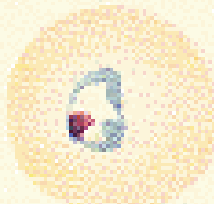


developing gametocyte

female gametocyte

male gametocyte

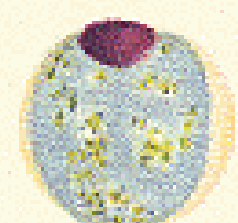
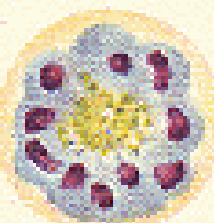
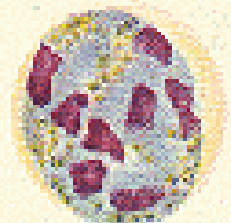
P. malariae



ring form

early band form

band form



early schizont

mature schizont

female gametocyte

male gametocyte

Malaria tertiana *P. vivax*

Typical temperature chart of
P. vivax infection showing tertian
periodicity related to the
maturation and rupture of
erythrocytic schizonts

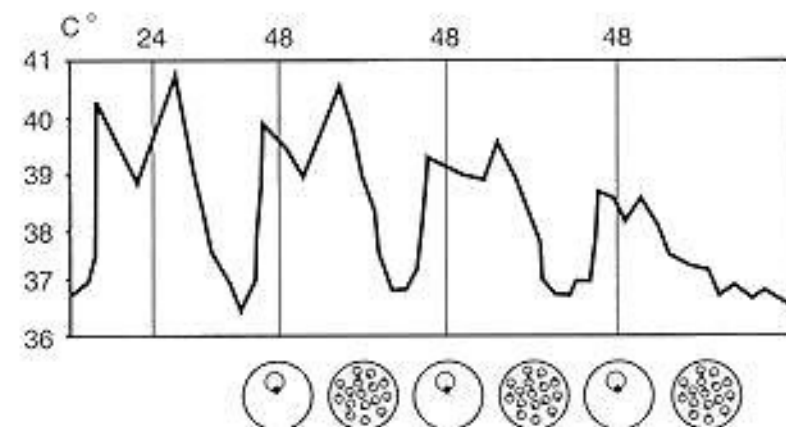
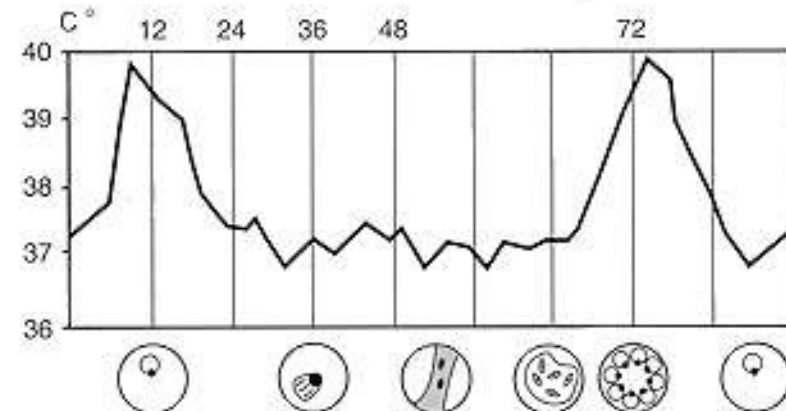
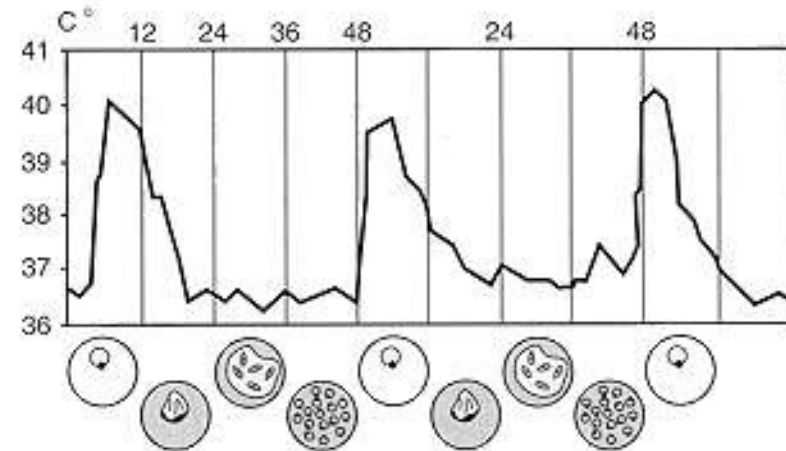
FIGURE 83-1 Typical temperature charts of malarial infections.

Malaria quartana *P. malariae*

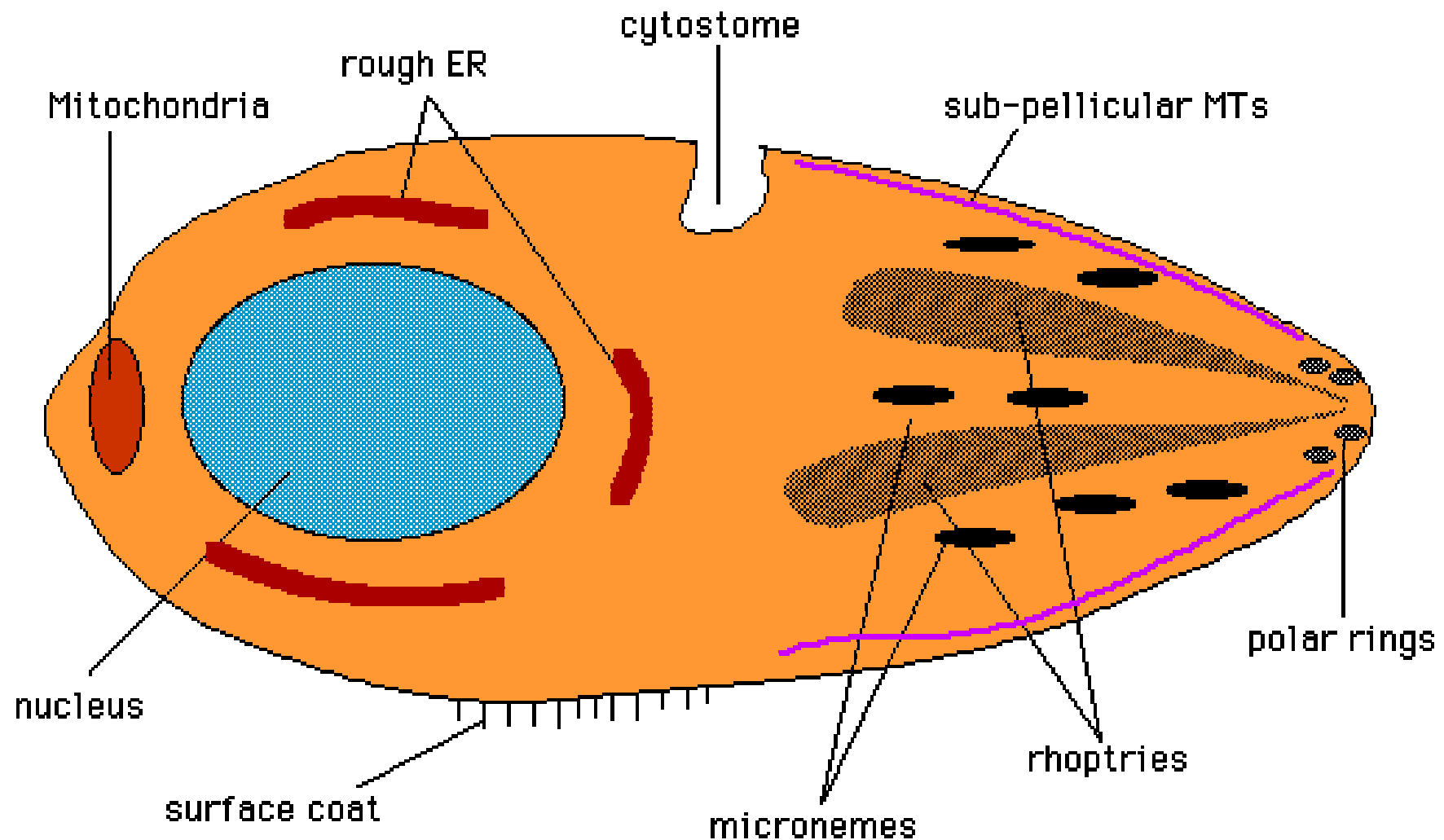
Typical temperature chart of
P. malariae infection showing
quartan periodicity

Szabálytalan Malaria tertiana Malignus malaria *P. falciparum*

Typical temperature chart of
P. falciparum infection showing
irregular tertian periodicity and
the influence of successful
treatment

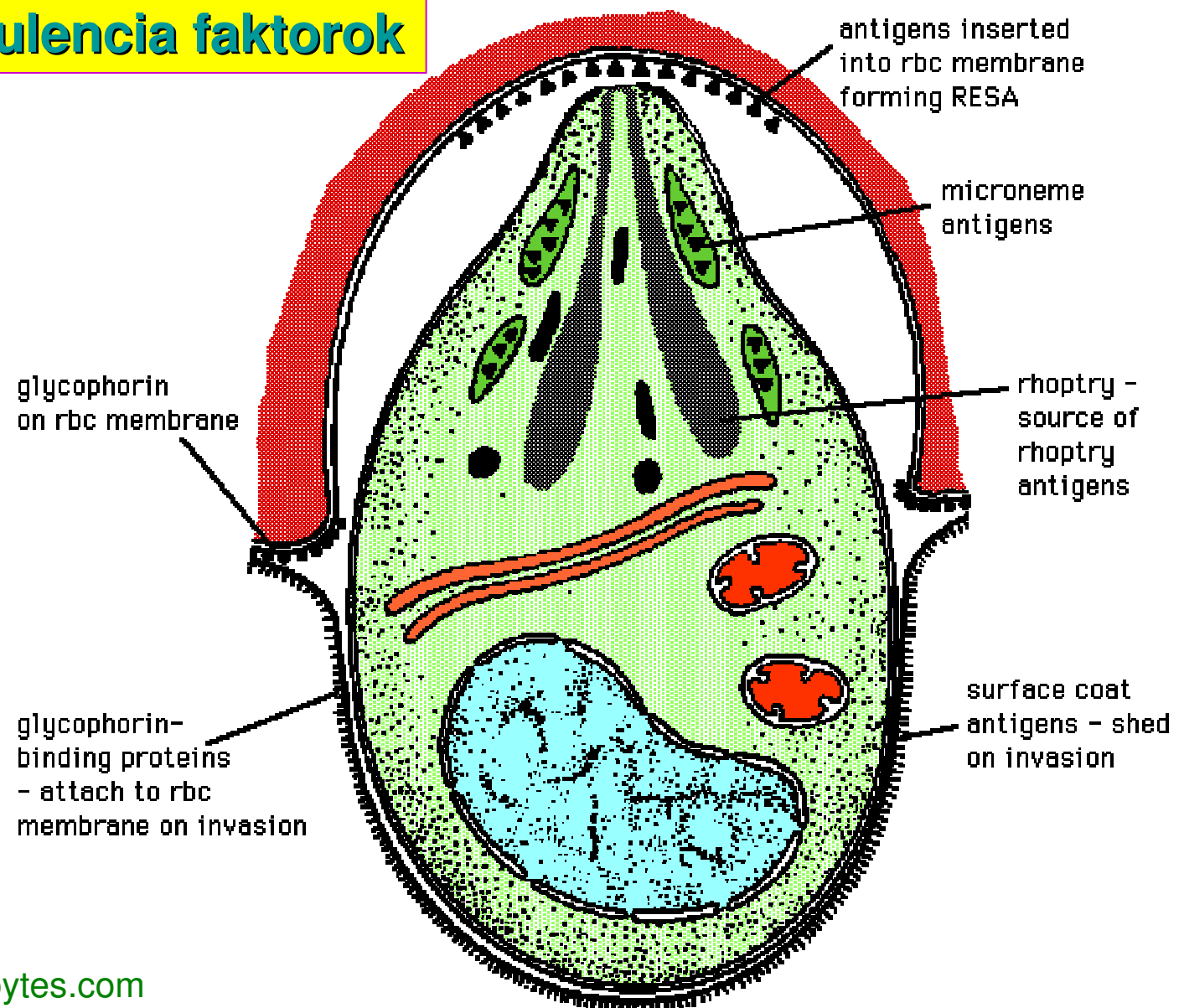


MALARIA MEROZOITE

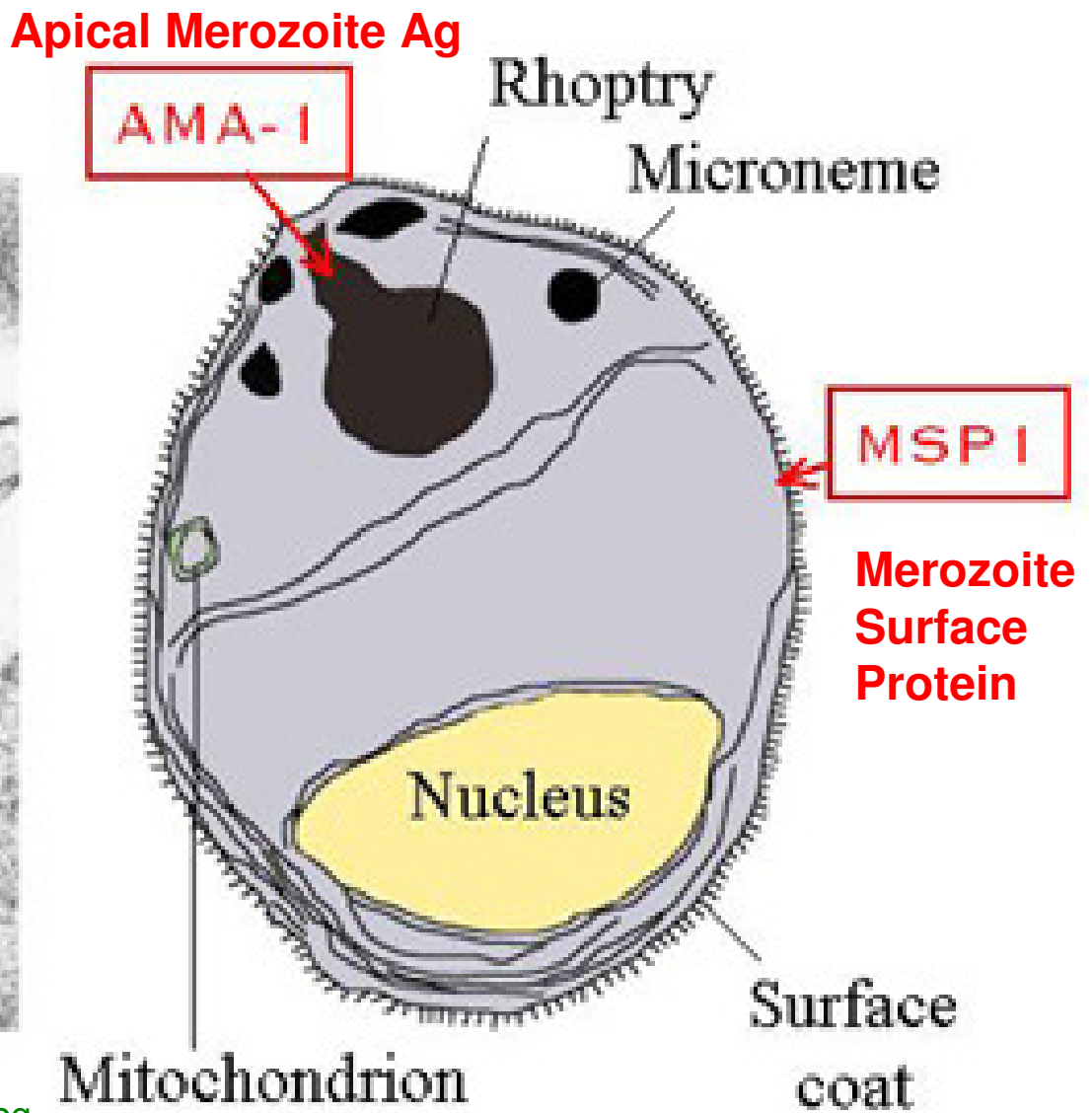
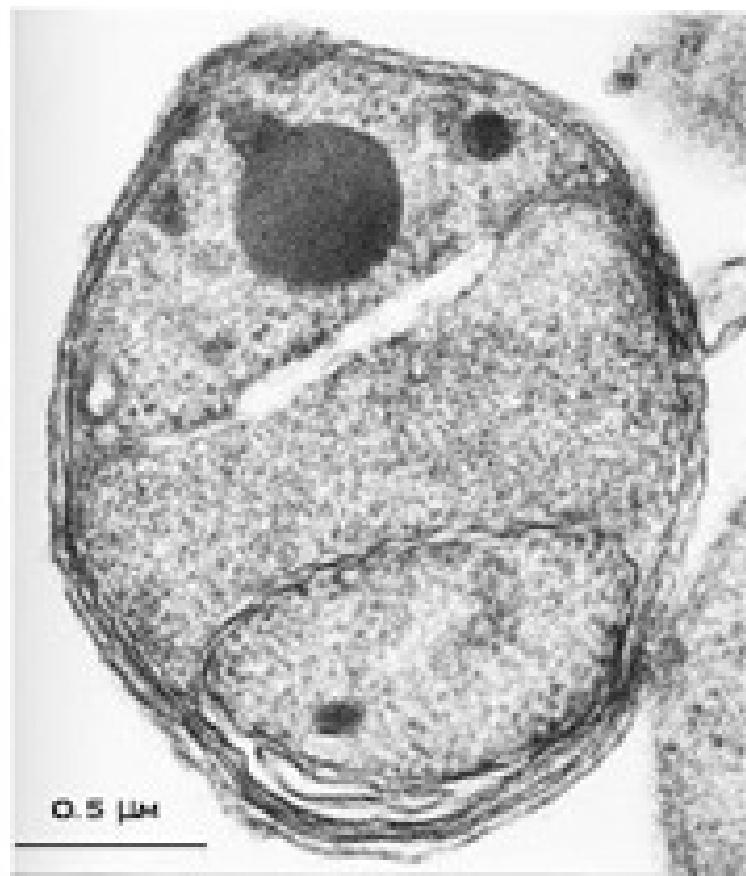


Plasmodium sp. - antigens:

Antigének, Virulencia faktorok

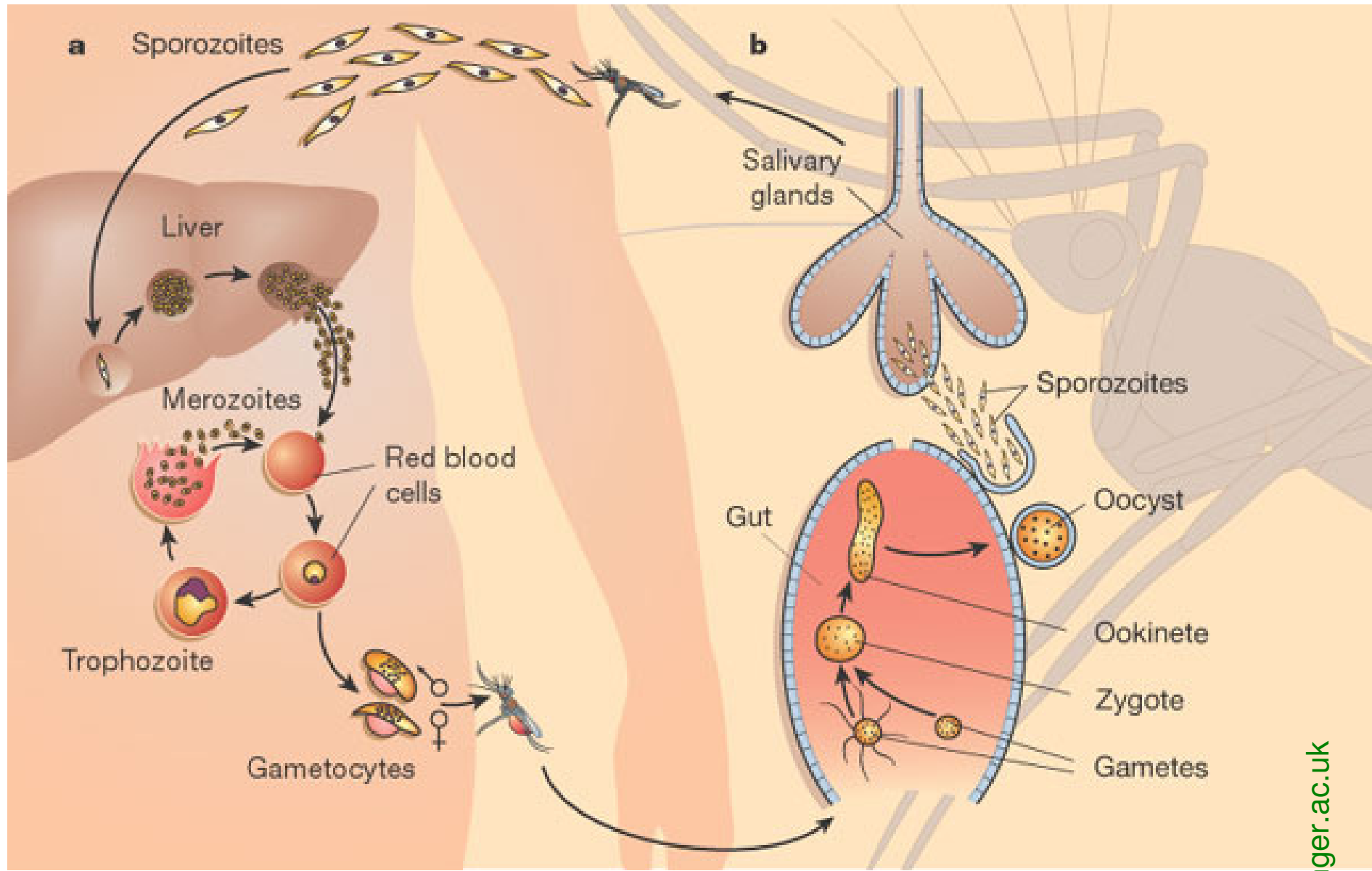


Merozoit felszíni antigenek - *Plasmodium*



www.pasteur.fr/.../merozoite-calque+photo.jpg

(Electron micrograph kindly provided by Dr. Peter David, Unité d'Immunologie Moléculaire des Parasites, I.P.)



***Plasmodium* életciklus (*Anopheles*, ember)
aszexualis: schizogonia, szexualis: sporogonia**

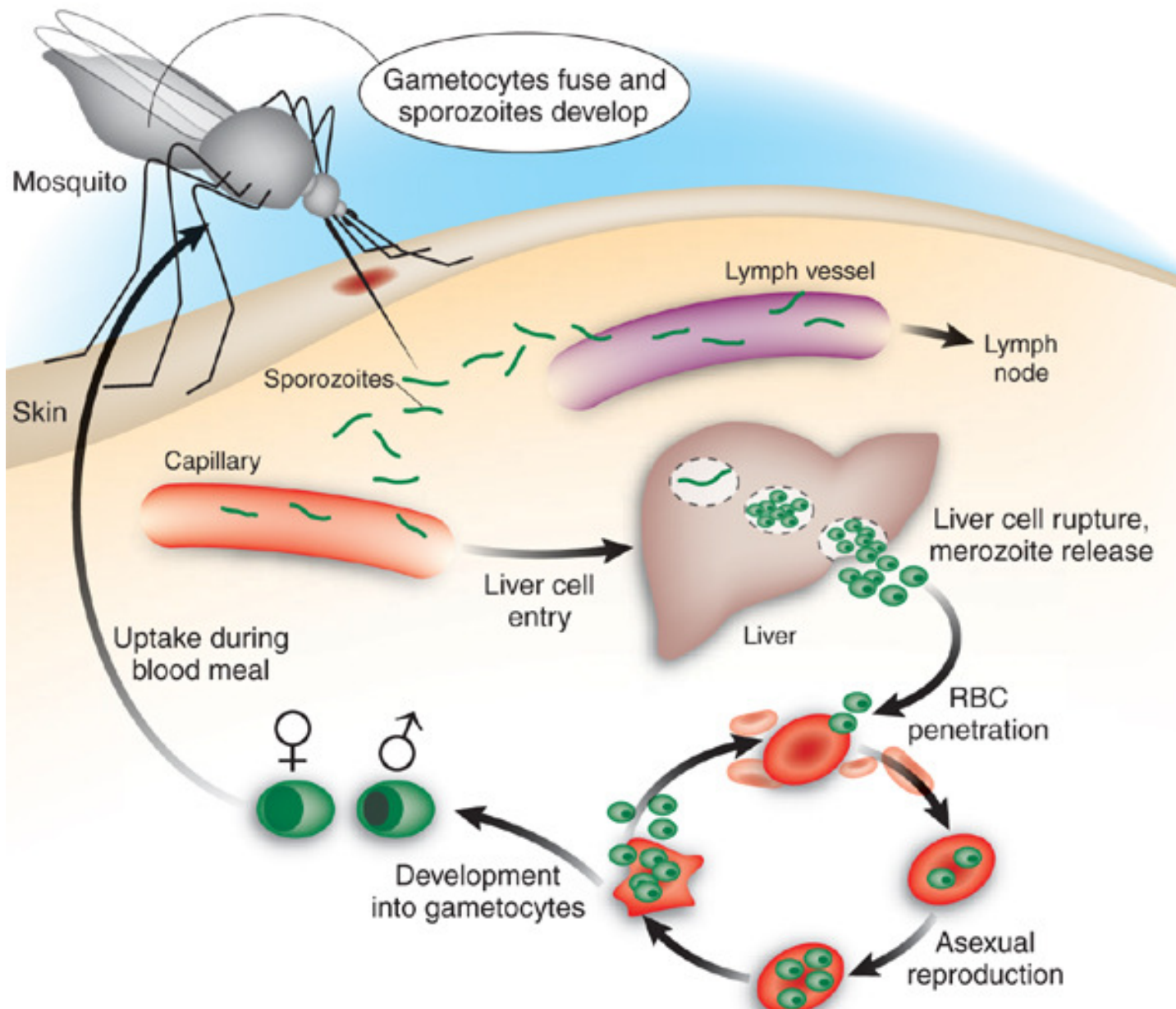
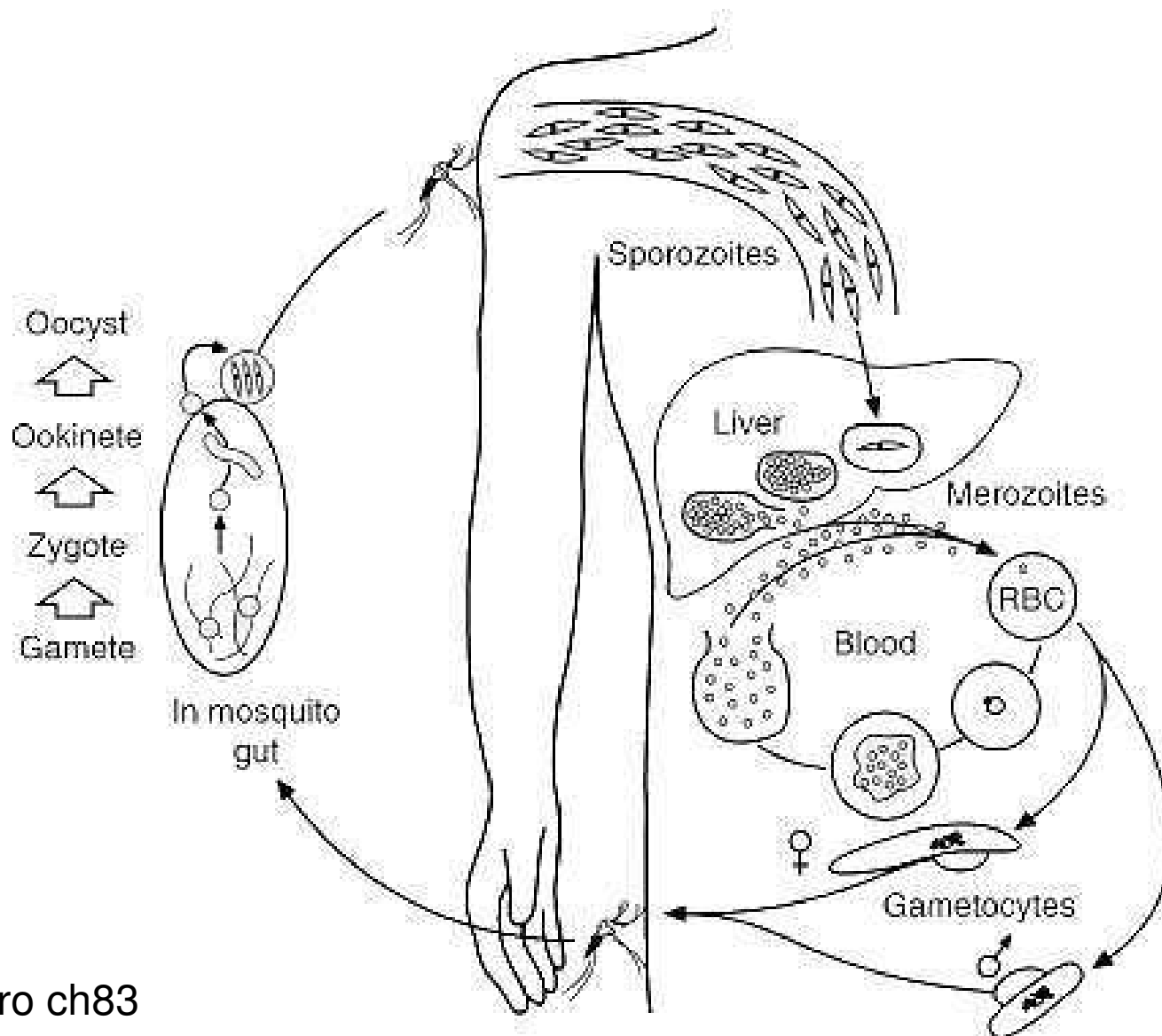
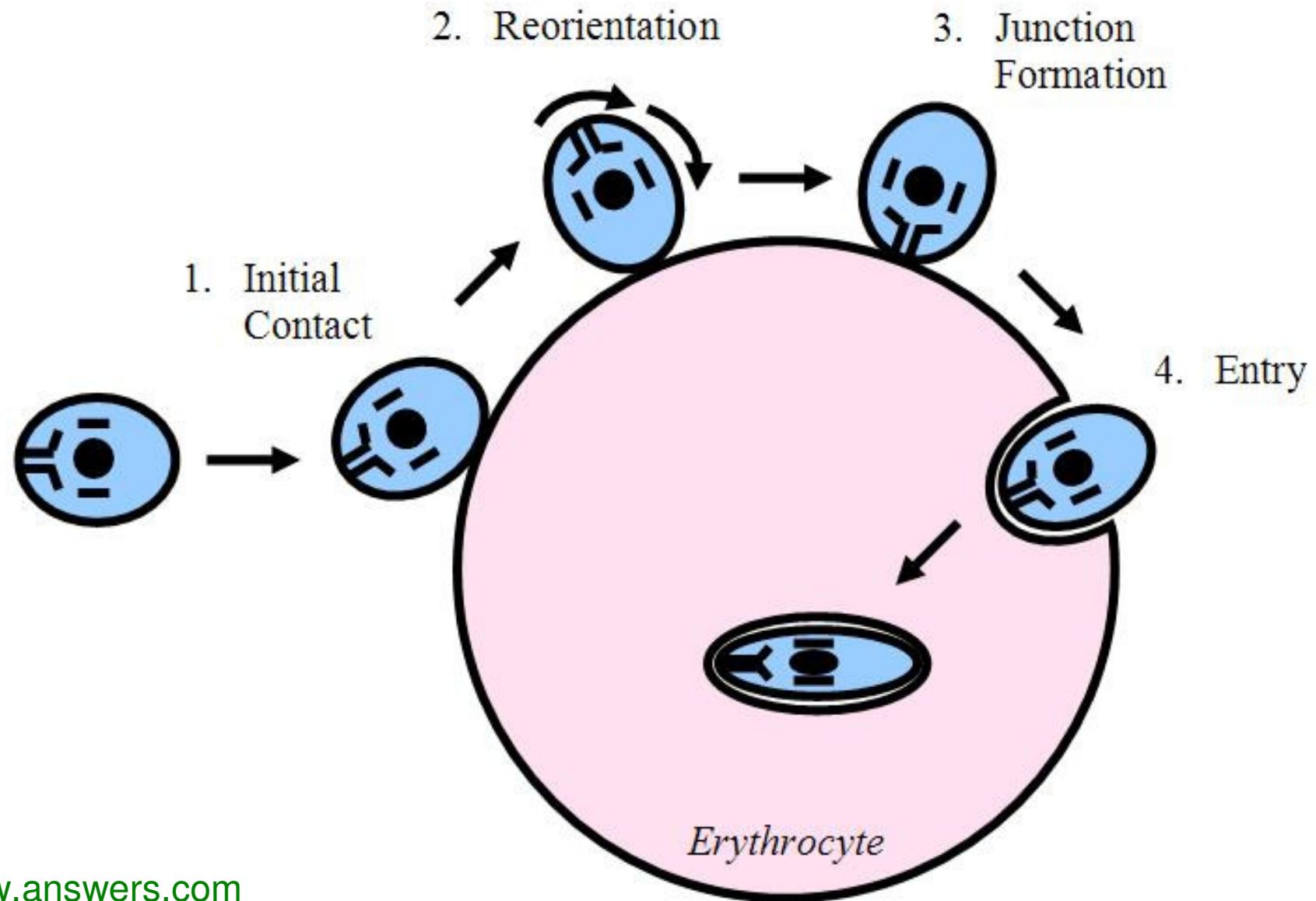


FIGURE 83-3 Life cycle of malaria parasite.



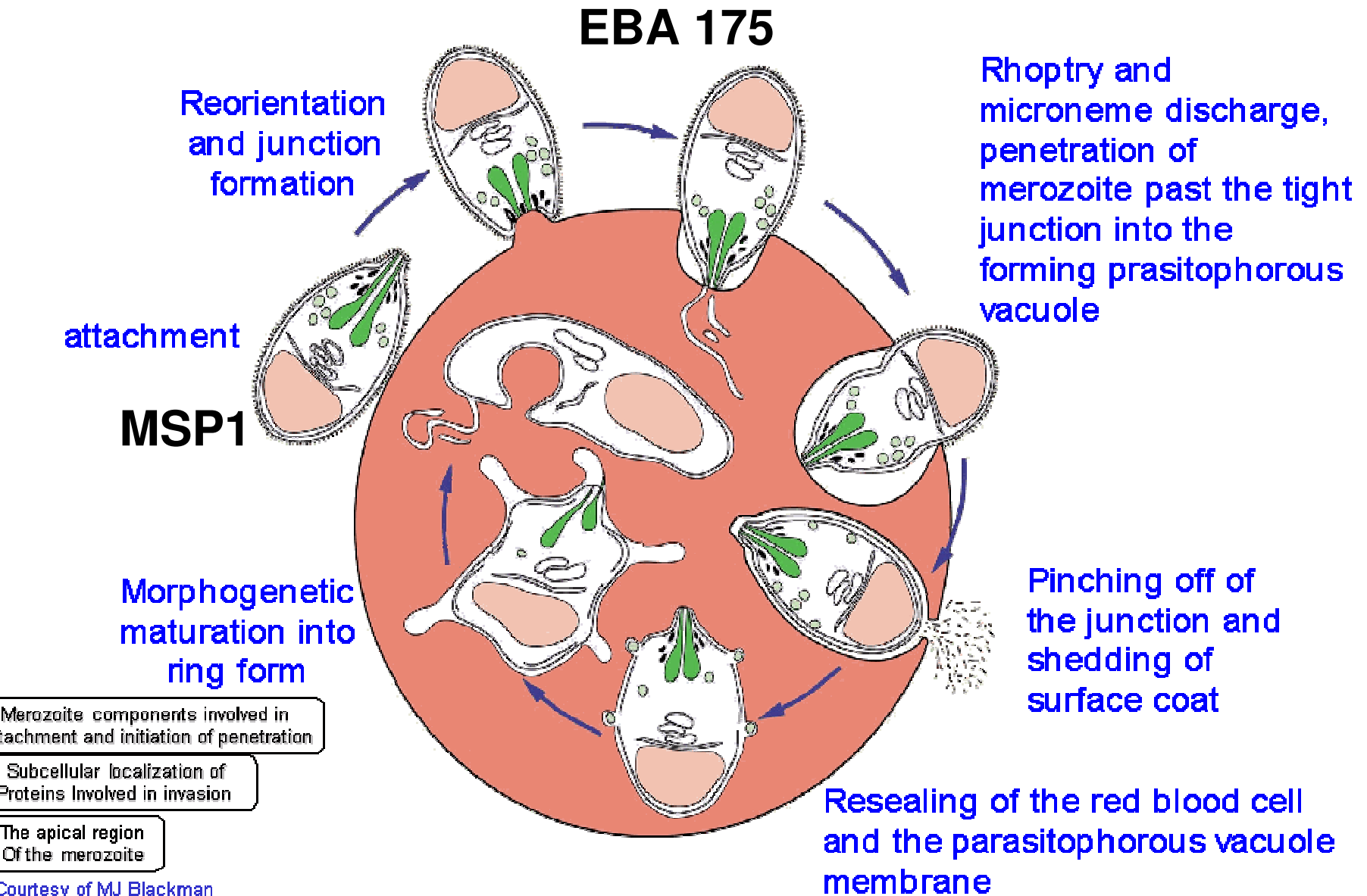
Medmicro ch83

Plasmodium falciparum behatolás a vvt-be – egyszerűsített



Plasmodium - gazdasejt interakció (Duffy Ag, glycophorin- szílsav)

Invasion of erythrocyte by the merozoite

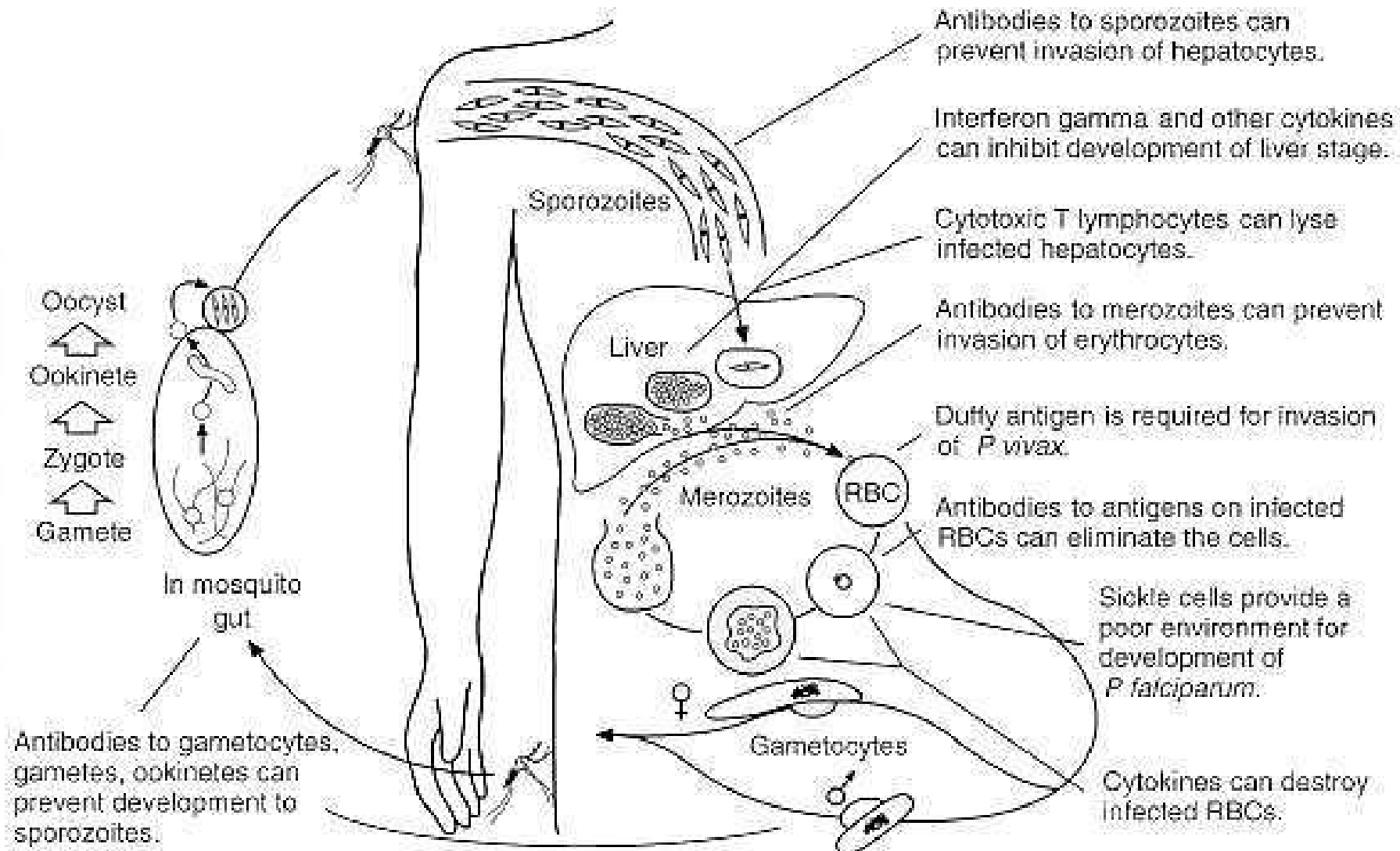


<http://www.iwf.de/iwf/do/mkat/details.aspx?GUID=444C4755494400B9D8364493893800DBCC299C0301030061F44C867100000000&Action=Quicklink&Search=Medizin;%20Innere%20Medizin;%20Infektionskrankheiten;&SearchIn=Klassifikation&Offset=10>

Malaria, eng, 10 min

<http://www.iwf.de/iwf/do/mkat/details.aspx?GUID=444C47554944001AEB9A3F65AA31002287A1920301030061F44C863003000000&Action=Quicklink&Search=medicine;%20internal%20medicine;%20infectious%20diseases;&SearchIn=Klassifikation>

FIGURE 83-5 Host defense against malaria.



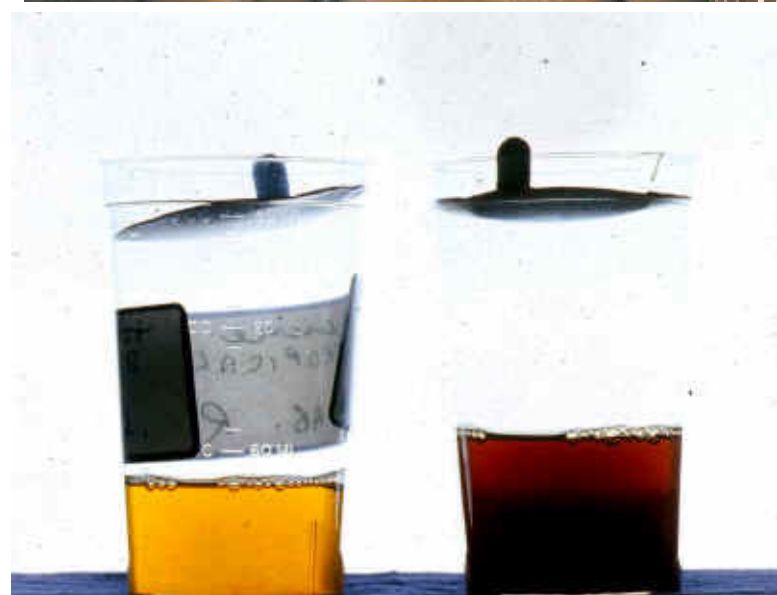
Malaria - kórkép, a betegség lefolyása

Incubatio: 7–40 nap

Influenza szerű bevezető tünetek
anaemia, sárgaság (icterus),
hepatosplenomegalia, hidegrázás,
láz (3–7 óra), fejfájás, profuse
izzadás, alvás 2–4 óra

szövődmények:

"blackwater fever", feketevízláz
veseelégtelenség,
cerebralis malaria



Cerebralis malaria



coma, görcsök, halál

Cerebralis malaria - pathogenesis

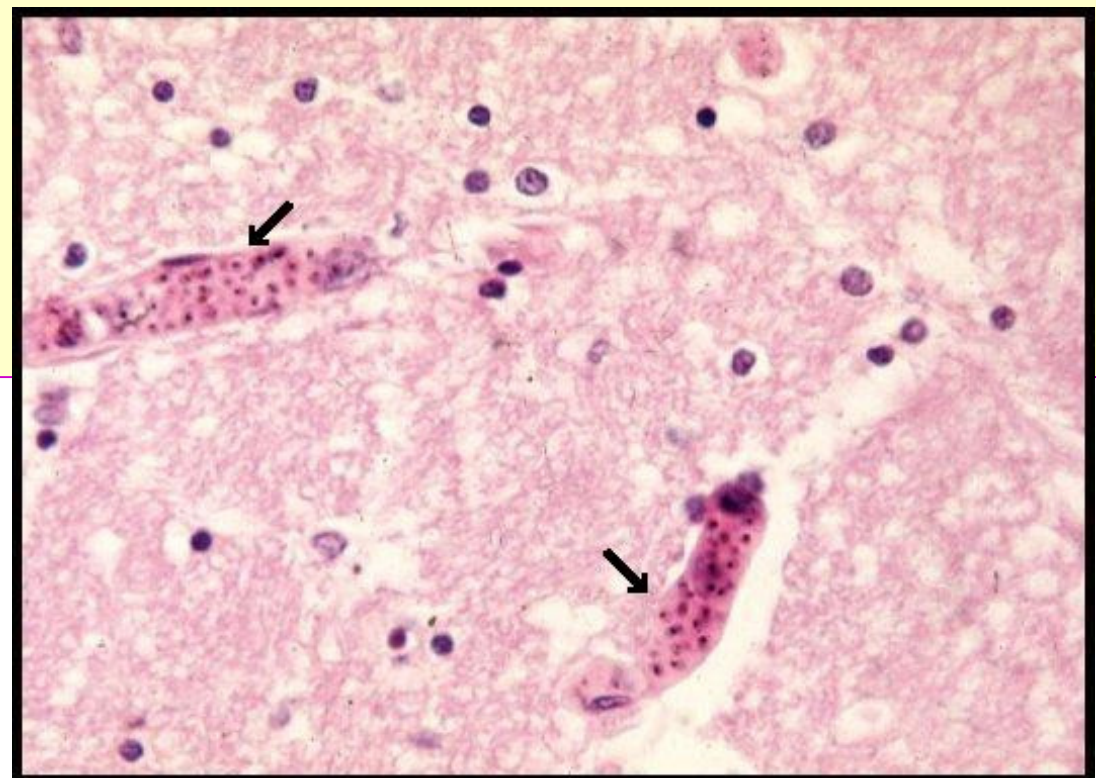
P. falciparum

Minden életkorú és nagyszámú vvt fertőzött - 50 % !

Ragacsossá válnak a vvt-k

Adhesio a vascularis endothel sejtekhez (occlusio, elzáródás)

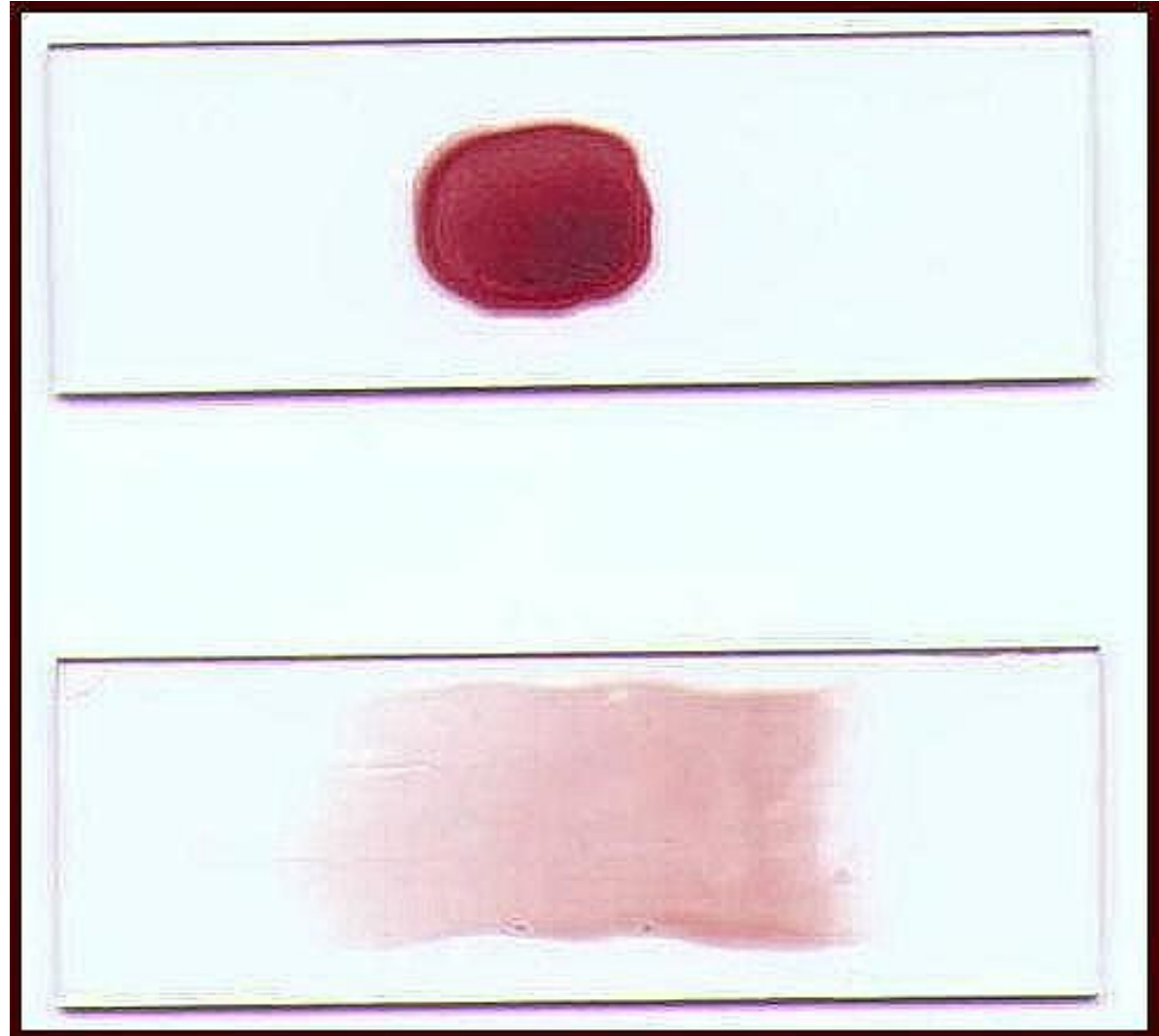
Macrophag stimulatio
↑permeability
(vasodilatatio)



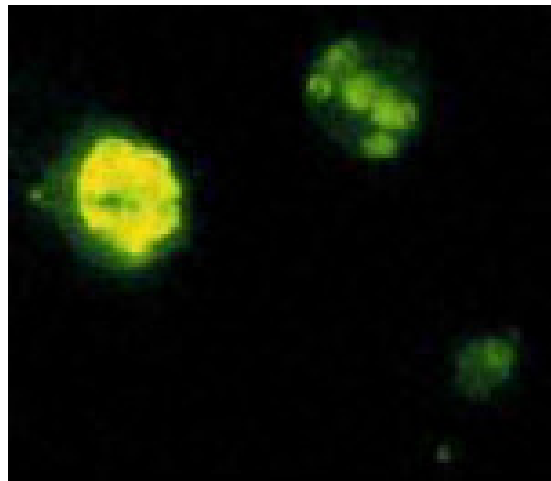
Diagnosis

Vérkenet!
0, 6, 12, 24 óránként

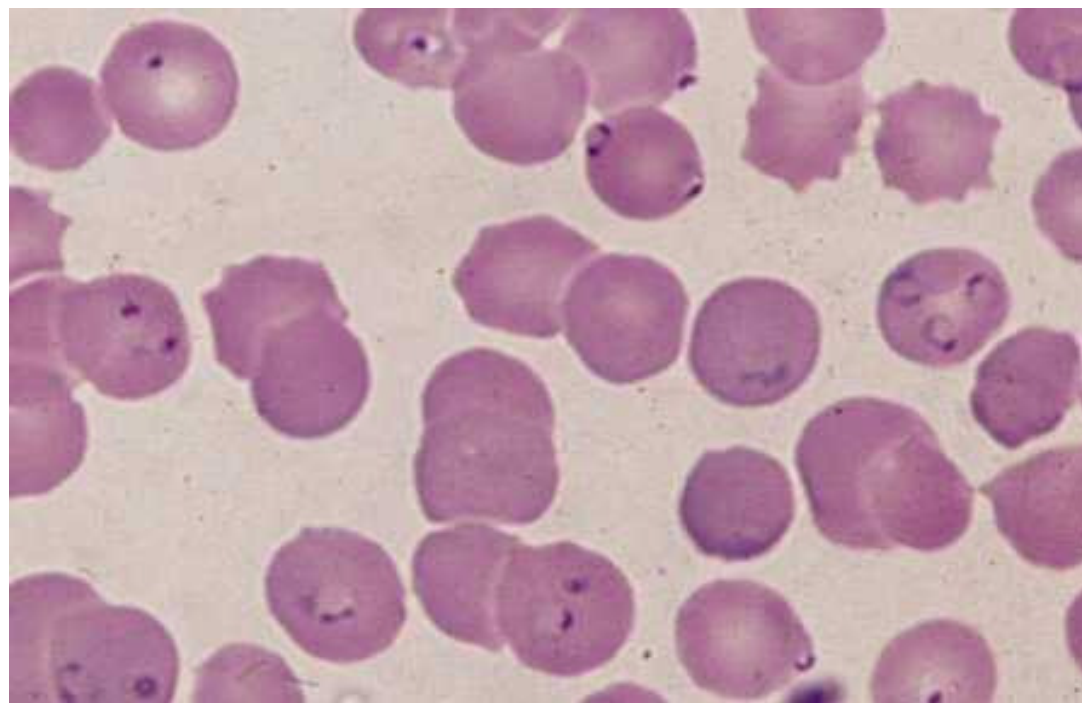
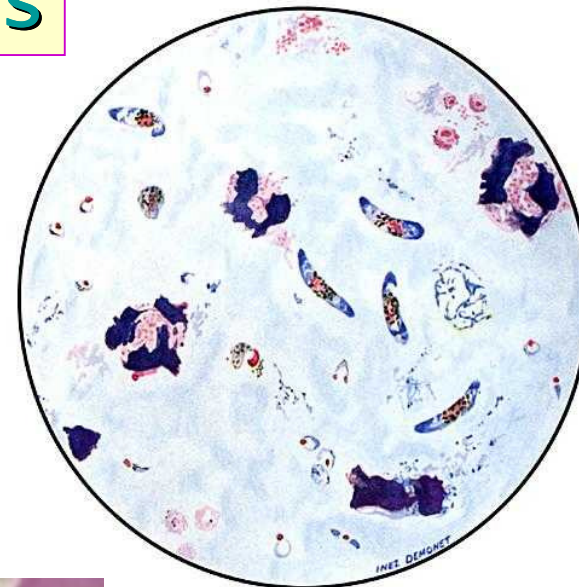
Vastagcsepp
vérkenet (vékonyfilm)
Giemsa- festés
(40 perc!)



Diagnosis

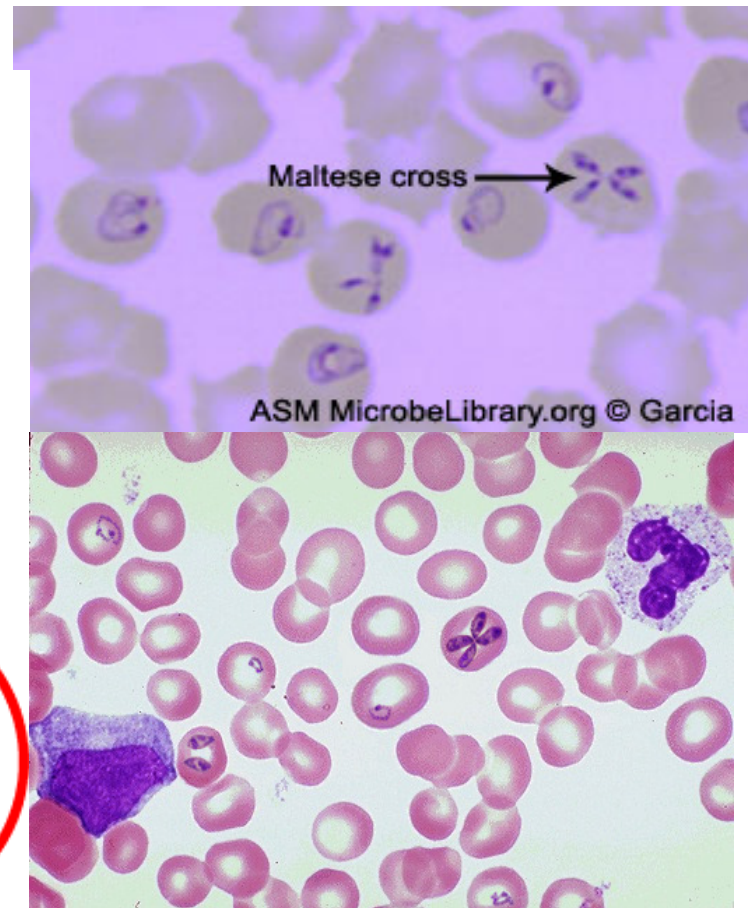
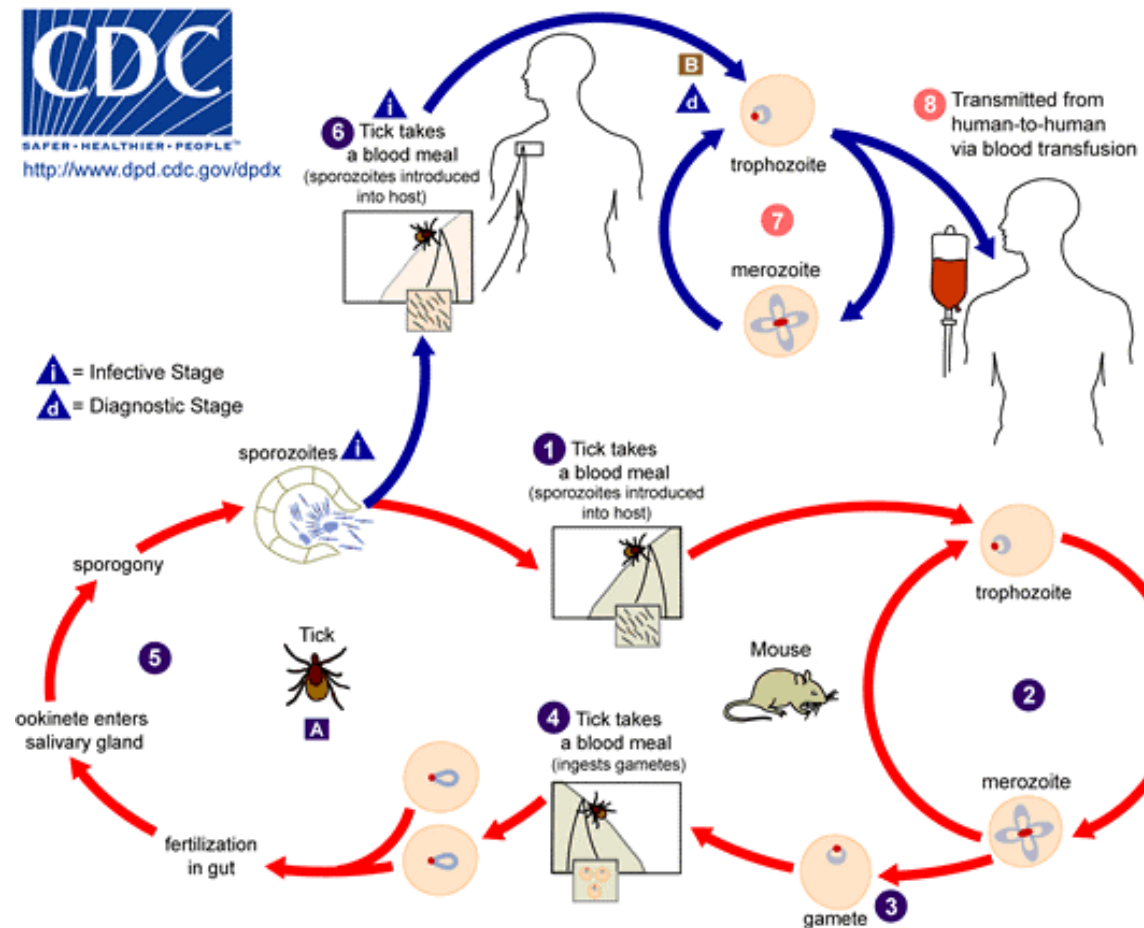


DIF



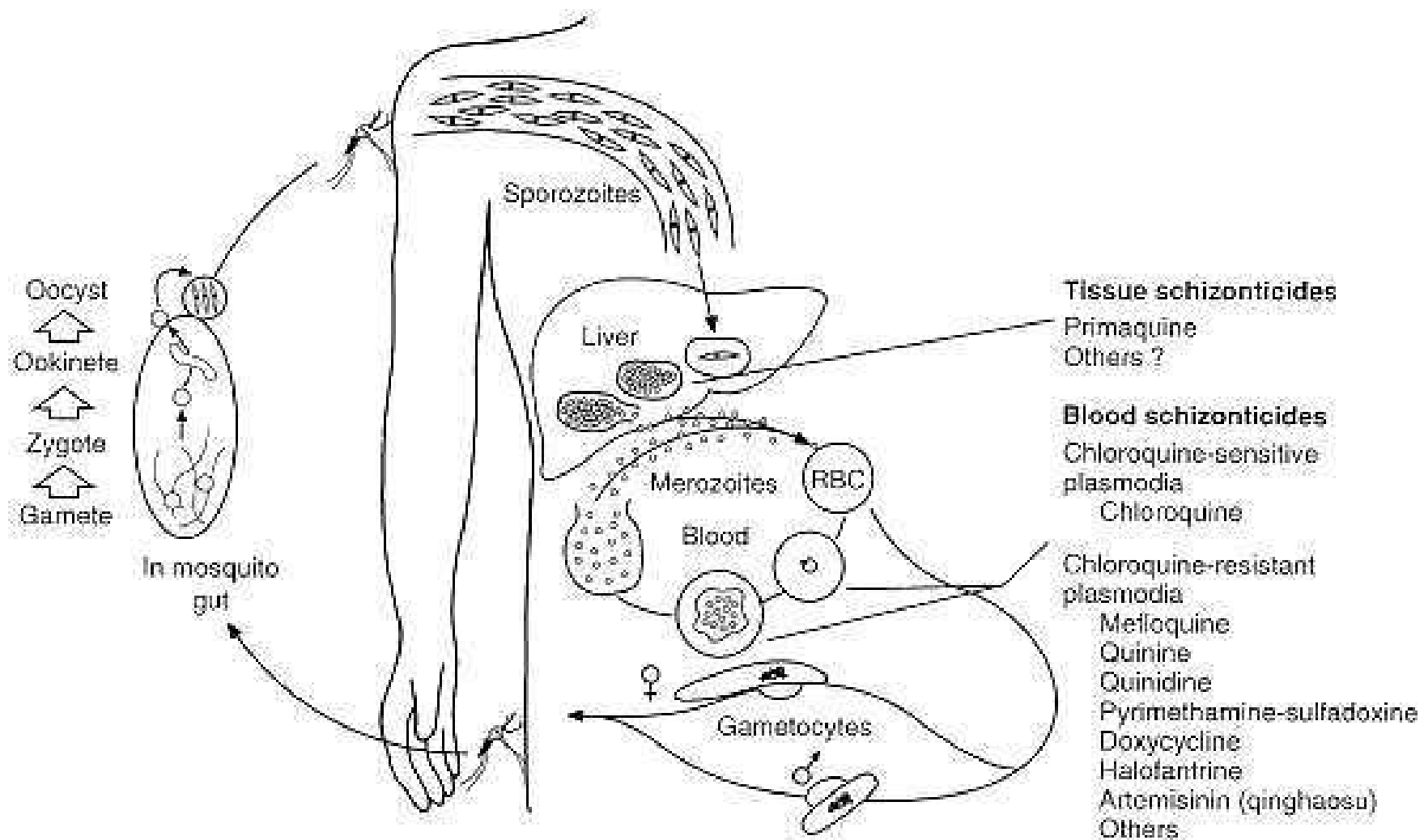
Differential Dg: **Babesia!**

Mérsékelt égöv, szezonális, immunkárosodottak (risk)



Therapia

FIGURE 83-7 Treatment of acute malaria.



Malaria - a kezelés alapelvei

Kemoprofilaxis

Antimalariás szerek kombinációja

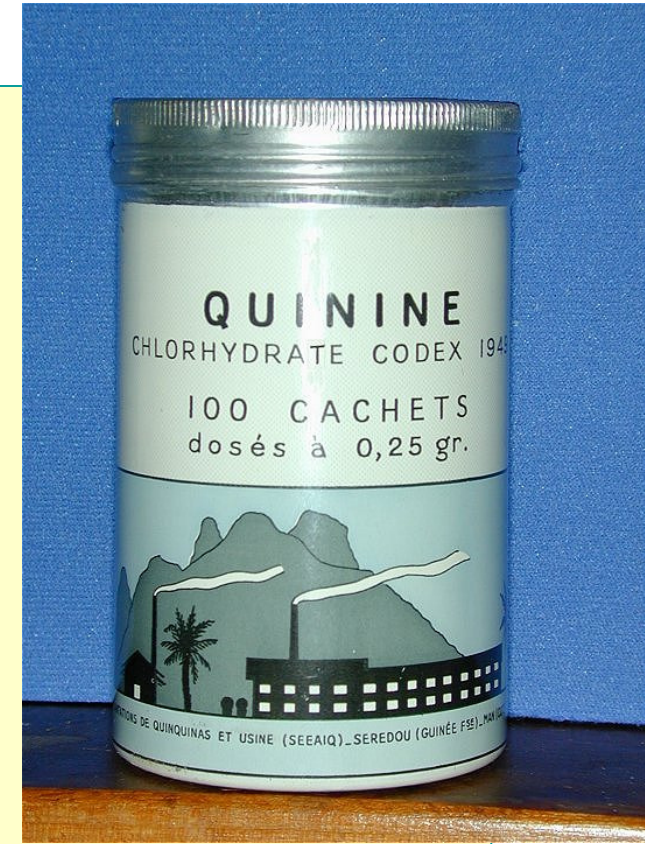
Species – függő

(chloroquine R vagy S, vagy MDR!)

beteg status (oralis vagy iv), életkor

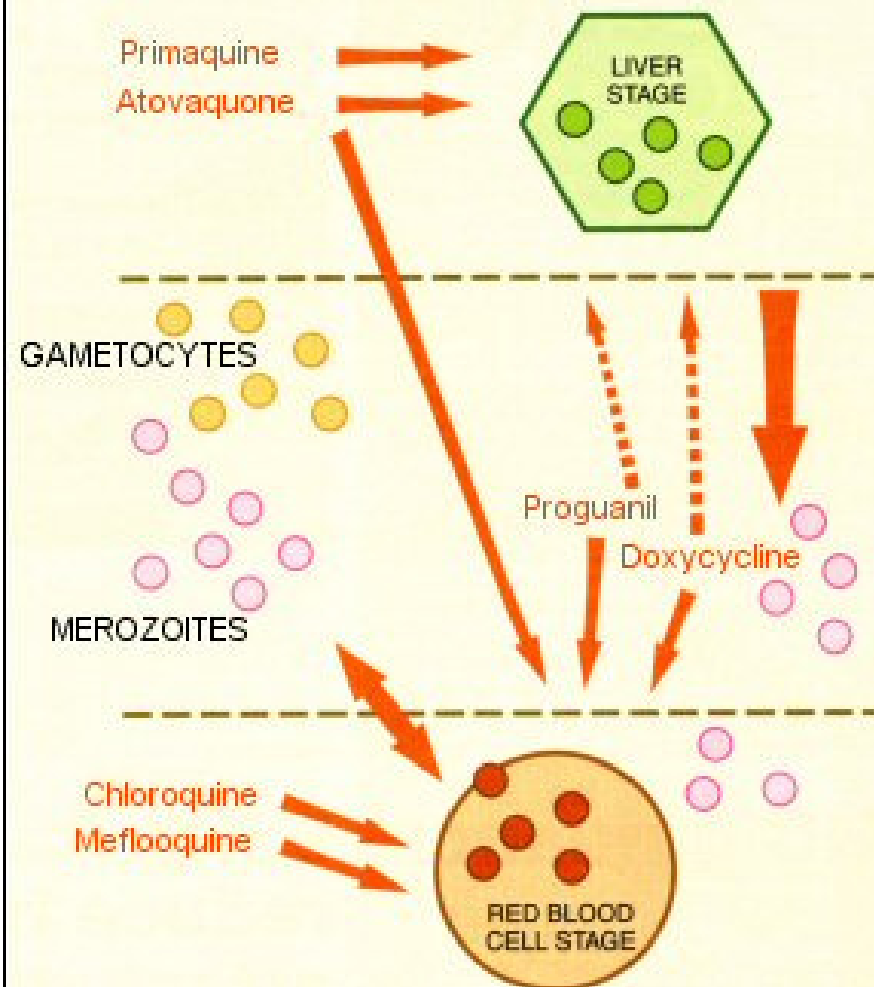
Hypnozoit? (*P. vivax*, *P. ovale*)

artemisininek **MDR *P. falciparum*** esetén

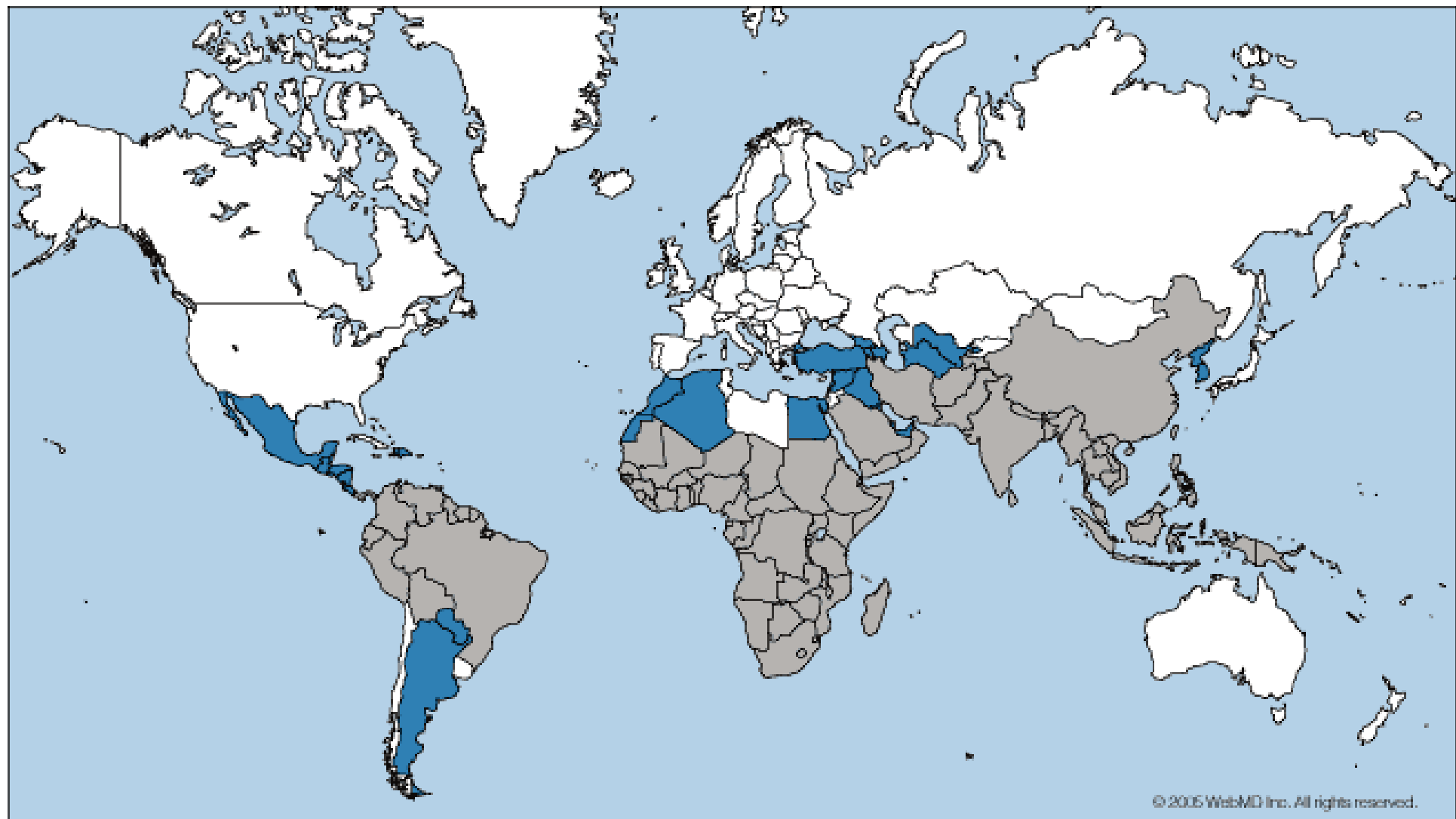


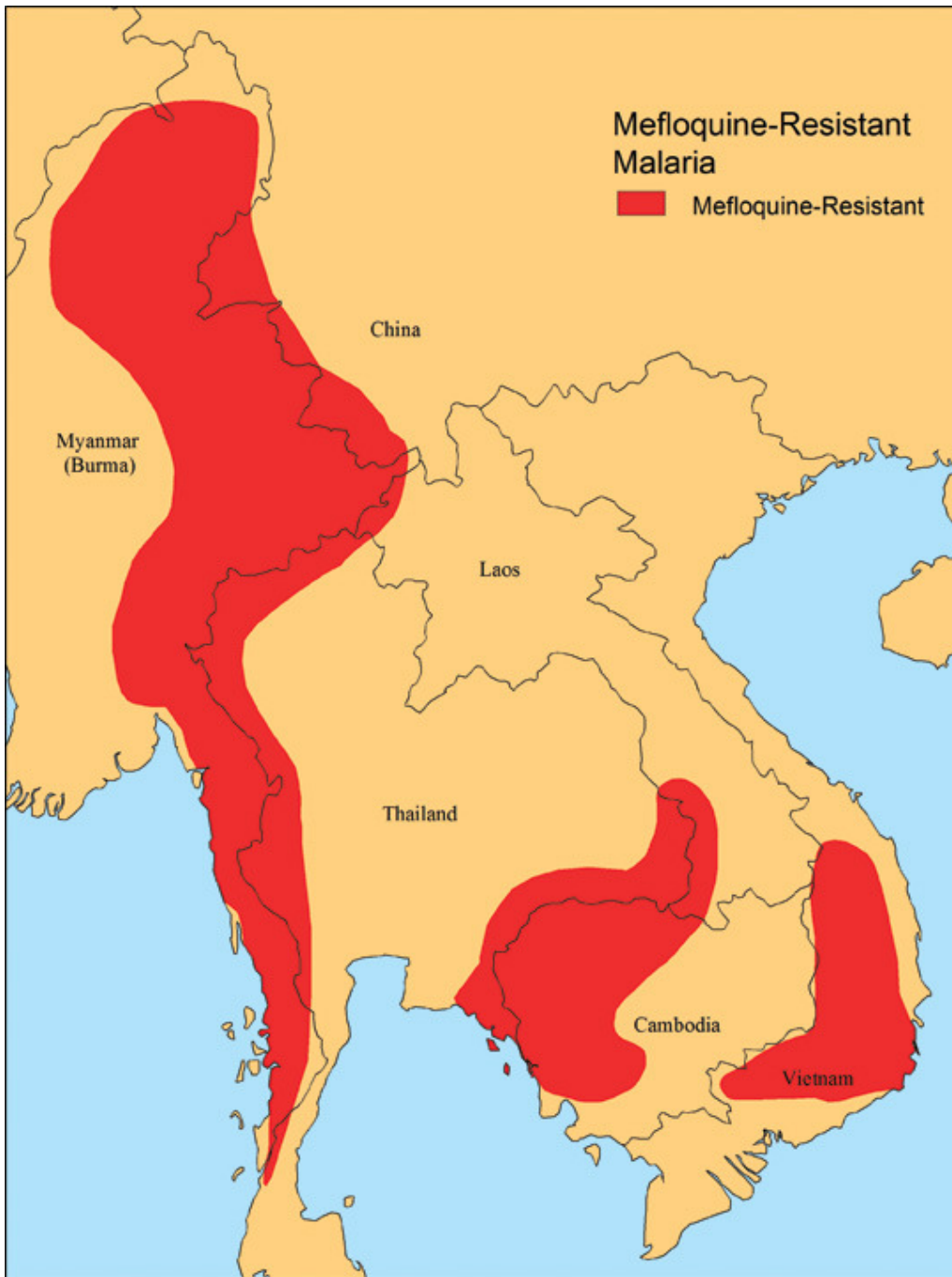
Malária endémiás területen minden lázas állapot
maláriának tekintendő: (amíg ki nem derül az ellenkezője...)
atovaquone/proguanil (Malarone)
4 tabletta/nap 3 napig, és **orvost kell keresni!**

Stages in the plasmodium life cycle
when anti-malarial drugs act



This map displays the distribution of the chloroquine-resistant malaria (gray areas) and chloroquine-sensitive malaria (blue areas) in the Americas and in Asia, Europe, and Africa.



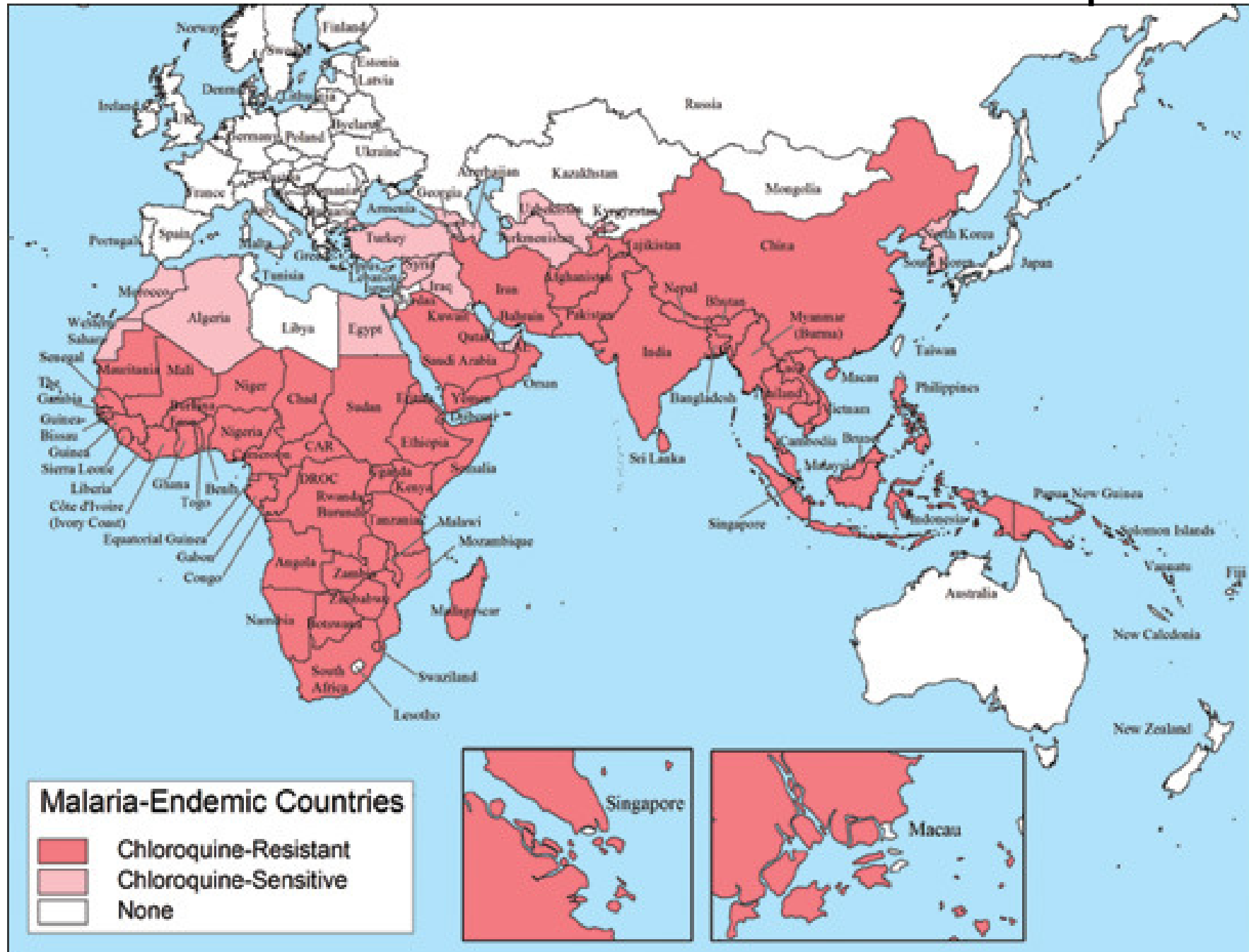


MAP 4-09

Geographic distribution of mefloquine-resistant malaria.

www.cdc.gov/travel/

MAP 4-08 Malaria-endemic countries in the Eastern Hemisphere.



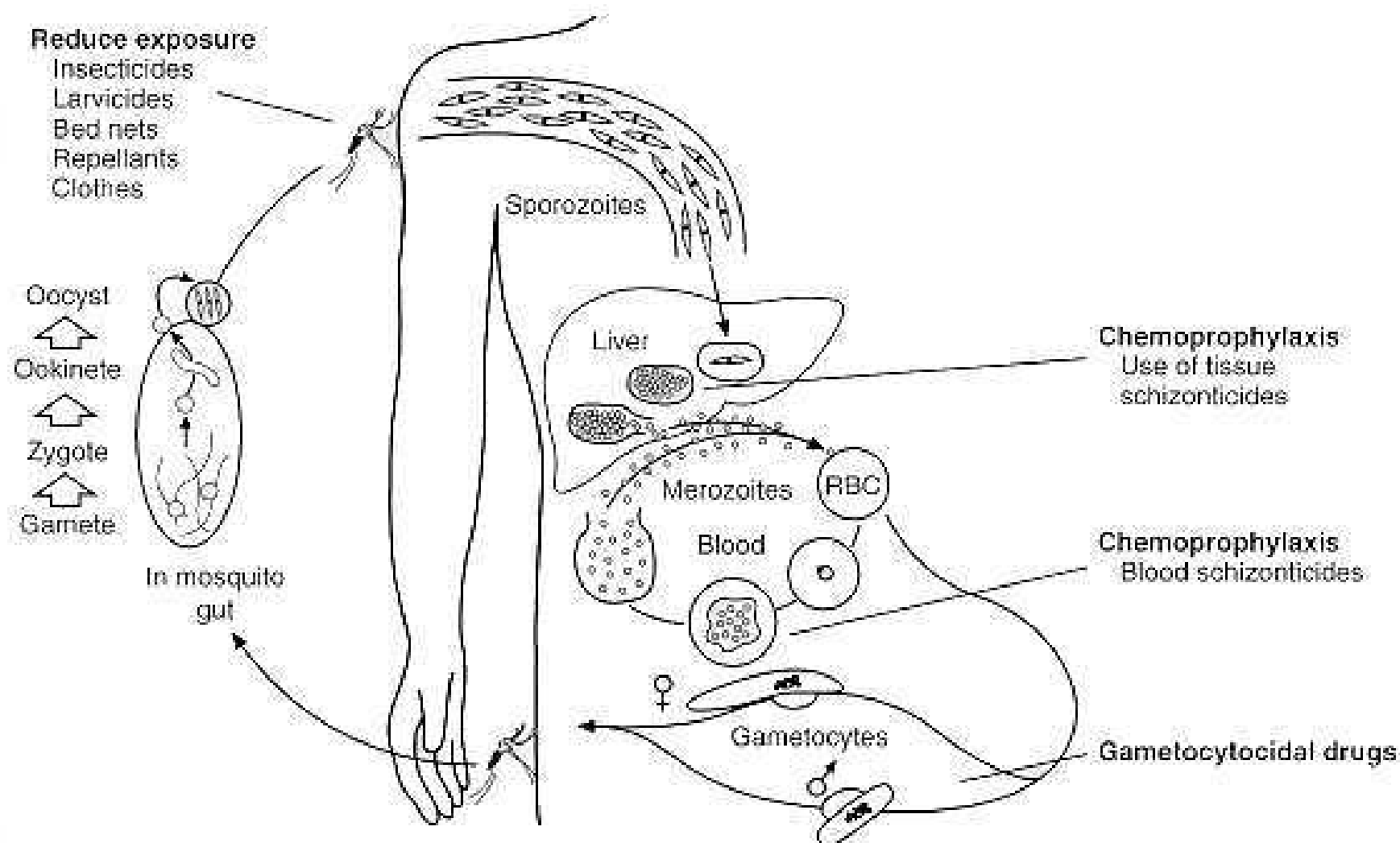


MAP 4-07

Malaria-endemic countries in the Western Hemisphere.

www.cdc.gov/travel/

FIGURE 83-8 Strategies for prevention of malaria.



Malaria megelőzés – expozíciós profilaxis

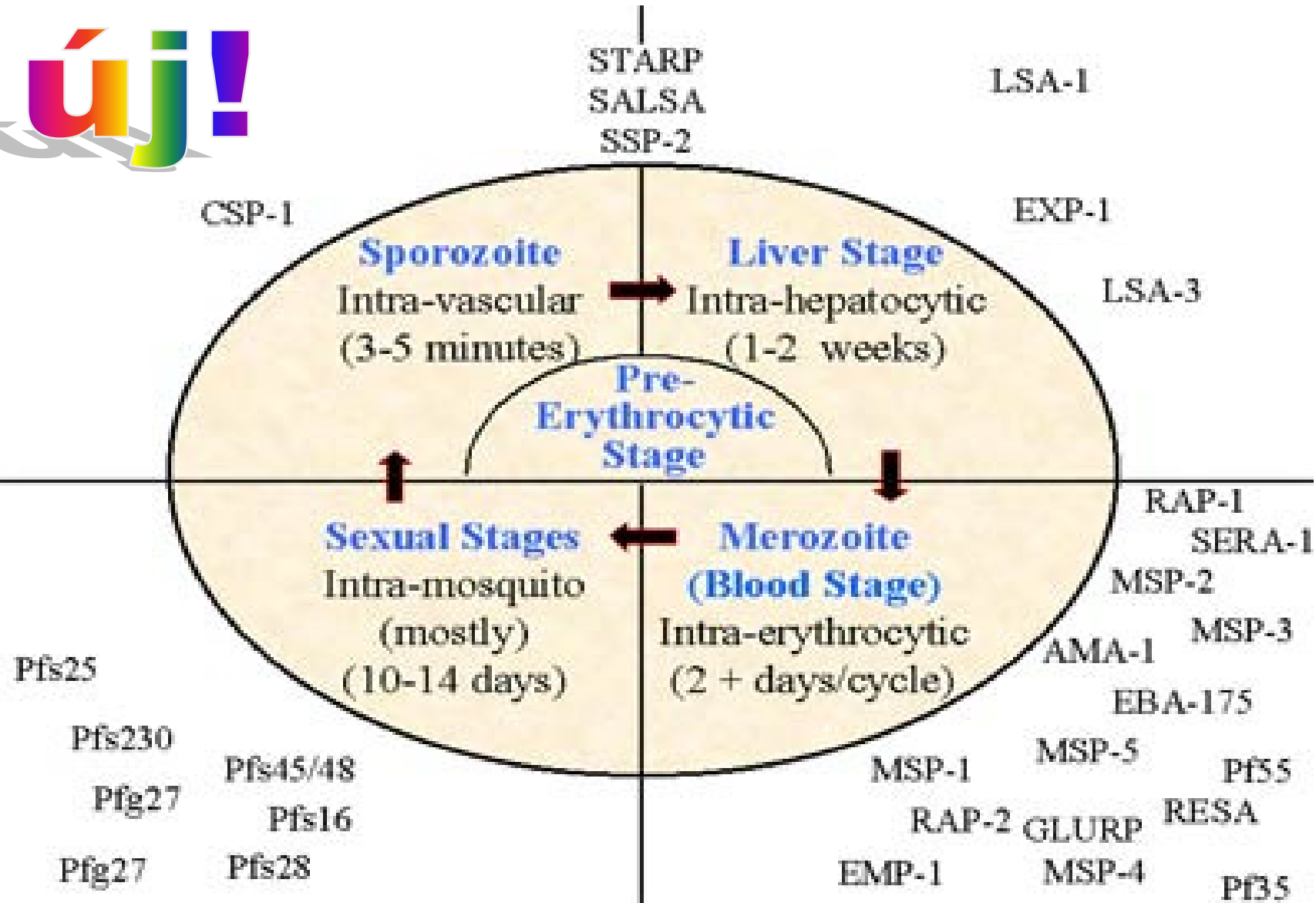


- Szúnyogháló, baldachin, rovarirtóval impregnált
- Rovarriasztók, repellensek
- Mocsarak lecsapolása, szúnyog élőhelyek felszámolása



jövő – védőoltás, zajlik a klinikai kipróbálás

(elérhető, gyermekeknek 2010; 50% effektív 2015; 80% 2025)



Malaria védőoltás: RTS,S/ASo2

Mosquirix®

Anticircumsporozoite

Benne:

Recombináns protein



Működése

Ellenanyag termelést indukál, T sejteket aktivál

Eredmény (remélhetőleg)

Fejlődési szakasz a májban nincs

Malaria védőoltás: klinikai kipróbálás gyermekken (Afrika)

- 2008 IIB kipróbálási fázis befejeződött 2008-ban RTS,S/ASo2!
- klinikai előfordulás 53 % ↓ (új adjuváns! Régi 35%)
- Malária fertőzések 65 % ↓
- Malária klinikai epizódok 59% ↓
- Licensz benyújtása 2011 – piac 2012?
- Source: Malaria Vaccine Initiative,
<http://www.malariavaccine.org/>



Malaria vaccina: klinikai kipróbálás gyermekken (Afrika)

- biztonságosnak tűnik (kb. 2 év)!
- maláriás klinikai epizódok száma 35 %↓
- Súlyos esetek száma ca. 50 %↓
- *P. falciparum* esetek száma ca. 30 %↓
- III fázis: 2009 tavasz elkezdődött
- 7 Afrikai országban: Burkina Faso, Gabon, Ghana, Kenya, Malawi, Mozambique, Tanzania
- Terv: 16.000 gyermek, 2 csoport:
 - 6 – 12 hetes életkor (köt. oltásokkal)
 - 5 – 17 hónapos életkor
- November 2009 – Pan-African Malaria Conference:
5.000 oltása megtörtént!
- Forrás: Malaria Vaccine Initiative, <http://www.malariavaccine.org/>



Vektor útján terjedő Vér / szöveti Protozoonok

Flagellata/mastigophora

Trypanosoma spp.

T. brucei gambiense/rhodesiense → álomkór

T. cruzi → Chagas kór



Leishmania spp.

L. donovani → visceralis, Kala-azar

L. tropica → cutan, Aleppo fekély

L. brasiliensis → muco-cutan, Espundia

Sporozoa (apicomplexa)

Plasmodia spp.

Plasmodium malariae, P. vivax, P. ovale, P. falciparum

MALARIA

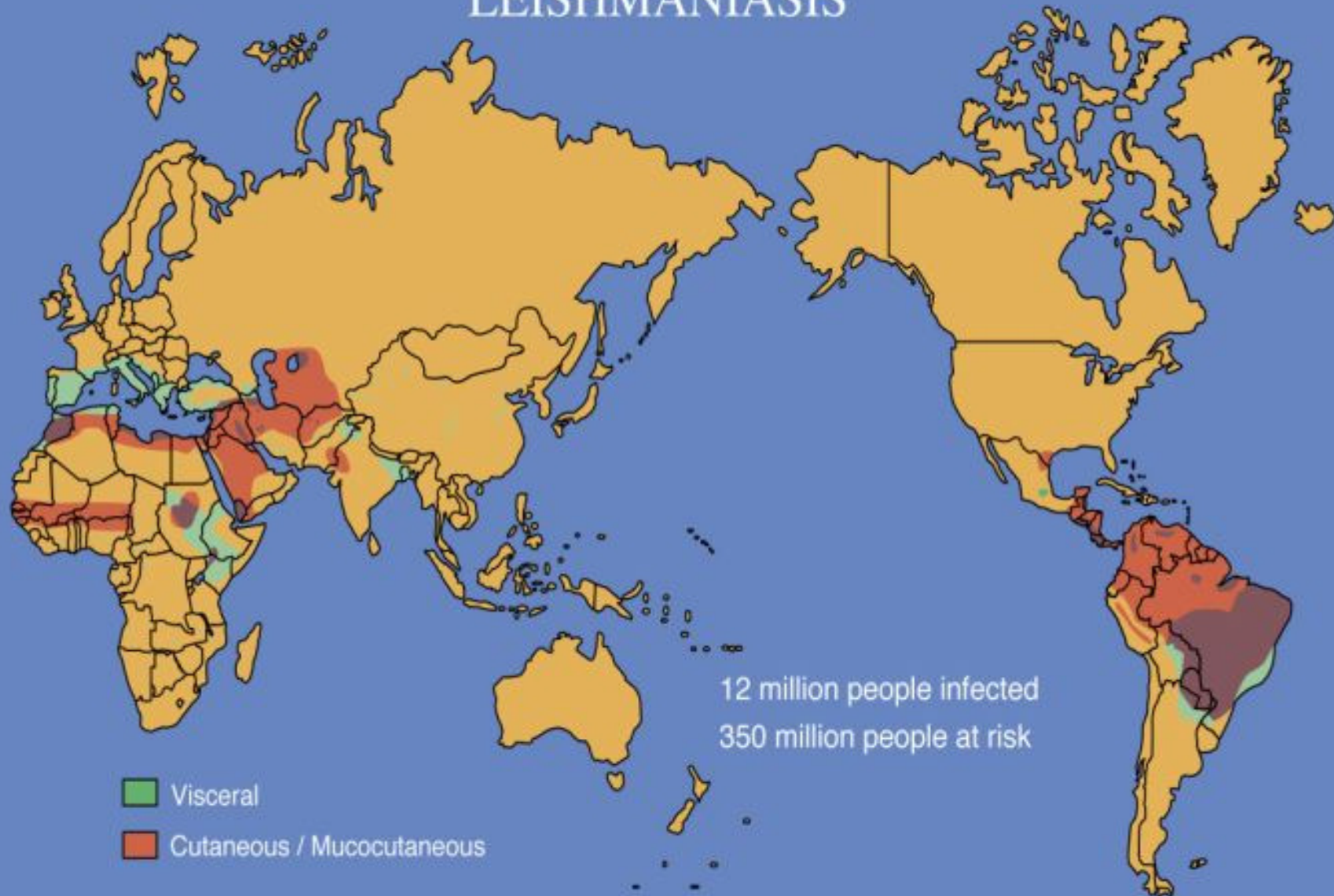
Flagellata

Vér és Szöveti

Haemoflagellates I.

Leishmania spp.

LEISHMANIASIS



Visceralis Leishmaniasis (VL) = Kala - azar = dum-dum láz

Kórokozók

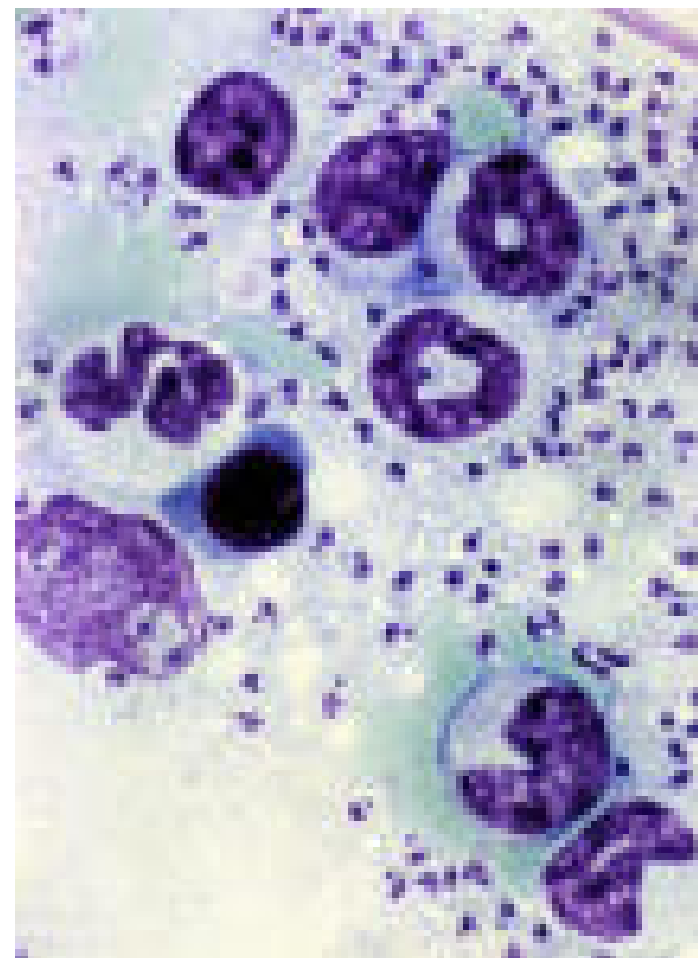
Óvilág

L. donovani

L. infantum

Újvilág

L. chagasi = *L. infantum*?



Cutan, Muco-cutan Leishmaniasis

Kórokozók

Óvilág

L. tropica

L. major

L. aethiopica

Újvilág

L. mexicana (chiclero fekély)

L. amazonensis

L. peruviana (uta)

L. braziliensis

L. panamensis } (Espundia)

L. guyanensis

etc.

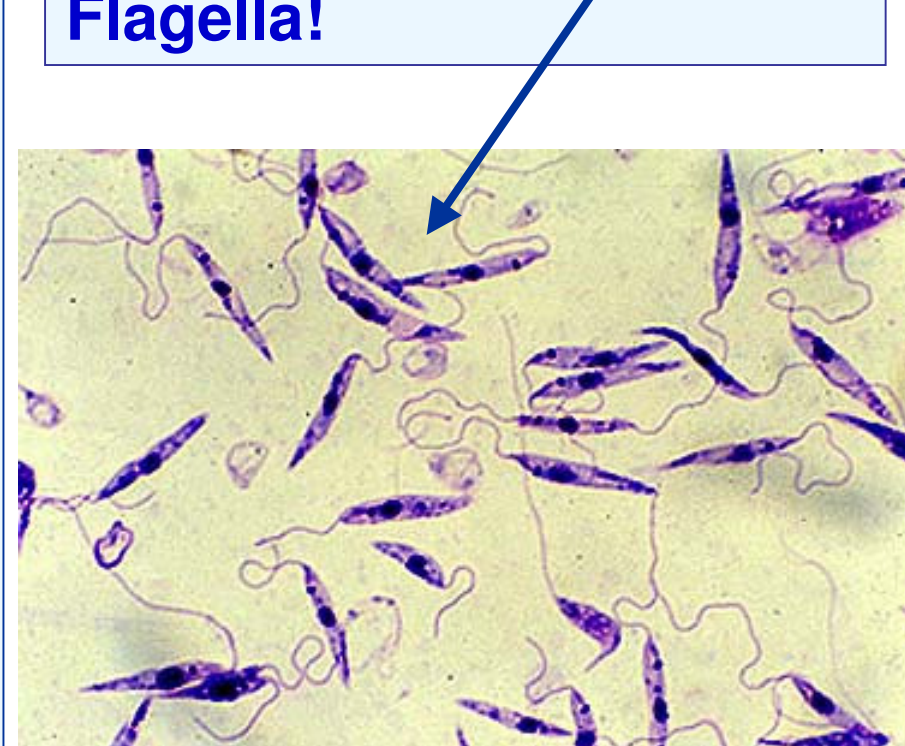
Morphologia – egyformák!

Méret:

2-5 µm amastigota

15-20 µm promastigota

Flagella!

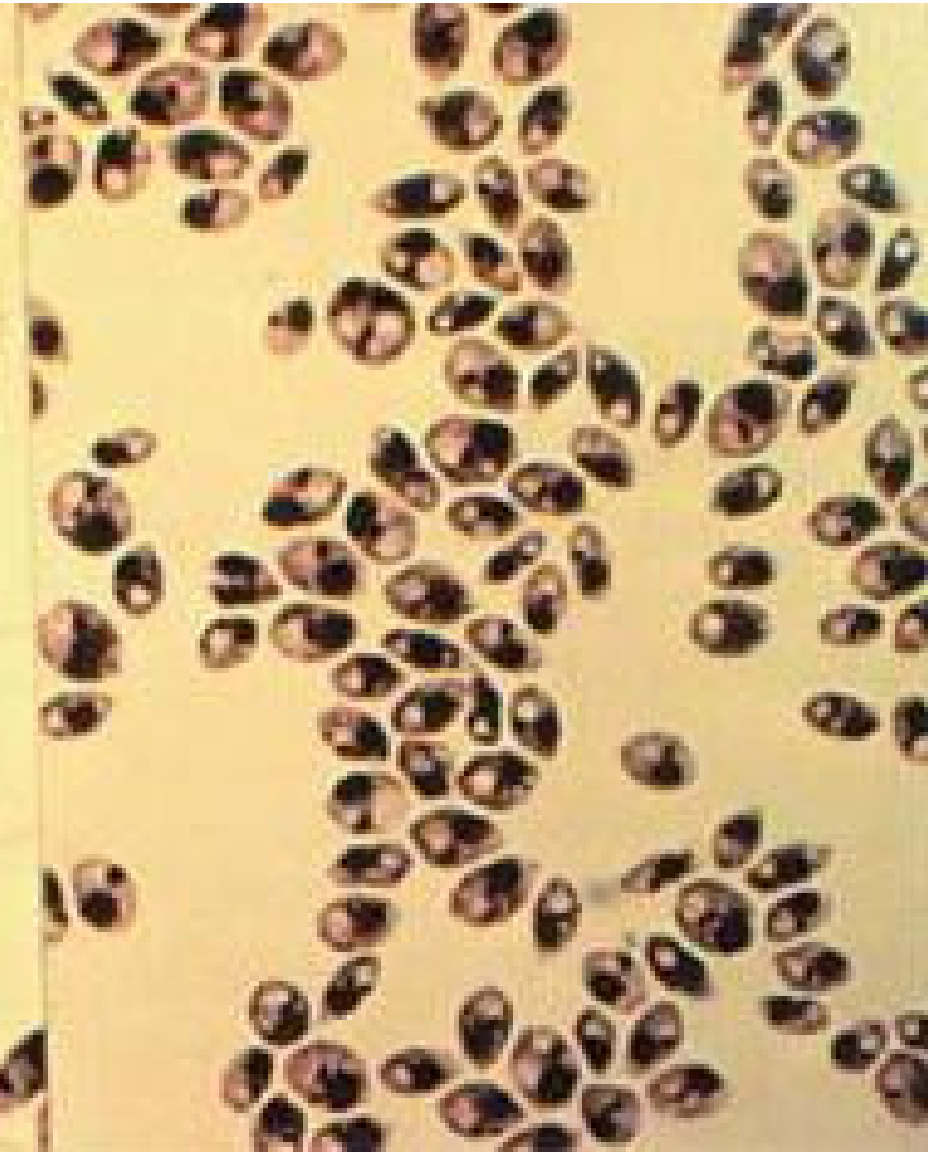


Leishmania

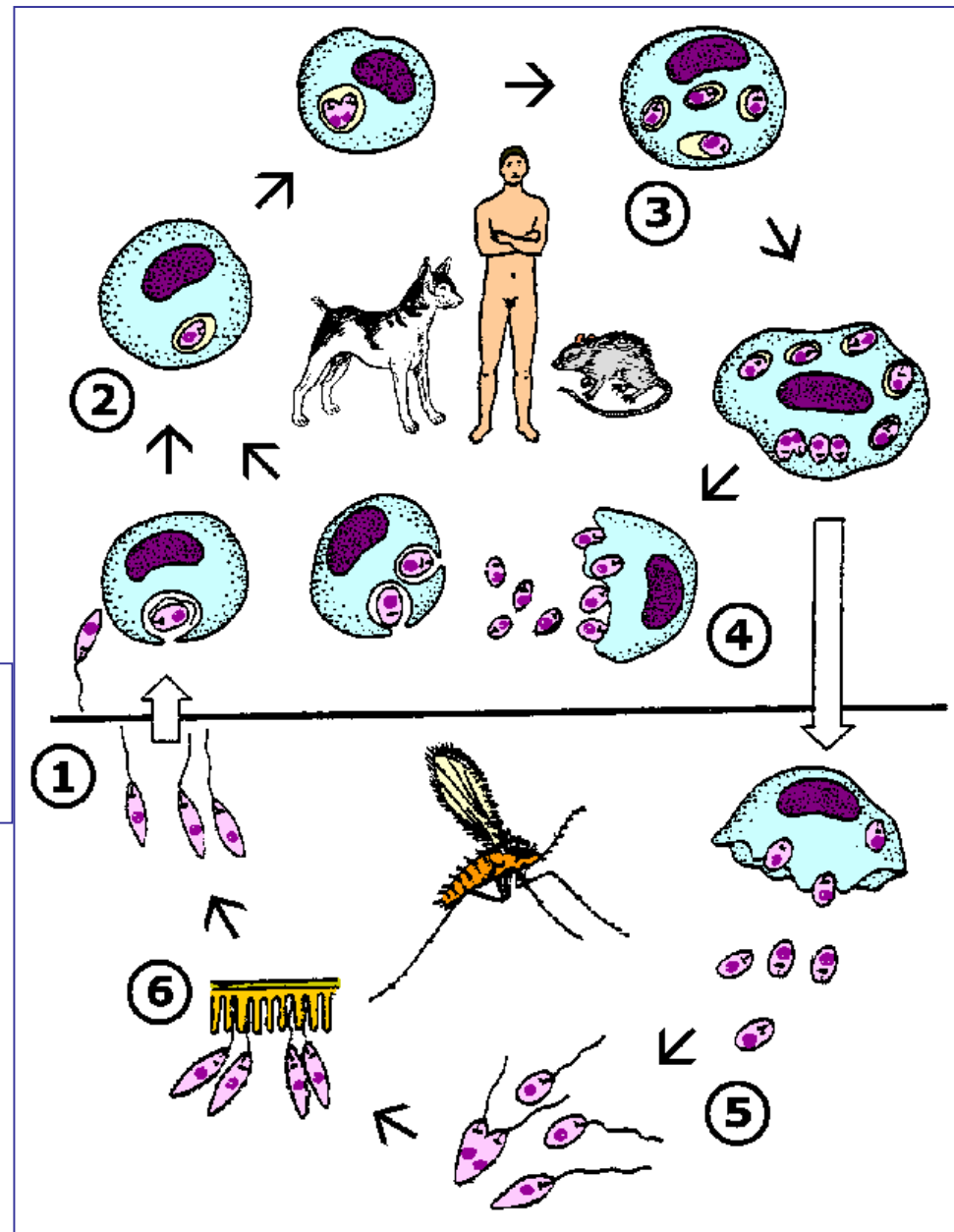
15-20 μm promastigota



2-5 μm amastigota



***Leishmania* életciklus**



**Promastigota
flagellated**

Amastigota

**Transmissio
Vektor
lepkeszúnyog
Phlebotomus,
*Lutzomyia spp.***

Leishmania

Pathogenesis, pathomechanismus

intracellularis protozoon

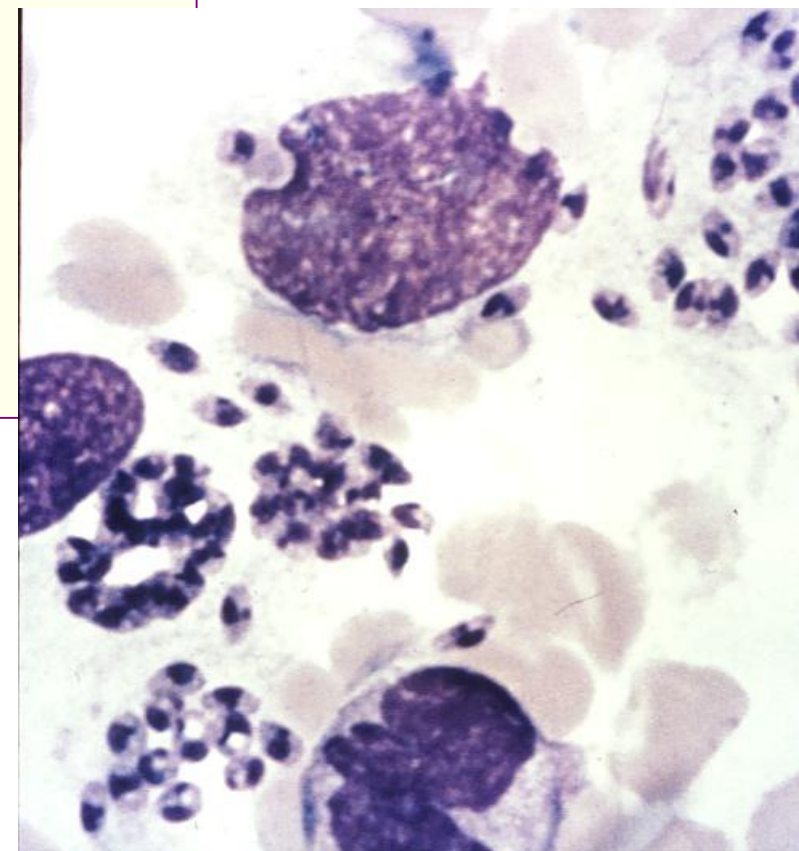
bőr, RES

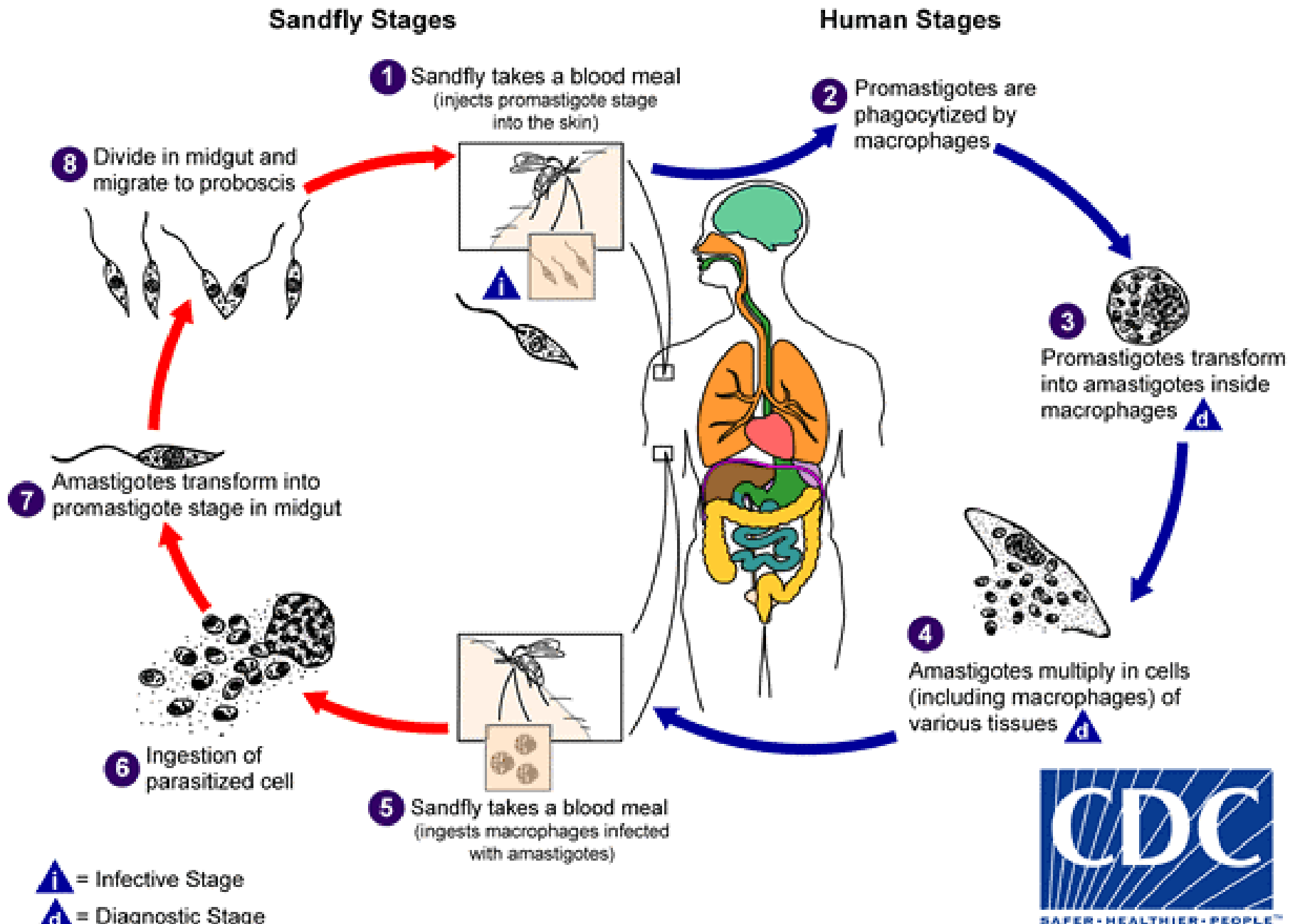
Macrophagok

- invasio

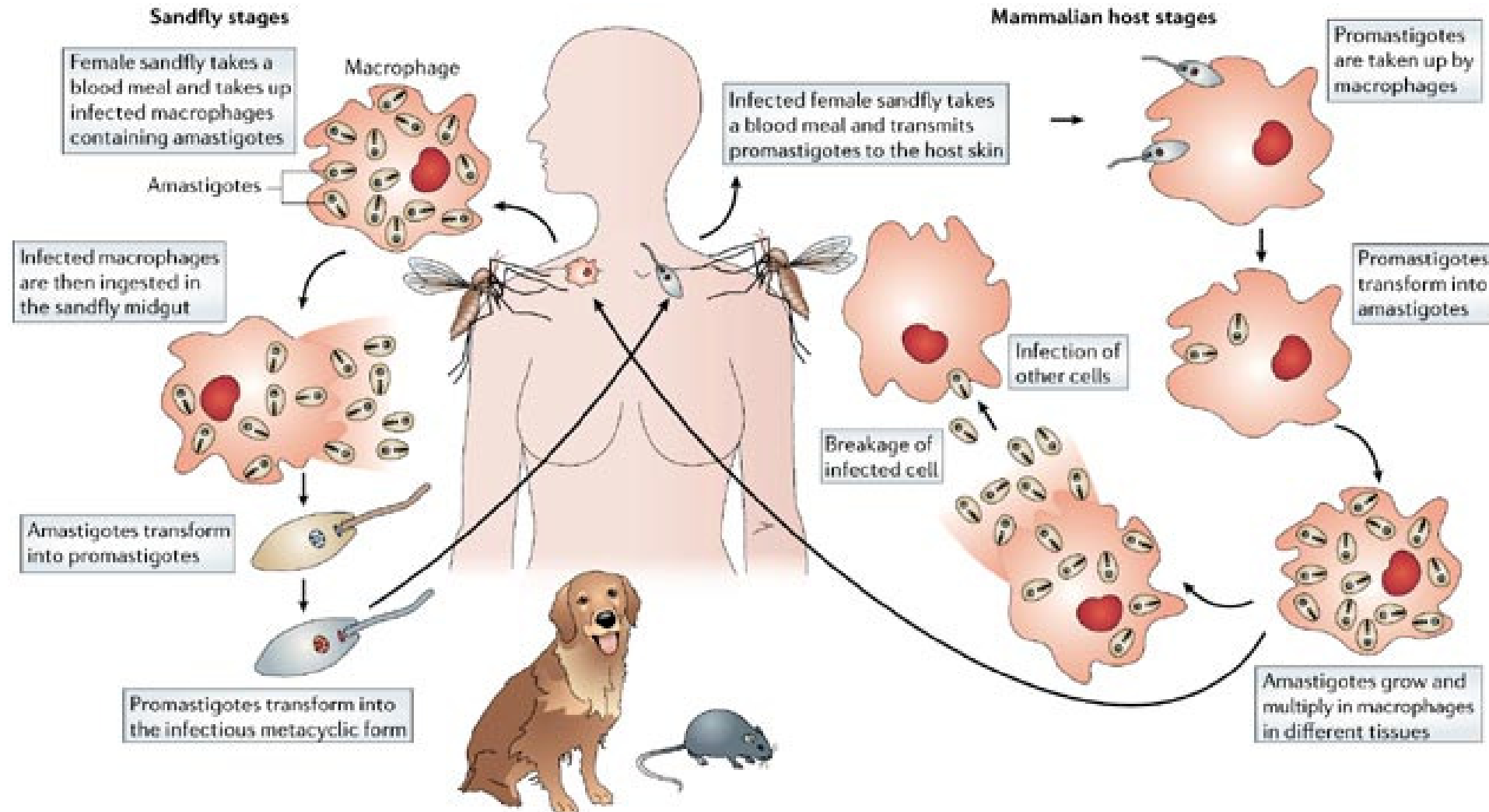
Virulencia faktorok

gp63, lypophosphoglycan LPG





Leishmania



The reservoir hosts of most ***Leishmania*** species from which parasites are transmitted to humans are rodents and canids (zoonotic leishmaniasis); only in some species (for example, ***L. tropica*** in urban areas) is transmission from infected to non-infected humans (anthroponotic leishmaniasis).

Leishmania parasites are transmitted by the bites of infected female sandflies, which inject metacyclic promastigotes into the skin. Promastigotes enter macrophages, where they transform into replicating amastigotes. Infected macrophages are taken up by sandflies, where parasites are transformed into the infective metacyclic promastigote form.

***Leishmania* promastigote - macrophagok invasioja (gp63, lypophosphoglycan LPG)**



video

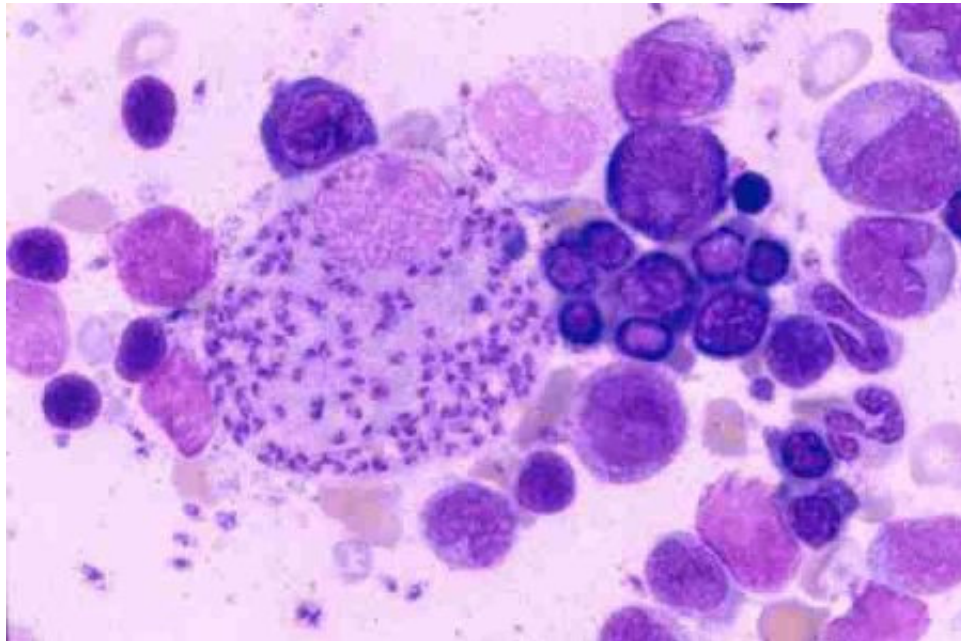


lepkeszúnyog 1-2 mm

www.medicine.mcgill.ca

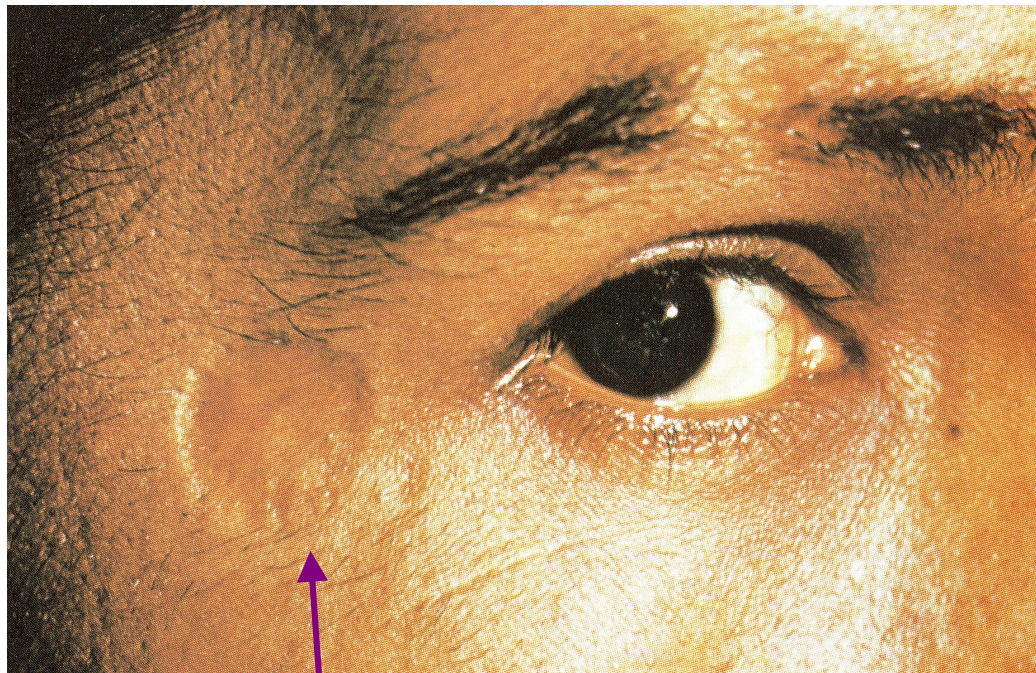
***Leishmania* amastigota macrophag invasio**

video



<http://www.iwf.de/iwf/do/mkat/details.aspx?GUID=444C47554944001AEB9A3F65AA31002287A1920301030061F44C868001000000&Action=Quicklink&Search=medicine;%20medical%20microbiology;&SearchIn=Klassifikation&Offset=30>

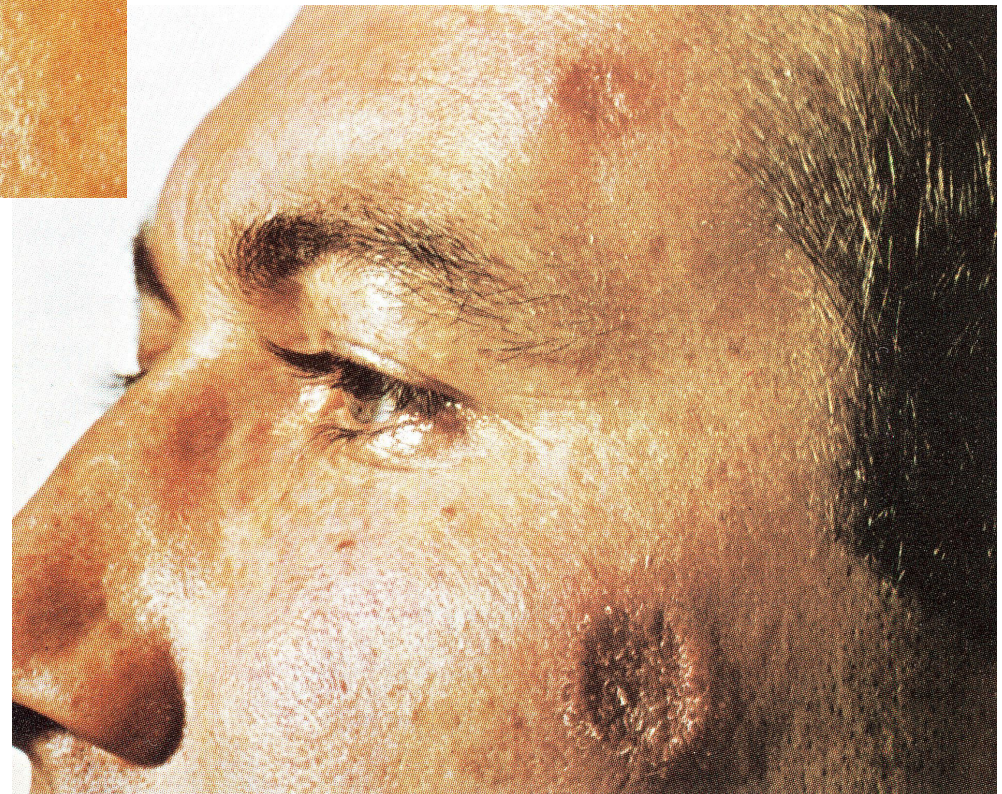
Cutan, Muco-cutan Leishmaniasis



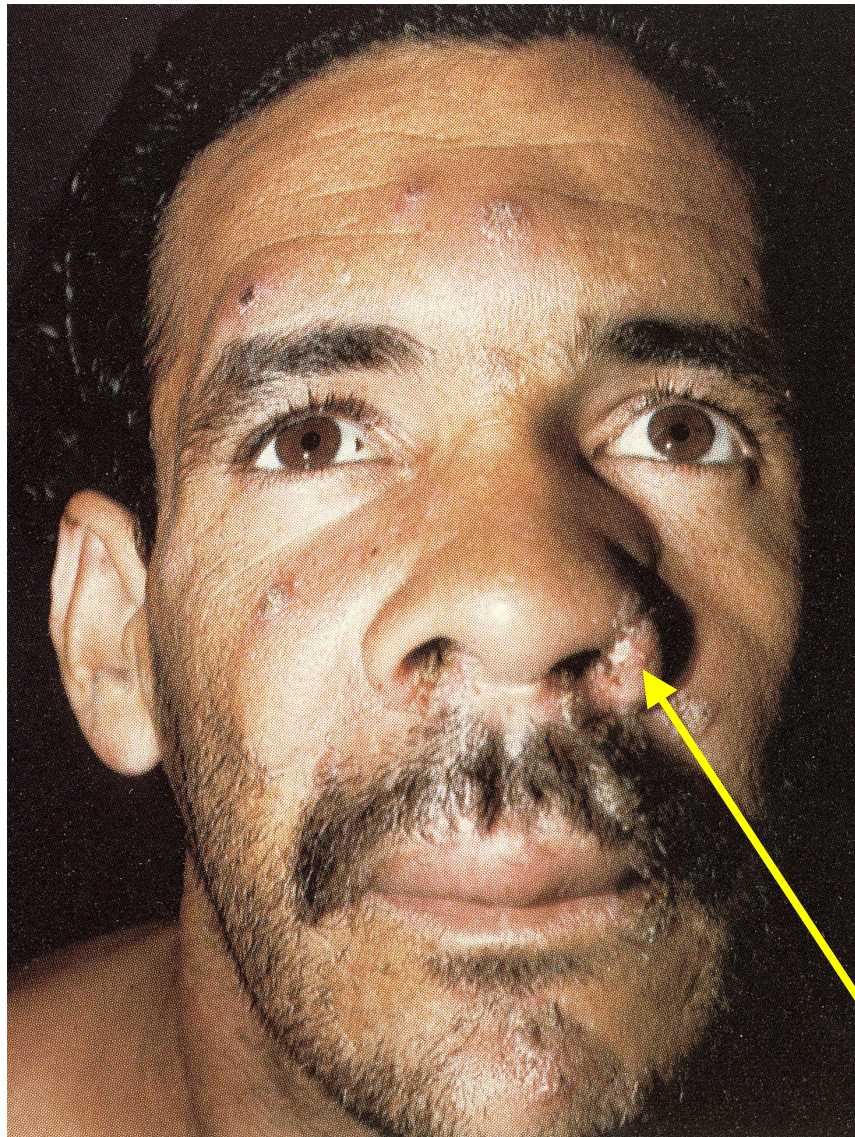
R131 - heg

Bőrön csomók,
(1-5 cm) fekélyesedés

R130 – bőr;
L. tropica



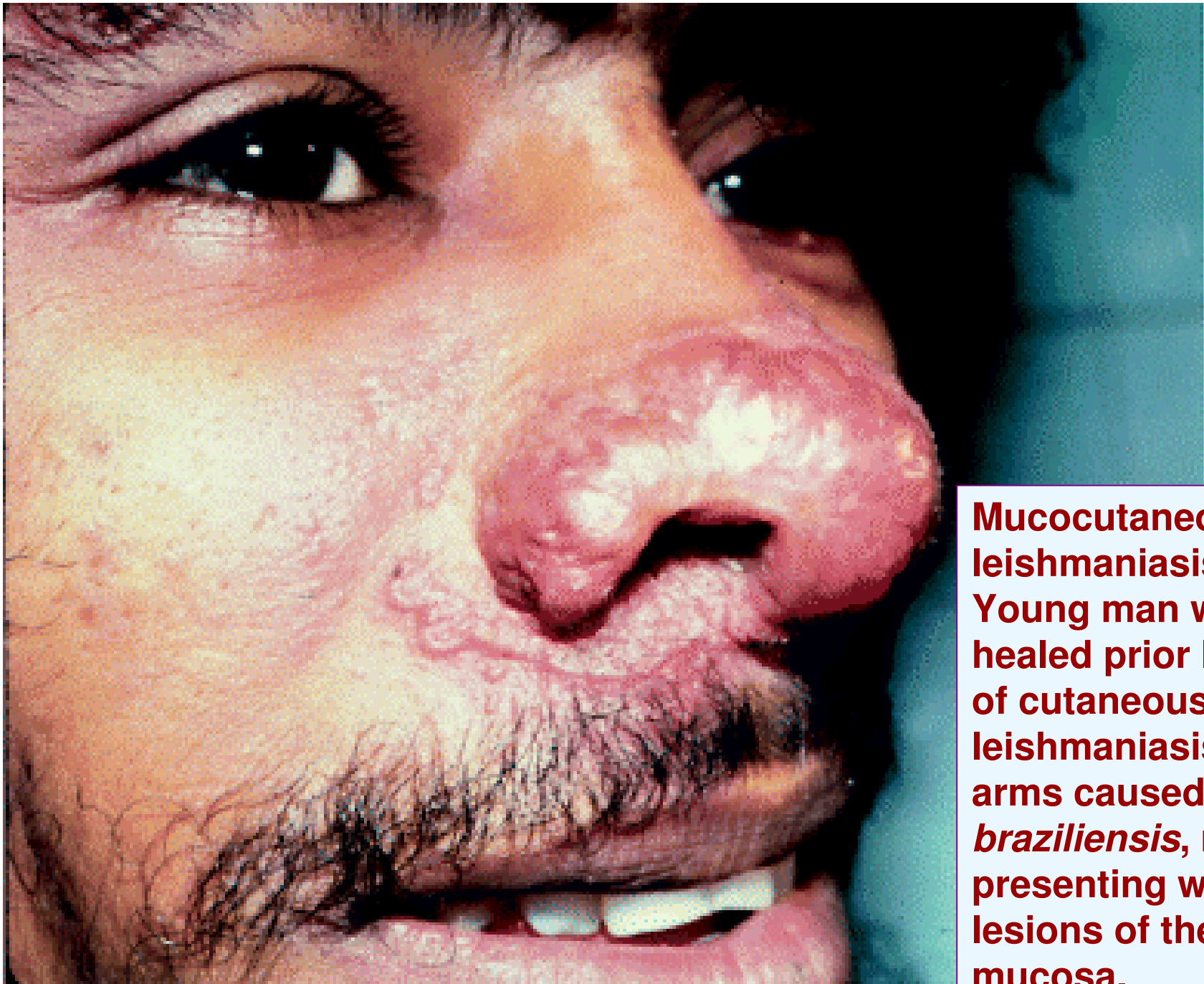
Cutan, Muco-cutan Leishmaniasis



R1312 – 133



Espundia – *L. brasiliensis*
**Fresh, untreated lesions on
nasal mucosa and ulceration**



**Mucocutaneous
leishmaniasis.
Young man with
healed prior lesions
of cutaneous
leishmaniasis on the
arms caused by *L.
braziliensis*, now
presenting with new
lesions of the nasal
mucosa.**

Cutan, Muco-cutan Leishmaniasis



cutan



Muco-cutan

LEISHMANIOSE NO PERU

Cutan, Muco-cutan Leishmaniasis

Roche Atlas



R134 – fül;
L. tropica mexicana
Chiclero fekély

Cutan, Muco-cutan Leishmaniasis



news.bbc.co.uk

Cutan, Muco-cutan Leishmaniasis



Patienten har diffus **kutan Leishmaniasis**. Ett tillstånd som liknar, och ofta misstas för, Lepra. (Etiopien) WHO/TDR/CRUMP www.vif.se

Cutan, Muco-cutan Leishmaniasis

Diagnosis

Direkt kimutatás - mikroszkópos

Minta:

bőr vagy nyirokcsomó biopszia (határ!)

Giemsa - festés

PCR

Ag kimutatás (ELISA, IF)

Montenegro bőr test

(IV. típus, +: élethosszig)



Therapia

Antimon származékok (Pentamidine), amphotericin B
(toxikus mellékhatások!)

Preventio

rovarirtás

Visceralis Leishmaniasis (VL)

= Kala - azar

Kórokozók

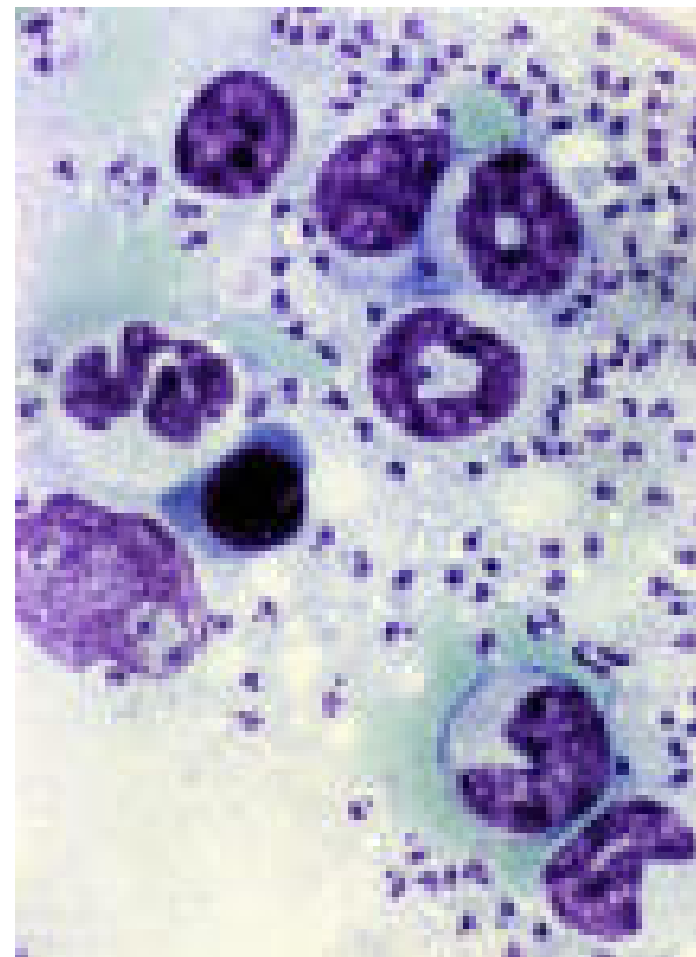
Óvilág

L. donovani

L. infantum

Újvilág

L. chagasi = L. infantum?

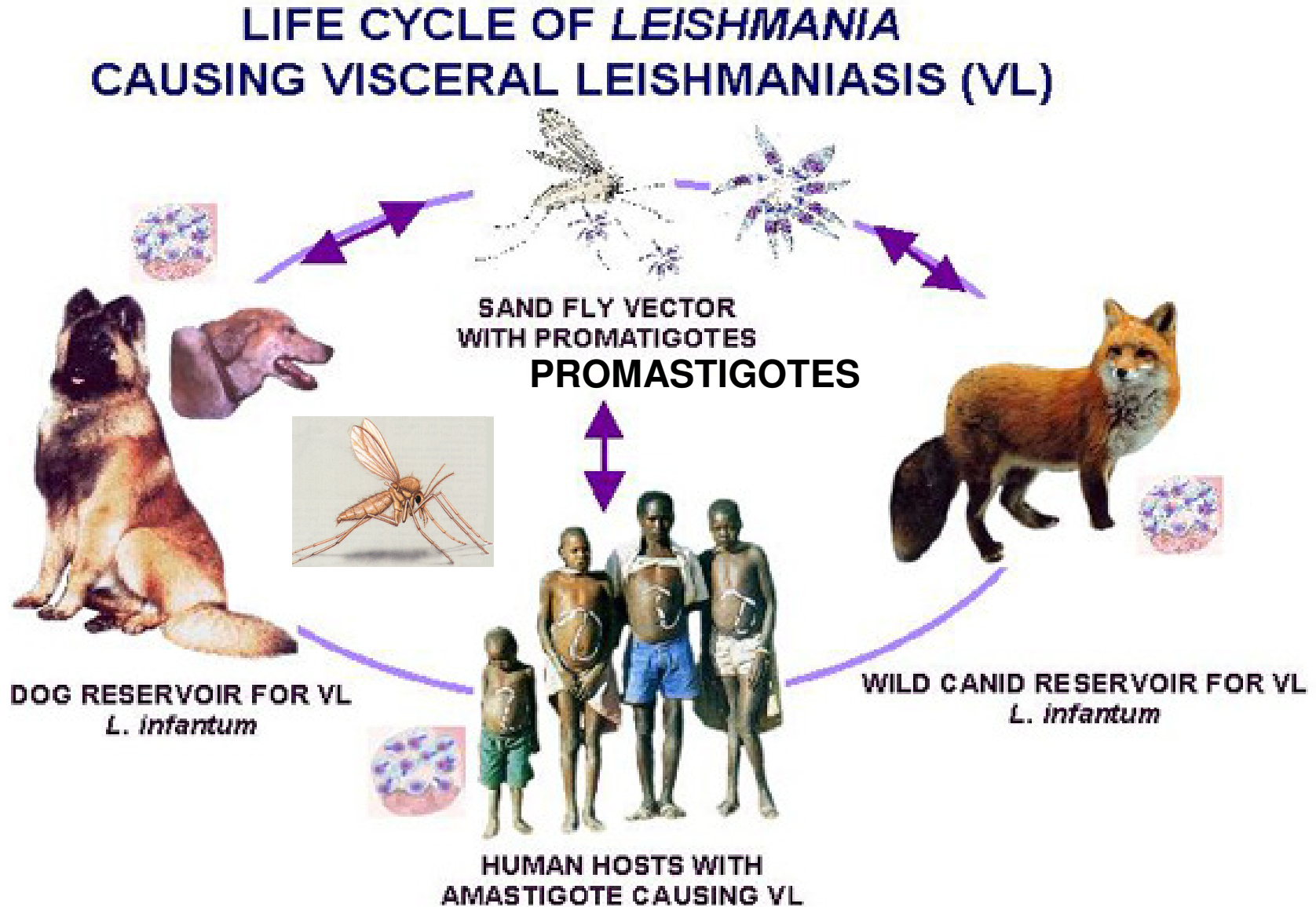


Leishmania donovani in
the promastigote stage (©
(2000) WHO/TDR Sinclair Stammers).

www.nature.com

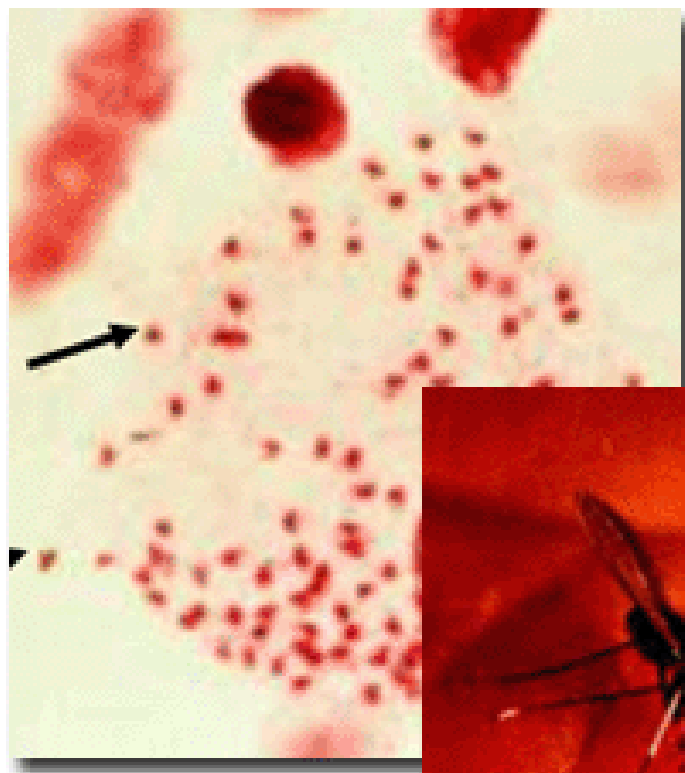


Leishmania infantum – mediterrán medence

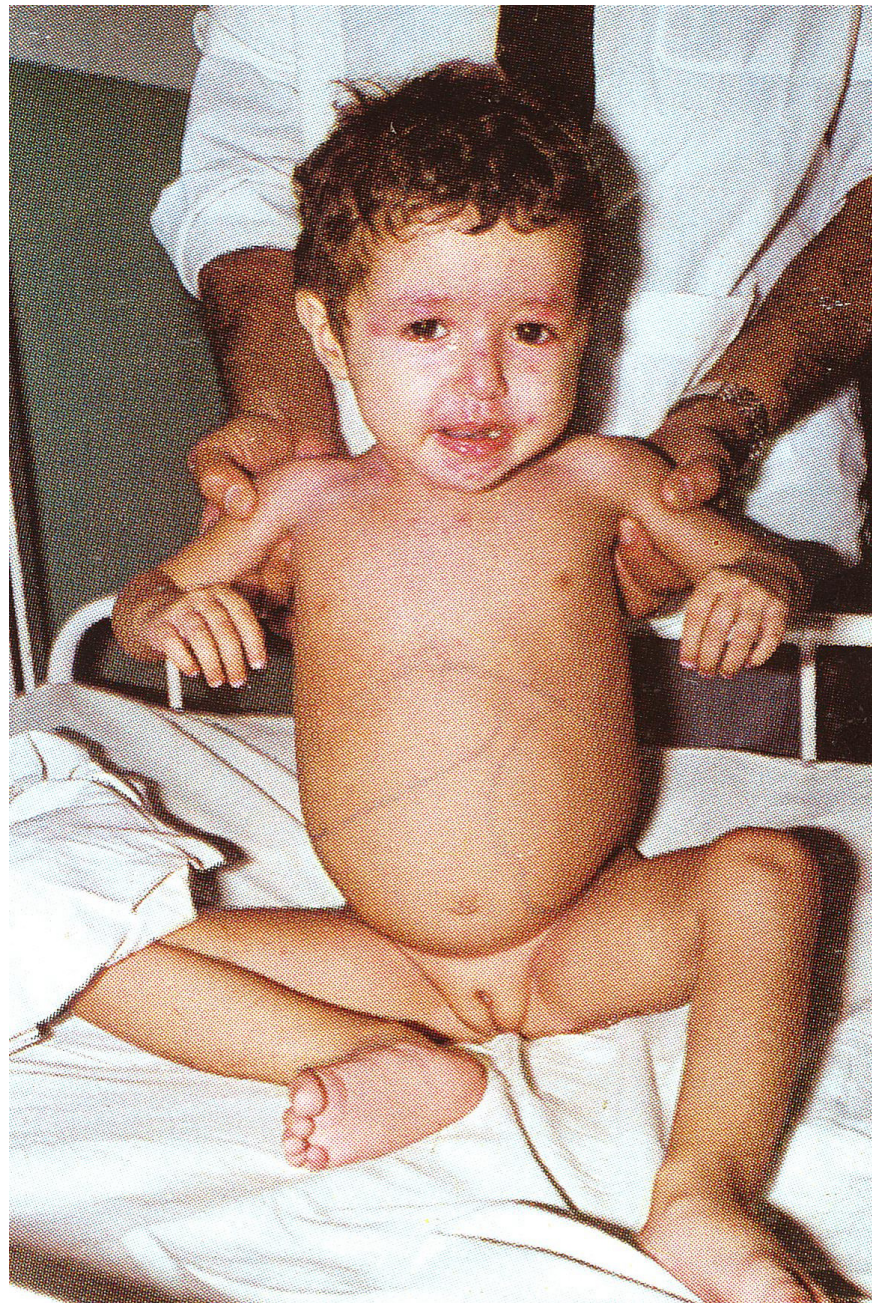
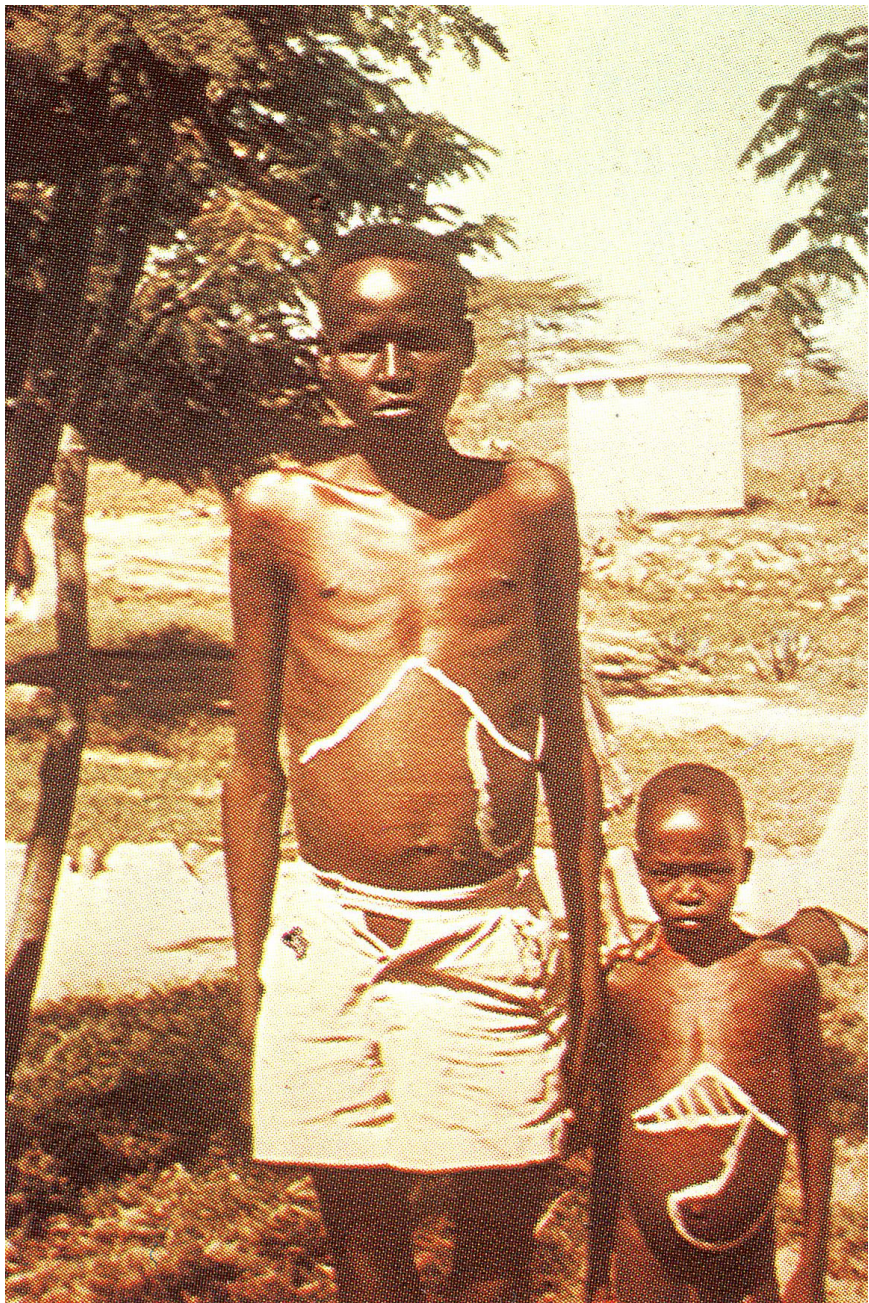


Visceralis Leishmaniasis (VL) = Kala - azar

Leishmaniasis



W178-181 Kala-azar – hepatosplenomegaly



Visceralis Leishmaniasis (VL) = Kala - azar



FIGURE 82-12 Visceral leishmaniasis in a child from Honduras with marked emaciation and hepatosplenomegaly. (Courtesy of Carlos Ponce.)

Visceralis Leishmaniasis (VL) = Kala - azar



PKDL = Post Kala-azar Dermal Leishmanoid



Visceralis Leishmaniasis (VL) = Kala - azar

Diagnosis

Direkt kimutatás - mikroszkópos

Minta:

Csontvelő, lén vagy nyirokcsomó biopszia

Giemsa - festés

PCR

Ag kimutatás (ELISA, IF, HAI)

Montenegro bőr test

(Type IV., +: life-long)

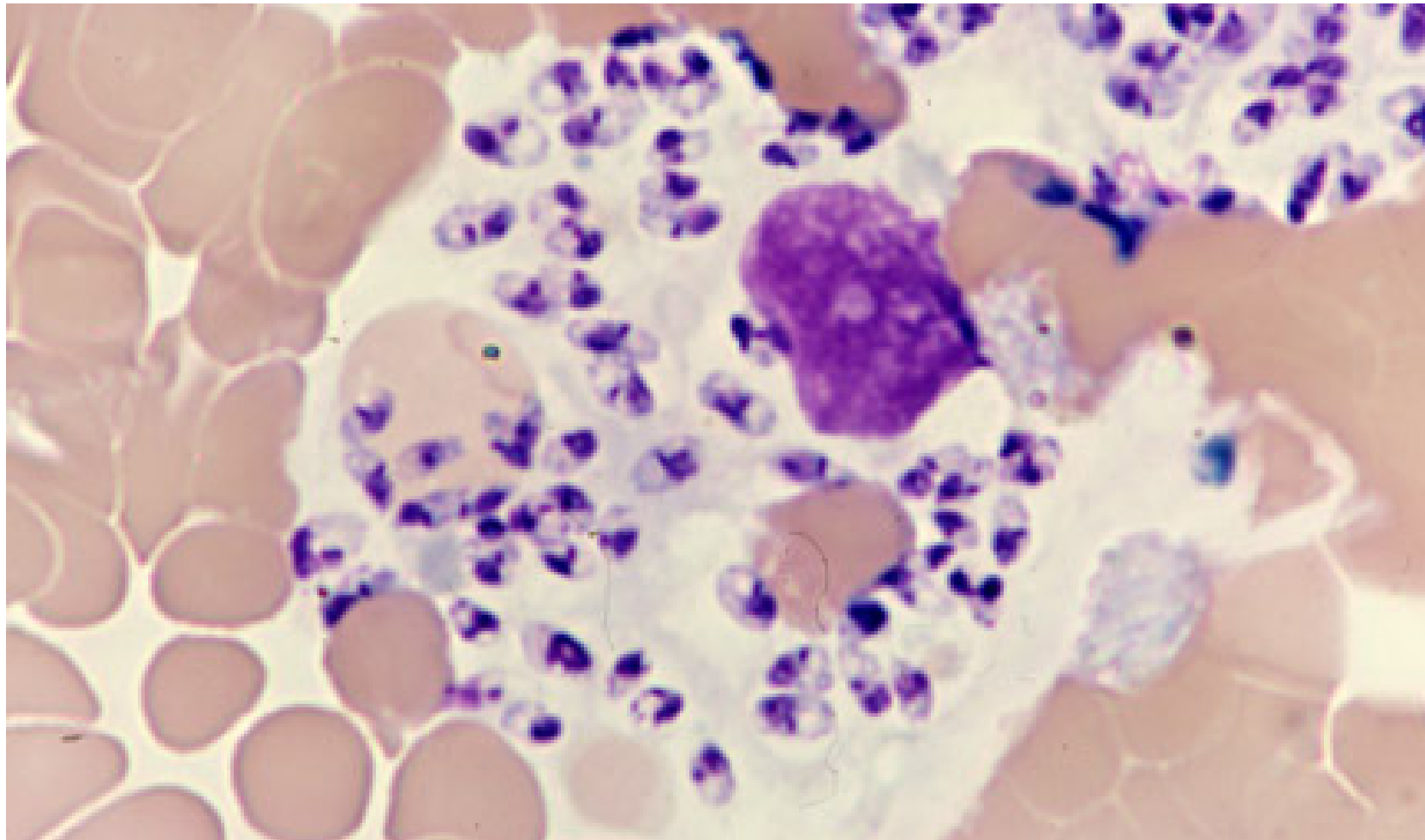
Therapia

Antimon származékok, amphotericin B, IFN- γ

ÚJ! oralis miltefosine

Preventio

insecticidek



Leishmaniasis. Marrow film. Macrophage engorged with the amastigotes of *Leishmania donovani*.

Source: Lichtman MA, Shafer MS, Felgar RE, Wang N:
Lichtman's Atlas of Hematology: <http://www.accessmedicine.com>

Copyright © The McGraw-Hill Companies, Inc. All rights reserved.

Vektorok útján terjedő Vér / szöveti Protozoonok

Flagellata/mastigophora

Trypanosoma spp.

T. brucei gambiense/rhodesiense → **ájomkór**

T. cruzi → **Chagas kór**

Leishmania sp.

L. donovani → visceralis, **Kala-azar**

L. tropica → cutan, **Aleppo fekély**

L. brasiliensis → muco-cutan, **Espundia**

Sporozoa (apicomplexa)

Plasmodia sp.

Plasmodium malariae, P. vivax, P. ovale, P. falciparum

MALARIA



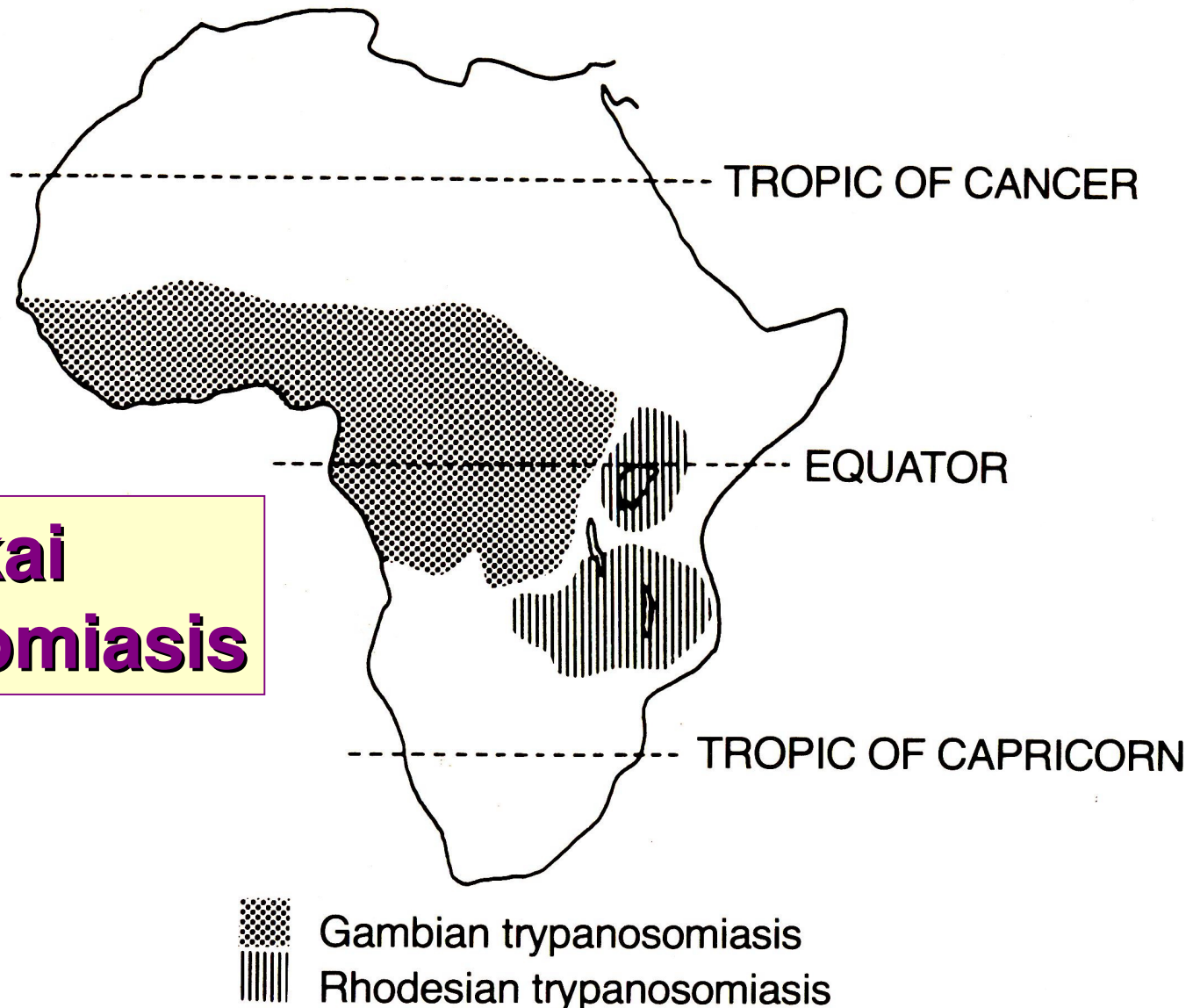
Flagellata

Veres Szoveti

Haemoflagellates II.

Trypanosoma spp.

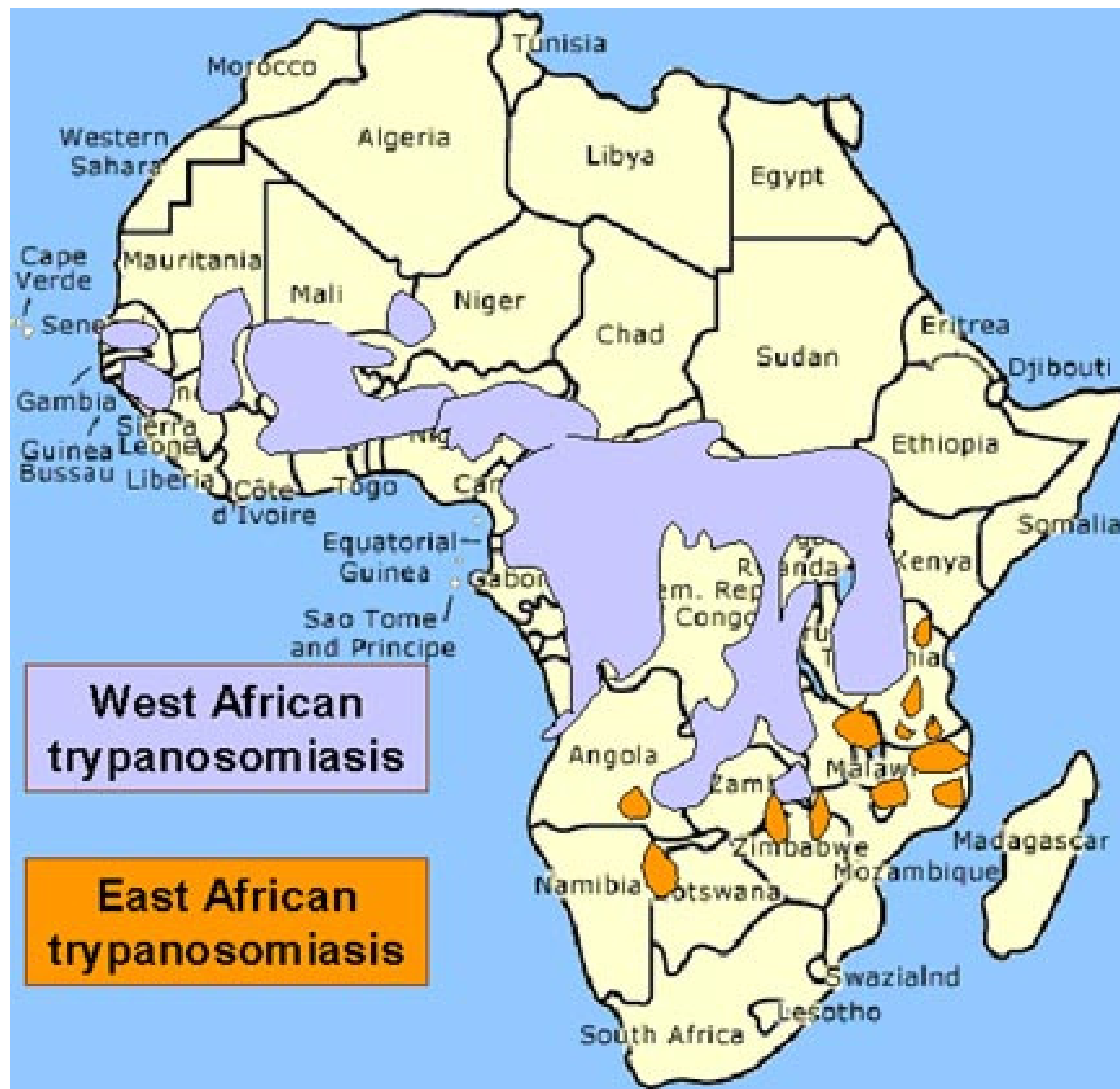
Afrikai trypanosomiasis



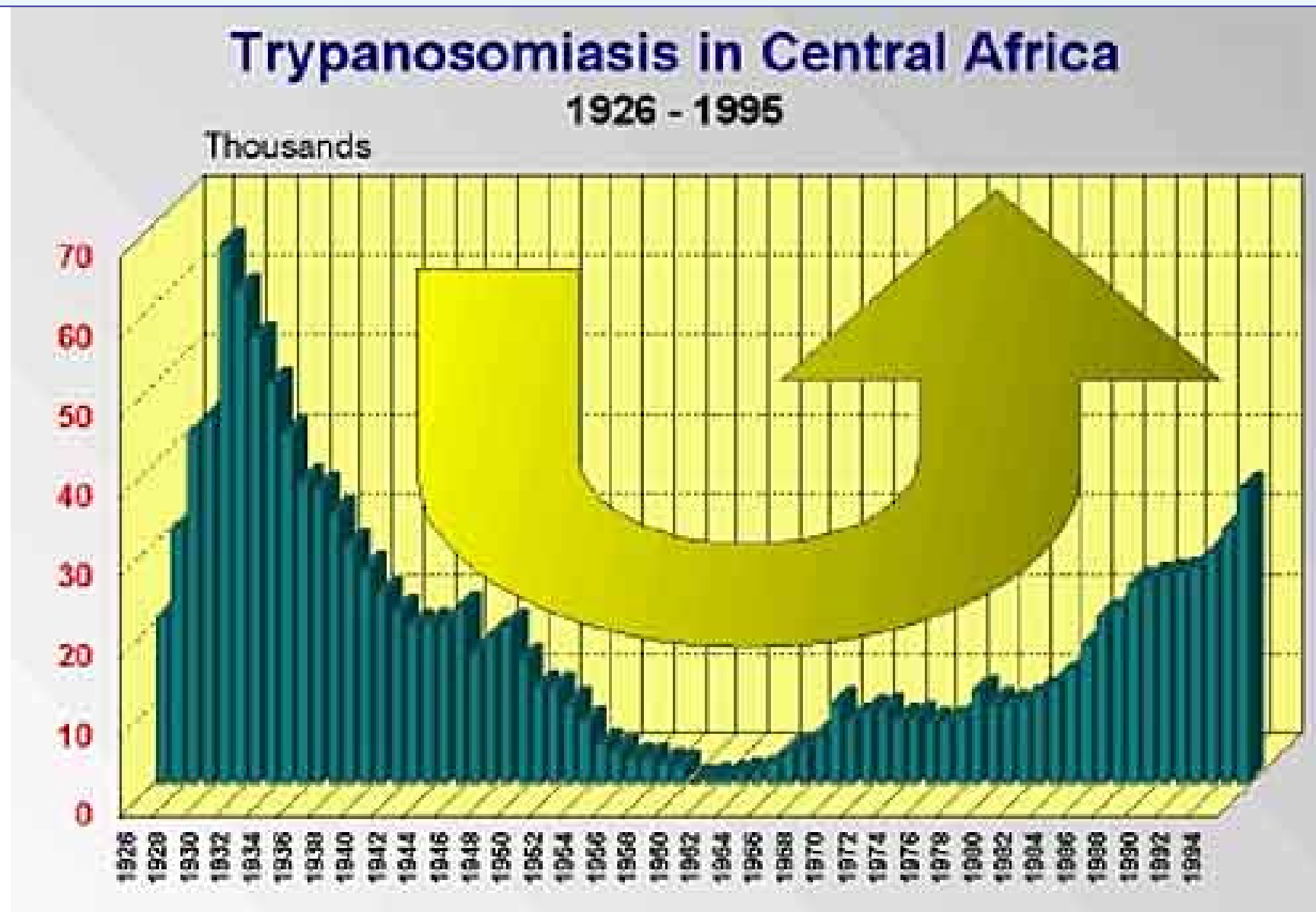
674 Distribution in Africa of human trypanosomiases,
Gambian and Rhodesian (from Faust).

Yamaguchi Atlas

Trypanosoma brucei- endemic areas



Trypanosoma brucei - emerging disease
2004: 500000 cases (WHO estimated cases)



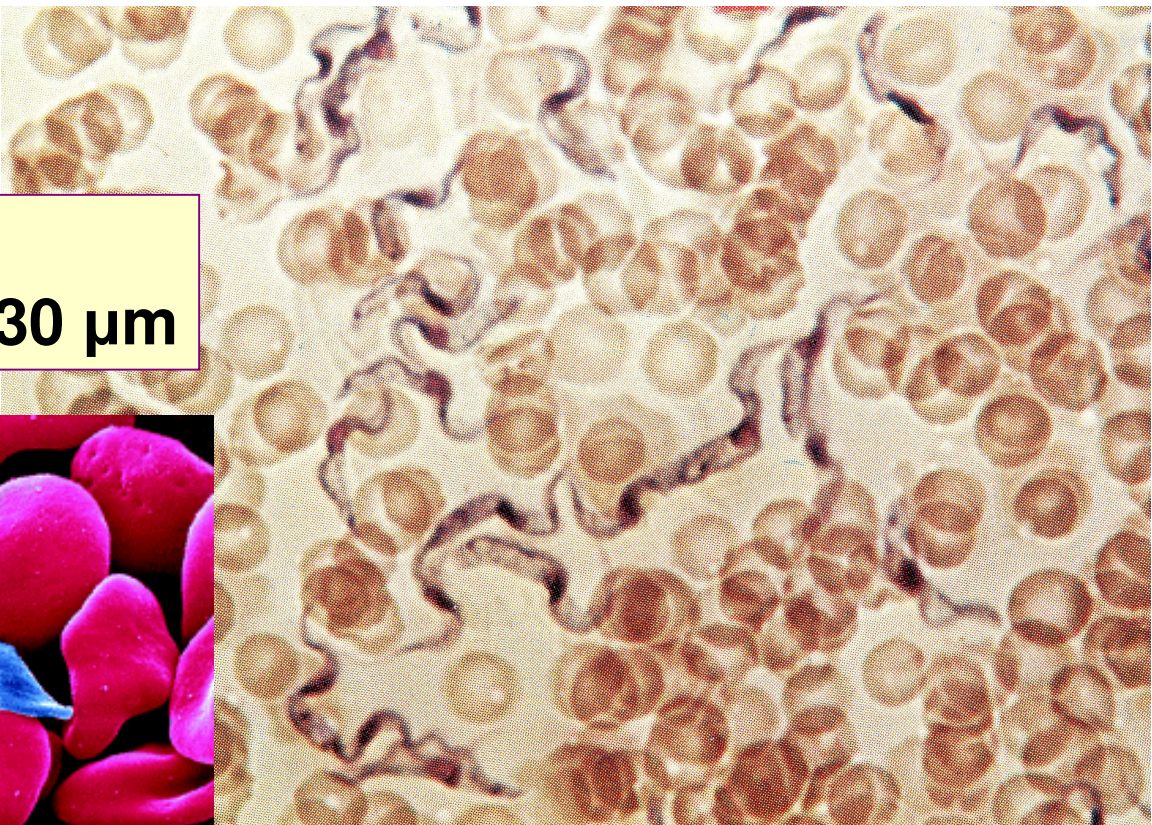
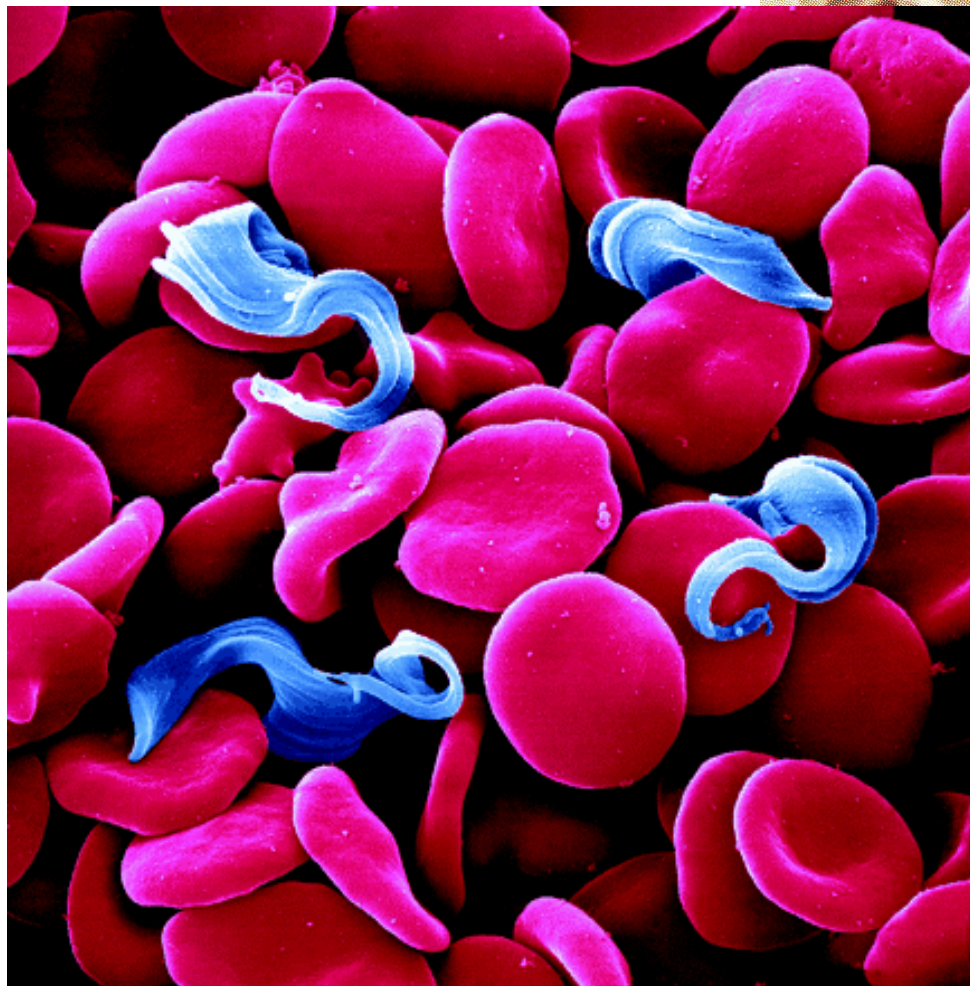
Trypanosoma
brucei
gambiense et rhodesiense

T. brucei

Roche Atlas

Morphologia

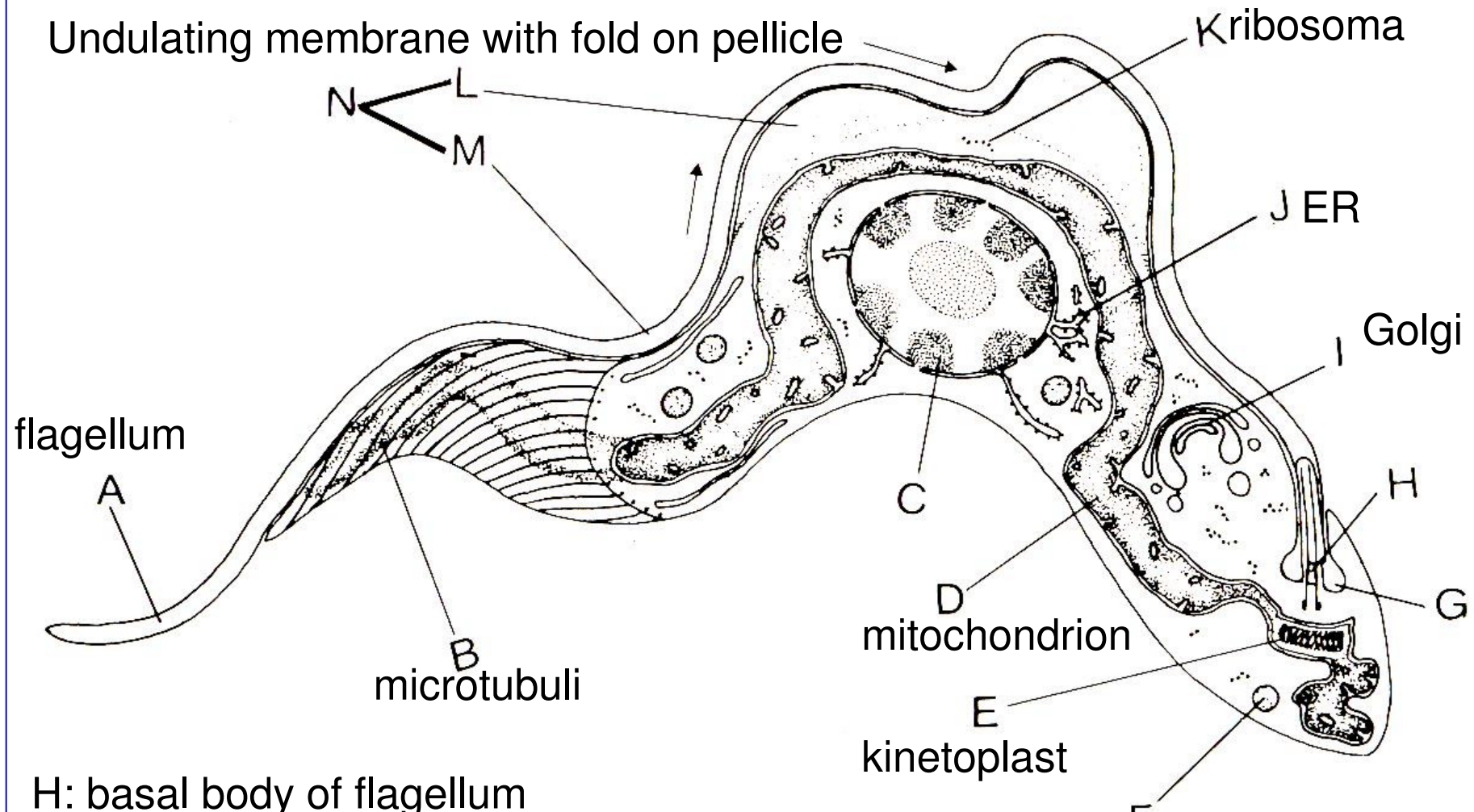
méret: 10 – 40 µm, átlag 30 µm



Parasitic *Trypanosoma brucei* surrounded by red blood cells in a smear of infected blood.

(Courtesy: Jürgen Berger and Dr. Peter Overath,
Max Planck Institute for Developmental Biology,
Tübingen.)

W126 *T. brucei gambiense* - ultrastructure



T. brucei

Roche Atlas



Forrás

Reservoir
(állati, házi, vad; és ember)

Transmissio

Vektor – tse-tse légy
(*Glossina* spp.)

Szaporodás

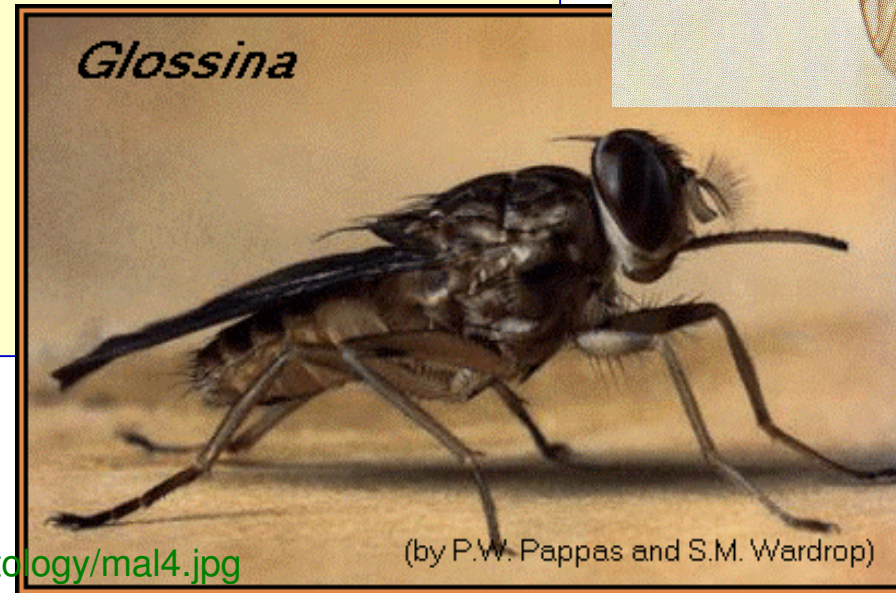
vér

KIR

Ag-variatio!

pathmicro.med.sc.edu/parasitology/mal4.jpg

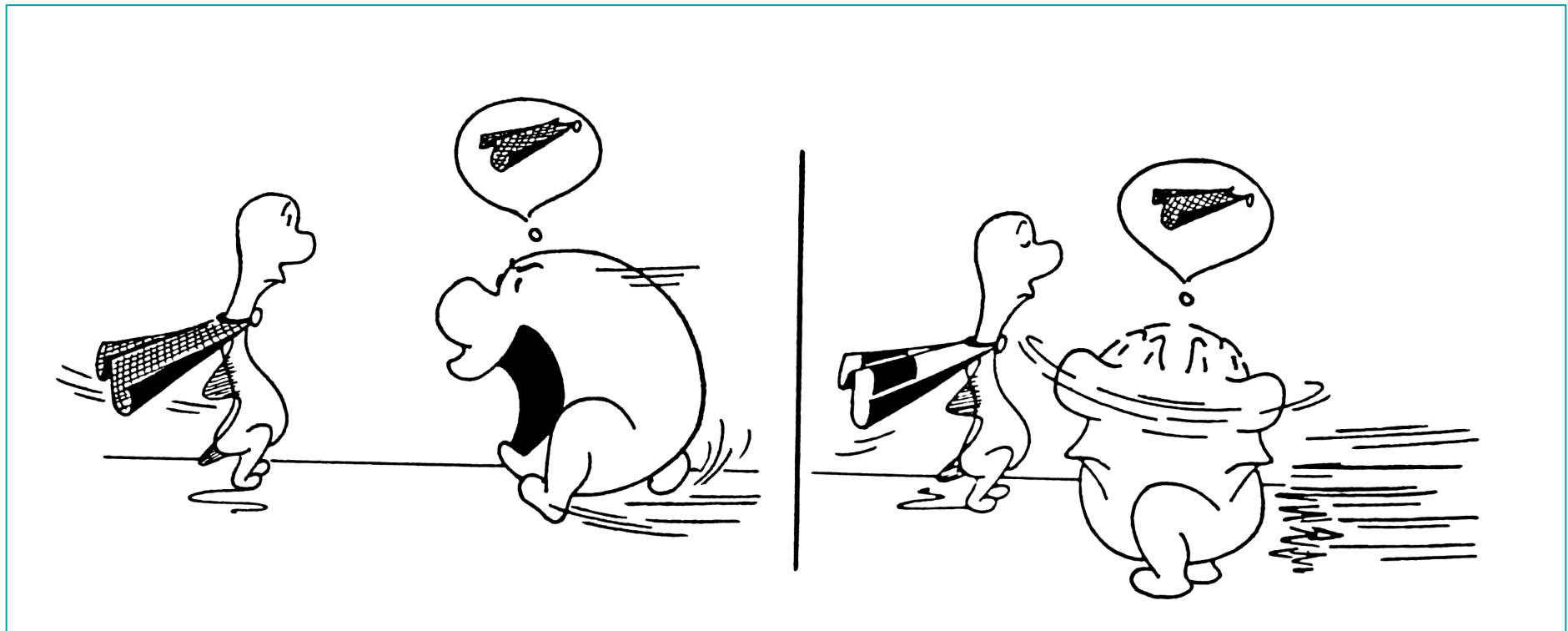
(by P.W. Pappas and S.M. Wardrop)



**Glossina
morsitans**

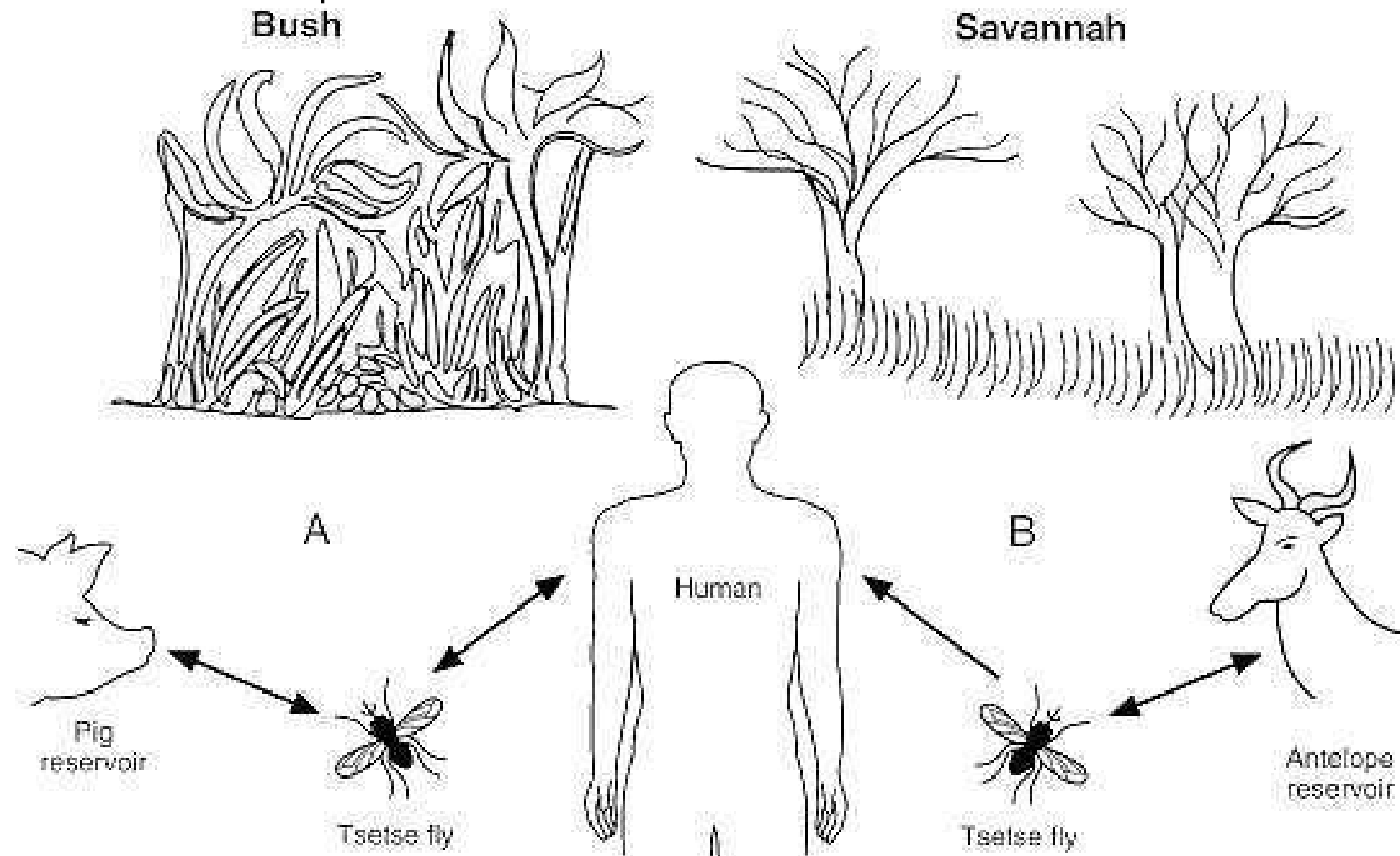


*Trypanosomák
ruhásszekrénye:
Egy jól felszerelt,
változatos ruhatár és
a kifinomult,
választékos
öltözöködési stílus élet-
halál kérdése...*

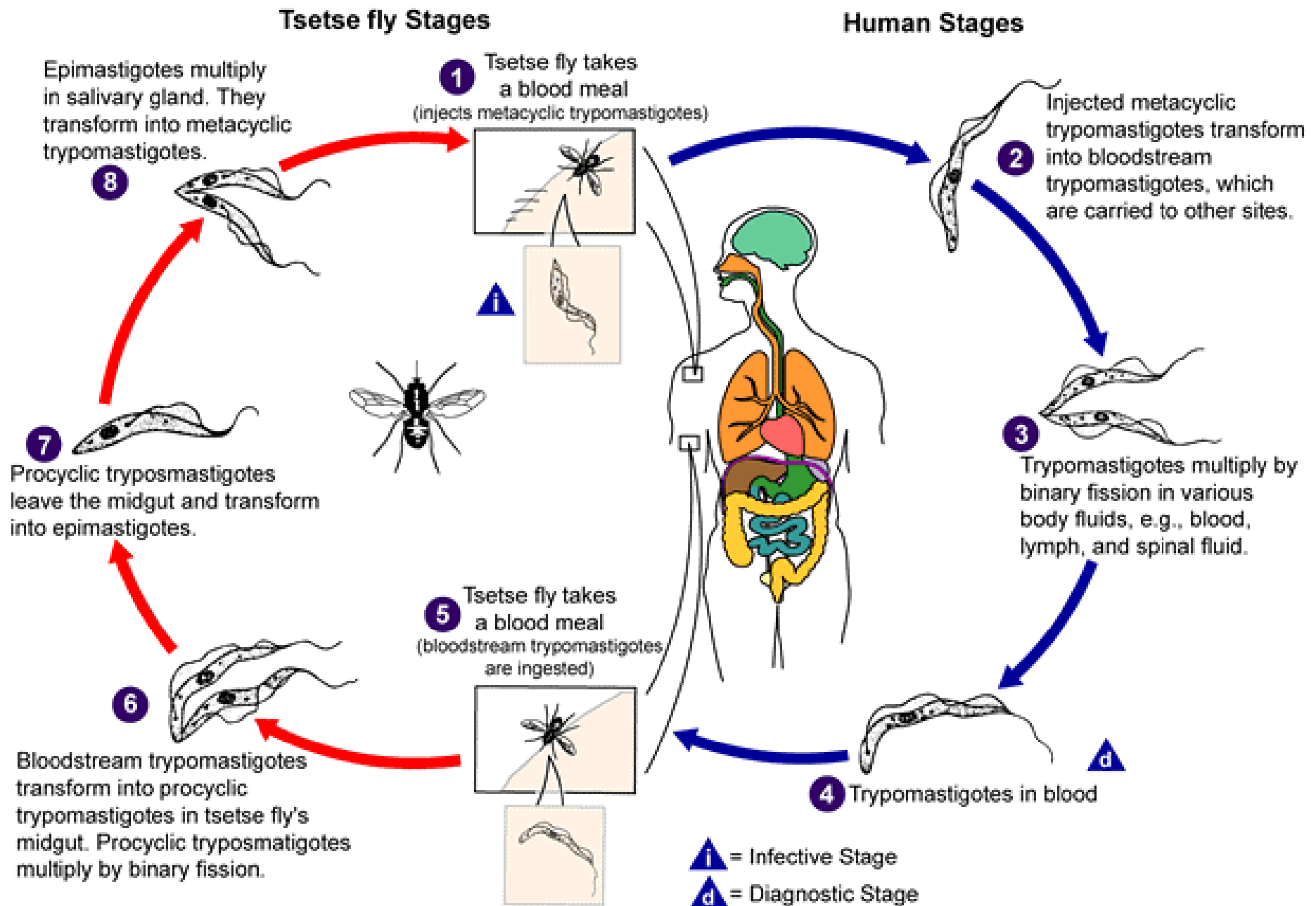


A felismerhetetlenség titka: a gyors és gyakori köpenyváltás...

FIGURE 82-7 Domestic and wild cycles of Gambian and Rhodesian types of African sleeping sickness. (A) in West Africa, riverine tsetse flies (*palpalis* group) living in the bush transmit the Gambian forms to humans (man-fly cycle) and sometimes to domestic animals, particularly pigs. (B) In East Africa, *morsitans* group tsetse flies of the open savannah transmit the Rhodesian form to various mammals, mainly antelopes, and to humans. The Gambian cycle can result in an epidemic.



T. brucei



T. brucei

Kórkép – álomkór

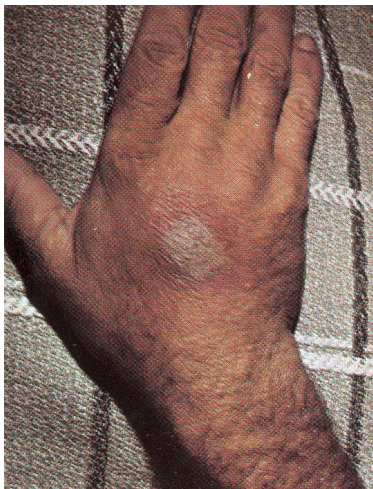
Demyelinizáció, encephalitis – autoimmun (?)

Szakaszai:

Primer chancer – csípés helyén

Lymphadenopathia

Encephalopathia





Trypanosomal chancre on shoulder of patient 1, with lymphangitis toward axilla.

Trypanosomal chancre on throat of patient 2

Primer
chancer



Trypanosomal
chancre in child
(C/O WHO)

Kórkép – álomkór

Demyelinizáció encephalitis – autoimmun (?)

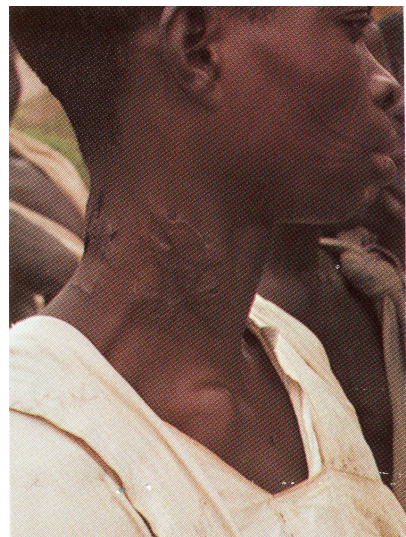
T. brucei

Szakaszai:

Primer chancer

Lymphadenopathia

Encephalopathia



Winterbottom's sign

©CDC 1996

Szakaszai:

Primer chancer

Lymphadenopathia

Encephalopathia

T. brucei



Invázió a központi Idegrendszerbe,
rhodesiense fertőzés esetén:
4-8 hónap

Gambiense fertőzés:

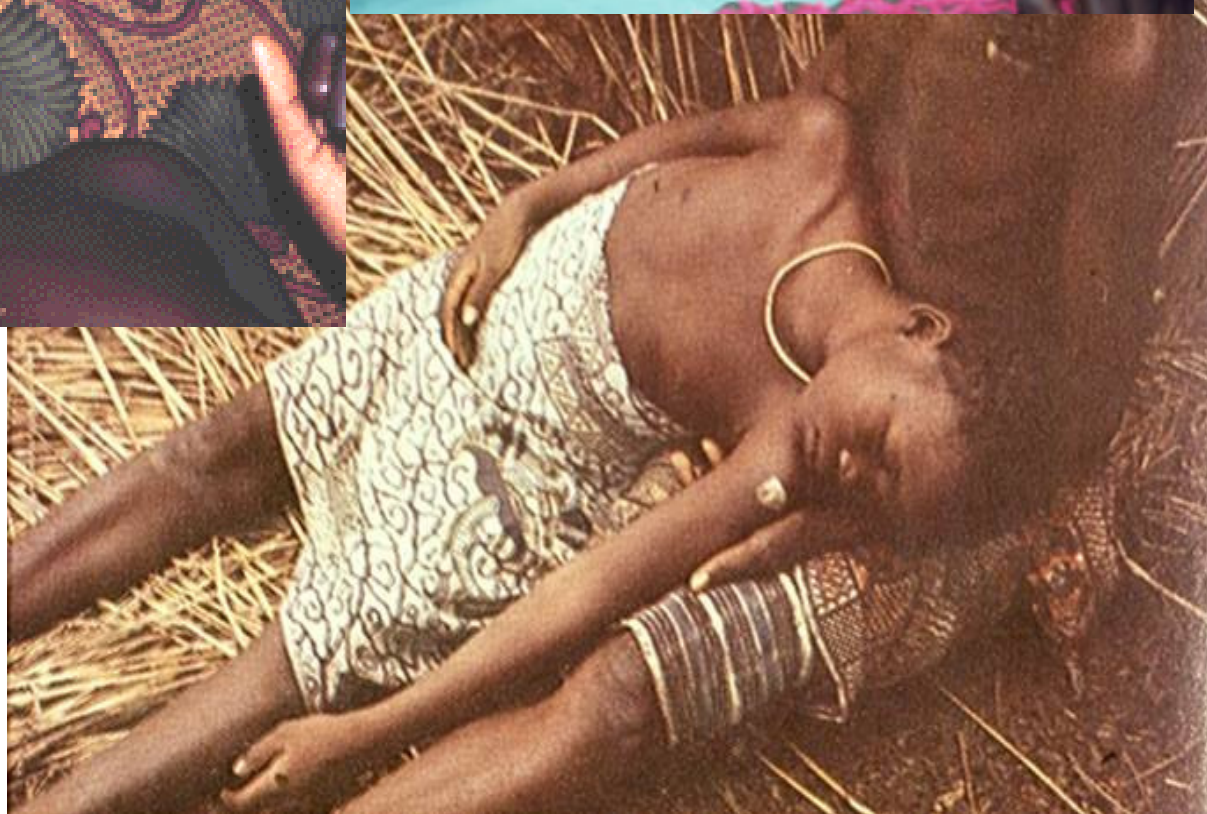
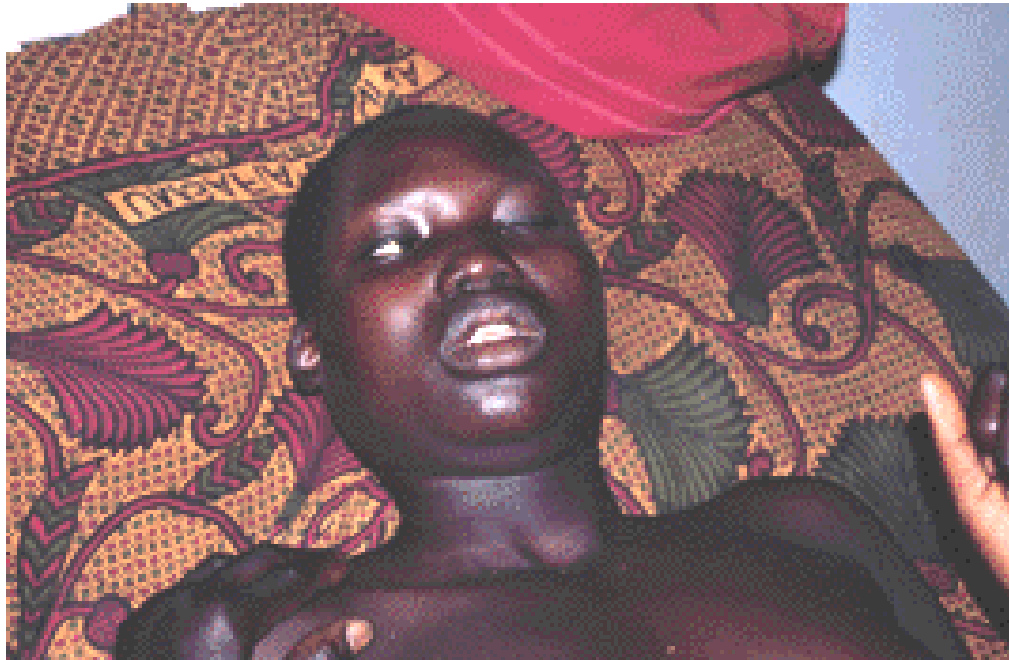
A meningoencephalitis kialakulása évekig is eltarthat

Roche Atlas

Encephalopathia



Encephalopathia



T. brucei

Diagnosis

Direkt kimutatás – mikroszkóp

Vérkenet – Giemsa

liquor

IF



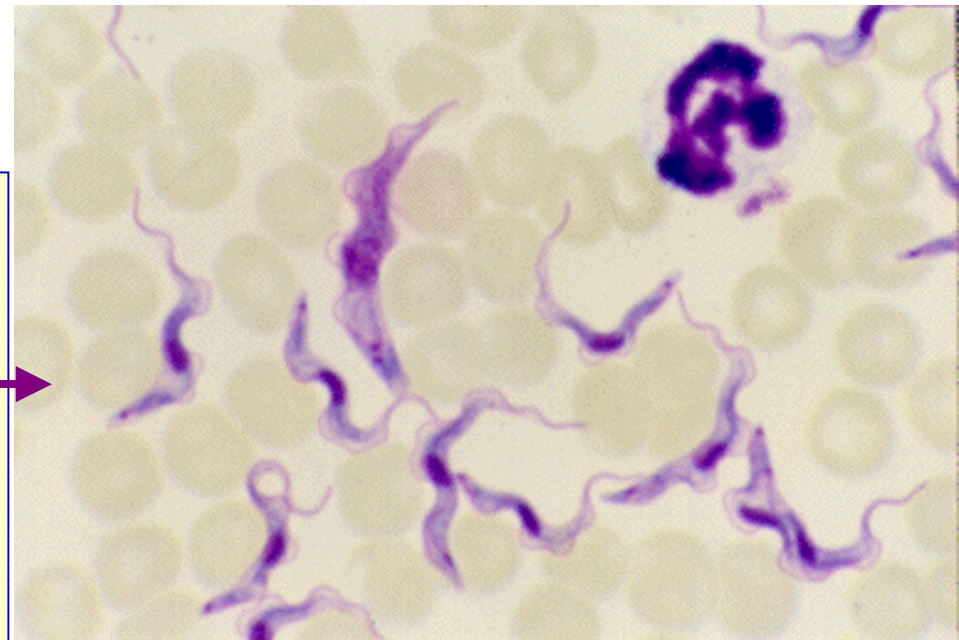
Therapia

Arzén származékok
(suramin, pentamidine)

Preventio

Insecticidek

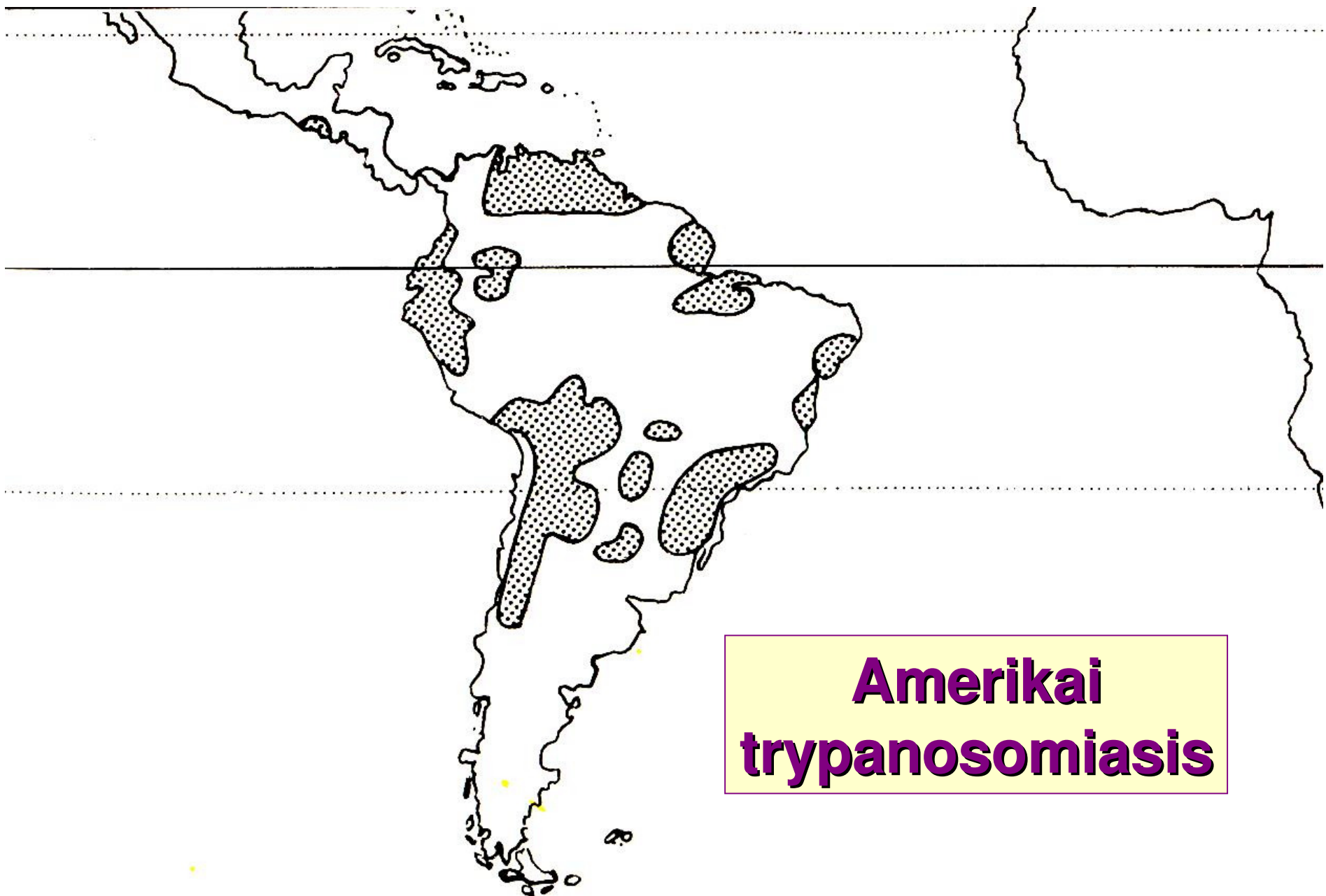
Csapdák



T. brucei fluorescently stained for DNA and tubulin and viewed at 1000x magnification

www.biology.ed.ac.uk/.../images/random/Fig05.jpg

**Trypanosoma
cruzi**



**Amerikai
trypanosomiasis**

Chagas Disease



Chagas Endemic Countries

WHO/CTD, May 1996

T. cruzi

Morphologia

u. olyan

Forrás

zoonosis

(állatok, házi, vad)

Transmissio

Vektor – Triatoma spp.
„rablópoloska” ürüléke

congenitalis
Transfusio!



T. cruzi



www.biosci.ohio-state.edu

Forrás

zoonosis
(állatok, házi, vad)

Transmissio

Vektor – Triatoma spp.
„rablópoloska” ürüléke

congenitalis
Transfusio!



FIGURE 82-3 Life cycle of *T cruzi* in the intestine of a triatomine bug and in the vertebrate host. After entering the bug in infected blood (A) the trypanosomes transform to epimastigotes in the stomach and midgut. B) Epimastigotes attach to the walls of the rectal sac and produce infective metacyclic trypomastigotes, which are eliminated with feces (C) and enter the vertebrate host through breaks in the skin. The parasites transform to amastigotes inside local cells (D), and multiply to release blood typanosomes, which invade other tissues (E & F).

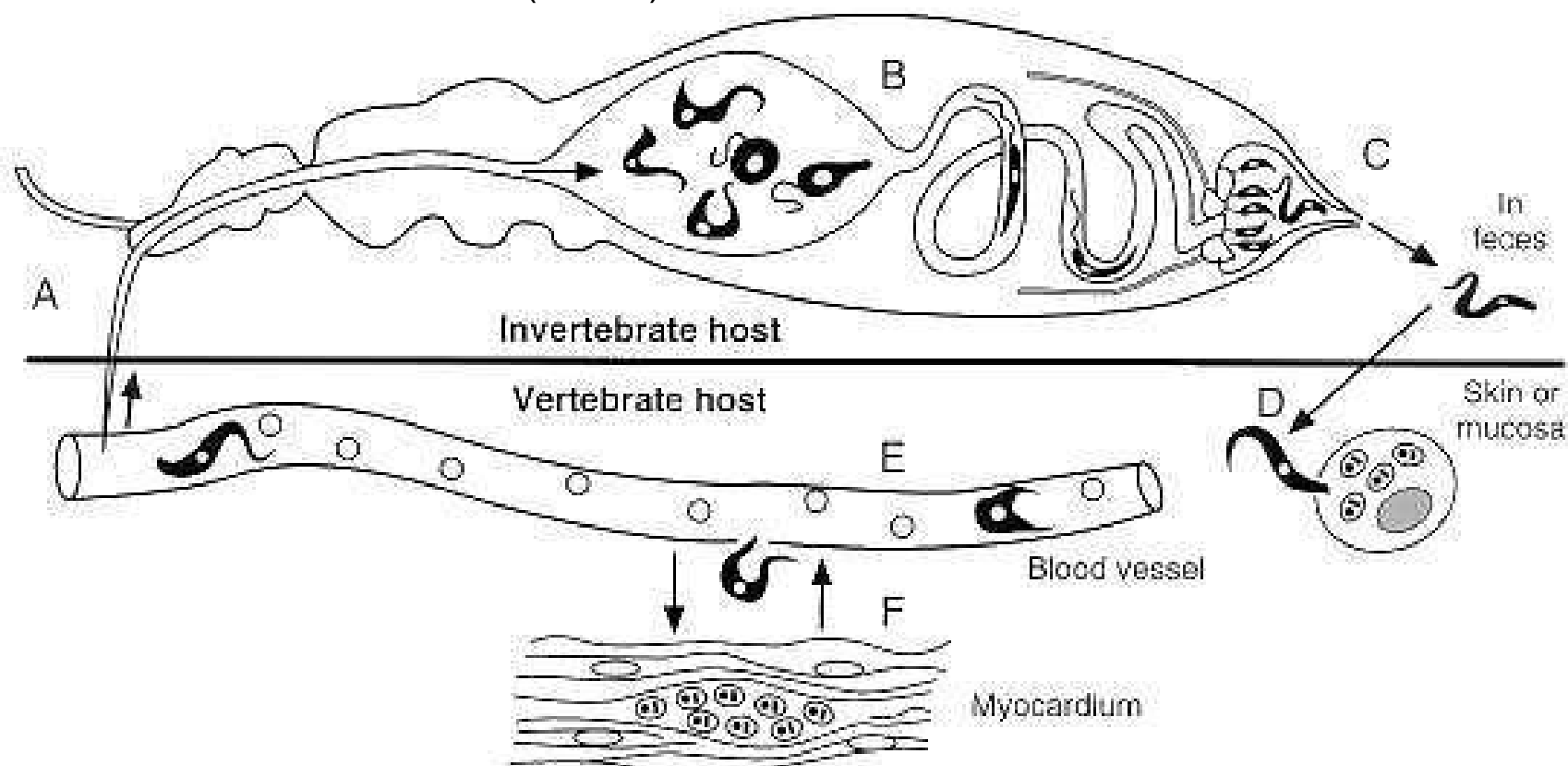
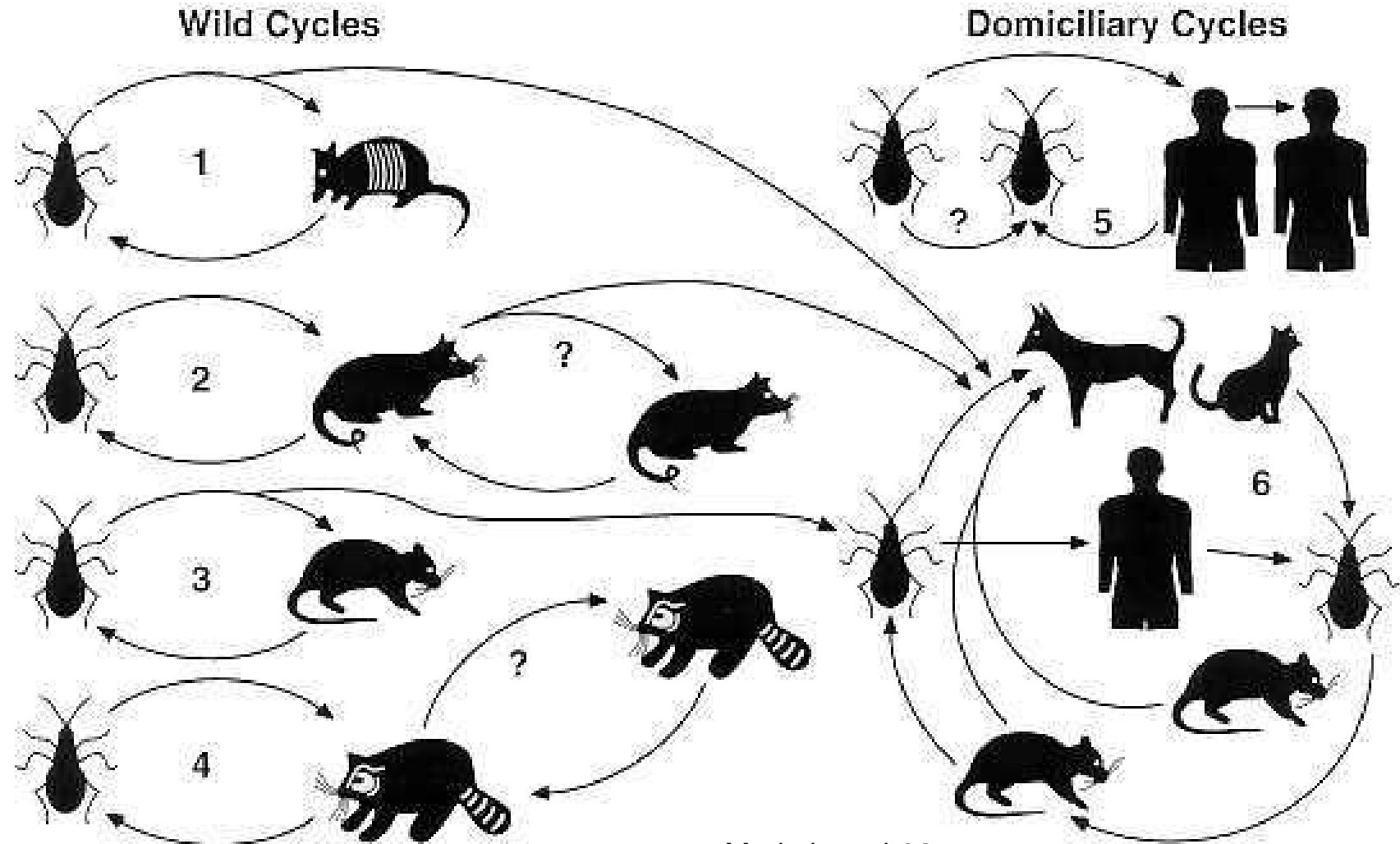


FIGURE 82-6 Wild and domiciliary life cycles of Chagas disease. Some triatomine bugs transmit *T cruzi* to various wild animals (cycles 1-4). Other bugs are adapted to houses and transmit the parasite among humans and domestic animals (cycles 5 and 6).



Medmicro ch82

T. cruzi

Szaporodás

Intracellularis

Belső szervek és szövetek:

szív és símaizom

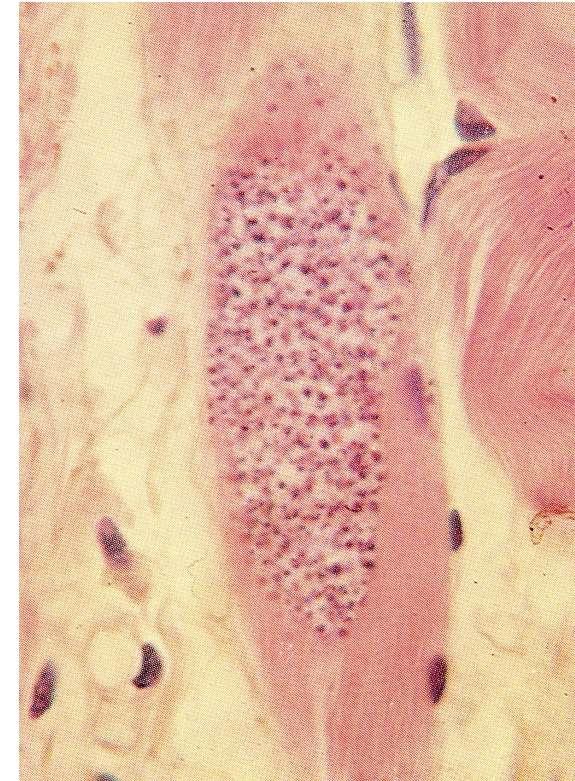
Monocyták, RES

Virulencia faktorok, pathogenesis

Sejtek – adhesio és penetratio

Felszíni glycoproteinek

Szérumfaktorok (gazda!)



Amastigotes in heart muscle.

T. cruzi

Kórképek – Chagas kór

Acut

A behatolási kapuban:

Bőr: „**chagoma**” (kicsi tumor)

Conjunctiva: Romana jel (unilateralis bipalpebralis oedema)

+ nyirokcsomó duzzanat

Subclinicus

Tünetmentes hordozó

Chronicus

hepatosplenomegalia

myocardiopathia

szívelégtelenség

megacolon



T. cruzi

Medmicro ch82

Kórképek – Chagas kór

Acut

Behatolási kapuban:

Bőr: „chagoma” (kicsi tumor)

Conjunctiva: **Romana jel**

+ nyirokcsomó duzzanat

Subclinicus

Tünetmentes hordozók

Chronicus

hepatosplenomegalia

myocardiopathia

szívelégtelenség

megacolon



FIGURE 82-2 Romaña's sign in an acute case of Chagas disease.

Romana jel

www.vif.se



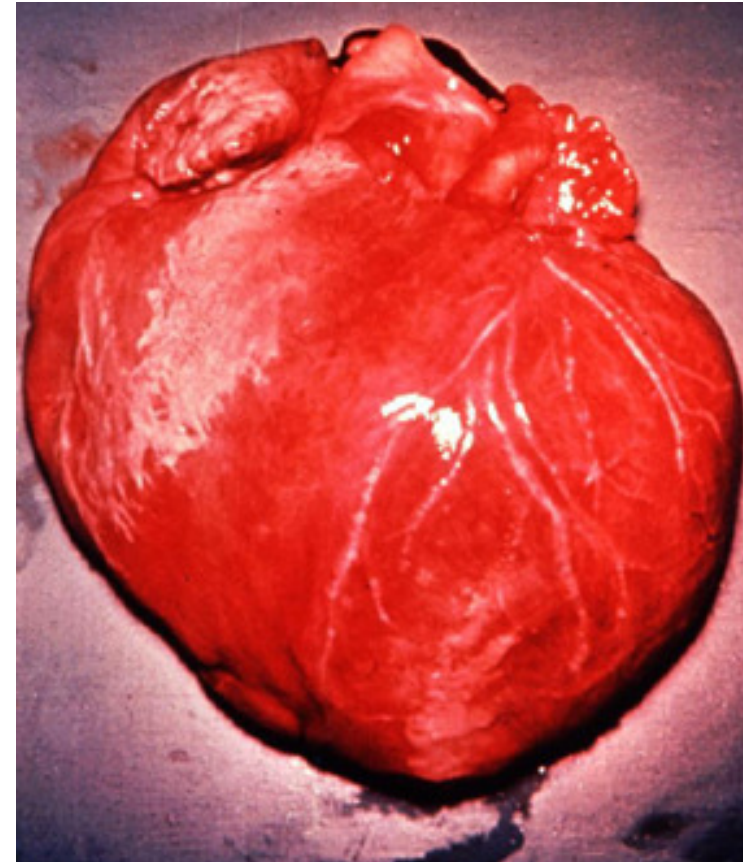
Child with Romana's sign: unilateral conjunctivitis, palpebral and periorbital edema and preauricular lymphadenopathy. AFIP 62-3934-6.

tmcr.usuhs.mil

T. cruzi

Kórképek – Chagas kór

Tünetmentes hordozók
Chronicus
hepatosplenomegalia
myocardiopathia
szívelégtelenség
megacolon



T. cruzi

myocardiopathia
szívelégtelenség

Figure 7: Large ventricular apical aneurysm in chronic Chagas' disease



Figure 8: Cardiomegaly in chronic Chagas' disease

www.health.gov.mt/.../issue5/2839/fig04.jpg

T. cruzi

www.health.gov.mt/.../issue5/2839/fig04.jpg

Kórképek – Chagas kór

Tünetmentes hordozók
Chronicus

hepatosplenomegalia
myocardiopathia
szívelégtelenség

megacolon



T. cruzi

Diagnosis

Direkt kimutatás – mikroszkópos

Vérkenet – Giemsa

Biopszia

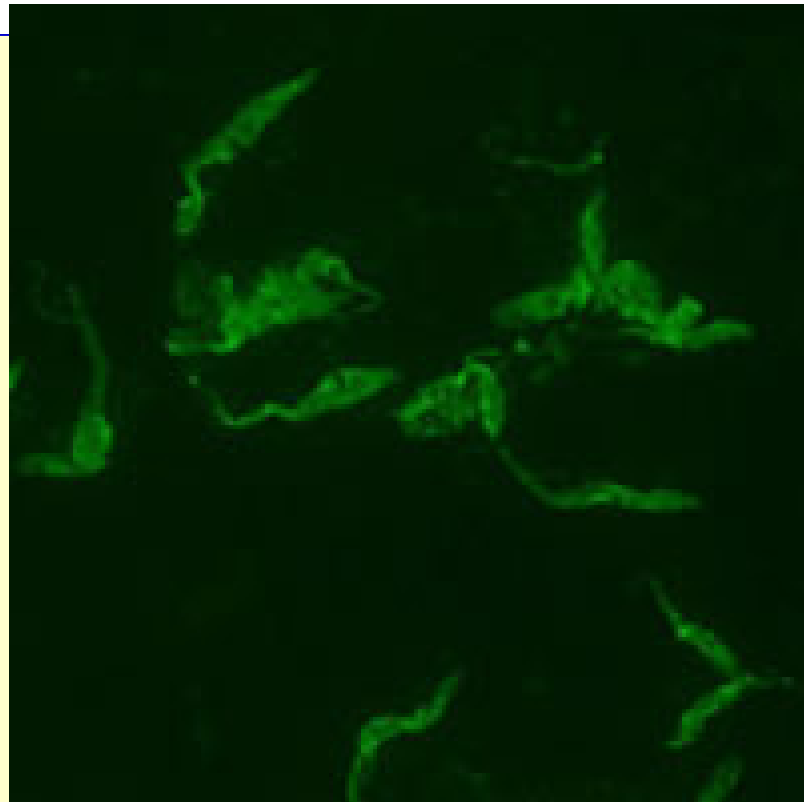
DIF —————→

PCR

szerologia

Xenodiagnosis

(rablópoloskát fertőzni)



Therapia

Nitrofuran származékok(?) – hatékony szer kellene!

Preventio

Insecticidek, csapdák, tájékoztatás

VÉGE



Mauritius, 2006